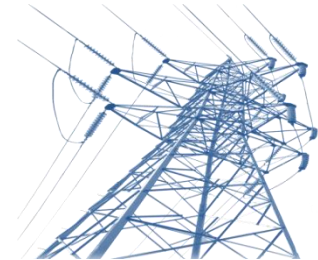


工程电磁场

稻叶先生





2. 静态电磁场 静电场

2.1 基本方程与场的特性

积分方程

全电流定律:
$$\oint_l \mathbf{H} \cdot d\mathbf{l} = \int_s \left(\mathbf{J} + \frac{\partial \mathbf{D}}{\partial t} \right) \cdot d\mathbf{S}$$

电磁感应定律:
$$\oint_l \mathbf{E} \cdot d\mathbf{l} = - \int_s \frac{\partial \mathbf{B}}{\partial t} \cdot d\mathbf{S}$$

磁通连续性:
$$\oint_s \mathbf{B} \cdot d\mathbf{S} = 0$$

高斯定理:
$$\oint_s \mathbf{D} \cdot d\mathbf{S} = \int_v \rho dV$$

微分方程

$$\nabla \times \mathbf{H} = \mathbf{J} + \frac{\partial \mathbf{D}}{\partial t}$$

$$\nabla \times \mathbf{E} = - \frac{\partial \mathbf{B}}{\partial t}$$

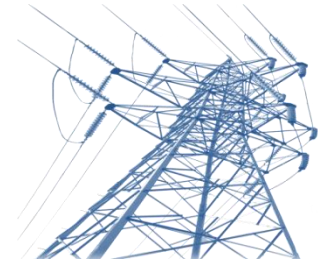
$$\nabla \cdot \mathbf{B} = 0$$

$$\nabla \cdot \mathbf{D} = \rho$$

静态: 与时间无关

电场: 与磁场无关





2. 静态电磁场 静电场

2.1.1 静电场基本方程

由前可知，在静止条件下电场和磁场之间没有相互耦合的关系，可以分别对电场和磁场进行分析和讨论。由于此时电场或磁场的源量与场量都不随时间变化，故统称为静态电磁场，下面我们先看静电场。

积分方程

电磁感应定律：
$$\oint_l \mathbf{E} \cdot d\mathbf{l} = 0 \quad (2-1a)$$

高斯定理：
$$\oint_S \mathbf{D} \cdot d\mathbf{S} = \int_V \rho dV \quad (2-1b)$$

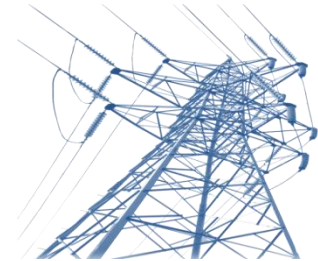
本构关系：
$$\mathbf{D} = \varepsilon \mathbf{E}$$

微分方程

$$\nabla \times \mathbf{E} = 0 \quad (2-2a) \quad \text{无旋}$$

$$\nabla \cdot \mathbf{D} = \rho \quad (2-2b) \quad \text{有散}$$

2. 静态电磁场 静电场



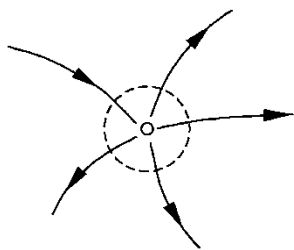
2.1.2 真空中的高斯定理

自由空间：理想的真空状态（无任何介质） $\mathbf{D} = \epsilon_0 \mathbf{E}$

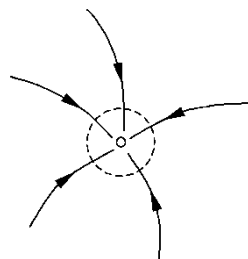
由（2-1b）可得， $\oint_S \mathbf{E} \cdot d\mathbf{S} = \frac{\int_V \rho dV}{\epsilon_0} = \frac{q}{\epsilon_0}$

$$\nabla \cdot \mathbf{E} = \rho / \epsilon_0$$

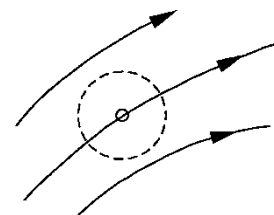
散度与场源：



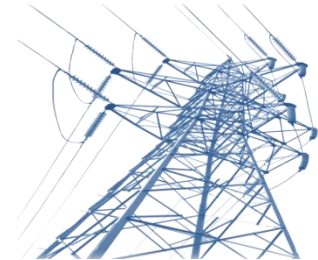
$$\nabla \cdot \mathbf{E} > 0, \quad \rho > 0$$



$$\nabla \cdot \mathbf{E} < 0, \quad \rho < 0$$



$$\nabla \cdot \mathbf{E} = 0, \quad \rho = 0$$



2. 静态电磁场 静电场

2.1.2 真空中的高斯定理

例2-1 已知真空中半径为 a 的球形区域内分布有呈球对称形态的电荷，在空间中产生的电场：

$$\mathbf{E}(\mathbf{r}) = \begin{cases} \frac{1}{2\varepsilon_0} \mathbf{e}_r & (0 \leq r \leq a) \\ \frac{a^2}{2\varepsilon_0 r^2} \mathbf{e}_r & (r > a) \end{cases}$$

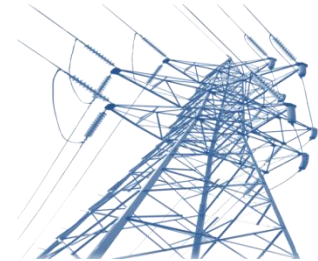
试求空间电荷分布。

解：由真空中的高斯定理， $\rho = \varepsilon_0 \nabla \cdot \mathbf{E}(\mathbf{r})$

在球坐标系下：
$$\nabla \cdot \mathbf{A} = \frac{1}{r^2} \frac{\partial}{\partial r} (r^2 A_r) + \frac{1}{r \sin \theta} \frac{\partial}{\partial \theta} (A_\theta \sin \theta) + \frac{1}{r \sin \theta} \frac{\partial A_\phi}{\partial \phi}$$

$$\nabla \cdot \mathbf{E}(\mathbf{r}) = \frac{1}{r^2} \frac{\partial}{\partial r} \left(r^2 \frac{1}{2\varepsilon_0} \right) = \frac{1}{r^2} \frac{1}{2\varepsilon_0} 2r \Rightarrow \rho = \varepsilon_0 \nabla \cdot \mathbf{E}(\mathbf{r}) = \frac{1}{r} \quad (0 \leq r \leq a)$$

2. 静态电磁场 静电场



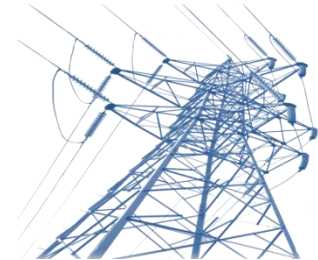
2.1.2 真空中的高斯定理

同理，可求 $\rho = \varepsilon_0 \nabla \cdot \mathbf{E}(\mathbf{r}) = 0 \quad (r > a)$

➡
$$\rho = \begin{cases} \frac{1}{r} & (0 \leq r \leq a) \\ 0 & (r > a) \end{cases}$$



2. 静态电磁场 静电场



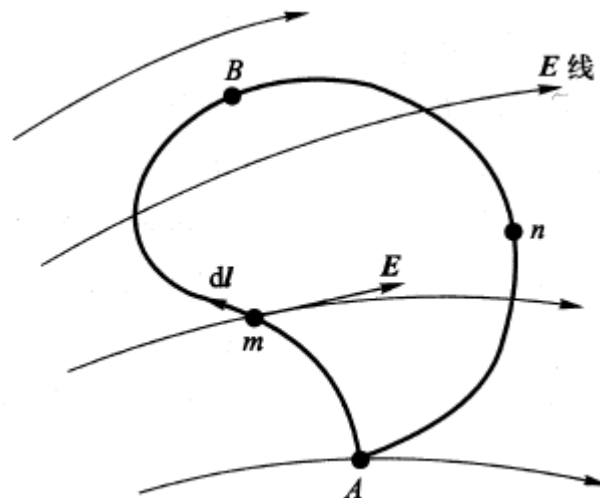
2.1.3 静电场的无旋性

由2-1(a)可知,

$$\oint_{AmBnA} \mathbf{E} \cdot d\mathbf{l} = 0$$

➡
$$\int_{AmB} \mathbf{E} \cdot d\mathbf{l} + \int_{BnA} \mathbf{E} \cdot d\mathbf{l} = 0$$

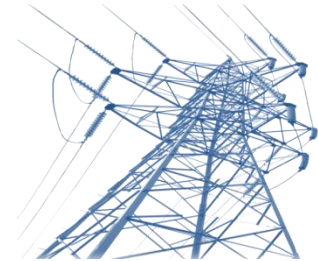
即
$$\int_{AmB} \mathbf{E} \cdot d\mathbf{l} = - \int_{BnA} \mathbf{E} \cdot d\mathbf{l} = \int_{AnB} \mathbf{E} \cdot d\mathbf{l}$$



➡ 静电场中电场强度E的线积分与路径无关，只与起点和终点的位置有关。

$$W = \int_{AmB} \mathbf{E} q \cdot d\mathbf{l} = q \int_{AmB} \mathbf{E} \cdot d\mathbf{l} = q \int_{AnB} \mathbf{E} \cdot d\mathbf{l}$$

➡ 电场力作功与路径无关，只取决于起点与终点的位置，将这样的场称之为保守场（位场）。



2. 静态电磁场 静电场

2.2 自由空间中的电场

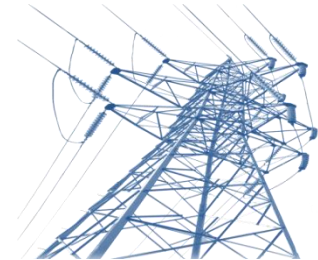
2.2.1 电场强度 \mathbf{E} 和电位 φ

赫姆霍兹定理： $\mathbf{F}(\mathbf{r}) = -\nabla\varphi(\mathbf{r}) + \nabla \times \mathbf{A}(\mathbf{r})$

$$\varphi(\mathbf{r}) = \frac{1}{4\pi} \int_{V'} \frac{\nabla' \cdot \mathbf{F}(\mathbf{r}')}{|\mathbf{r} - \mathbf{r}'|} dV'$$

$$\mathbf{A}(\mathbf{r}) = \frac{1}{4\pi} \int_{V'} \frac{\nabla' \times \mathbf{F}(\mathbf{r}')}{|\mathbf{r} - \mathbf{r}'|} dV'$$





2. 静态电磁场 静电场

2.2 自由空间中的电场

2.2.1 电场强度 \mathbf{E} 和电位 φ

赫姆霍兹定理：
$$\mathbf{E}(\mathbf{r}) = -\nabla\varphi(\mathbf{r}) + \nabla \times \mathbf{A}(\mathbf{r}) \quad (2-3)$$

$$\varphi(\mathbf{r}) = \frac{1}{4\pi} \int_{V'} \frac{\nabla' \cdot \mathbf{E}(\mathbf{r}')}{|\mathbf{r} - \mathbf{r}'|} dV' \quad (2-4)$$

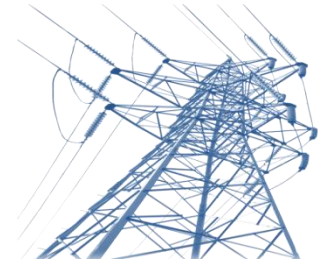
$$\mathbf{A}(\mathbf{r}) = \frac{1}{4\pi} \int_{V'} \frac{\nabla' \times \mathbf{E}(\mathbf{r}')}{|\mathbf{r} - \mathbf{r}'|} dV' \quad (2-5)$$

由真空中高斯定理和无旋性：
$$\nabla \cdot \mathbf{E} = \rho / \varepsilon_0 \quad \nabla \times \mathbf{E} = 0$$

标量电位：
$$\varphi(\mathbf{r}) = \frac{1}{4\pi\varepsilon_0} \int_{V'} \frac{\rho(\mathbf{r}')}{|\mathbf{r} - \mathbf{r}'|} dV' \quad (2-6)$$

$$\mathbf{E}(\mathbf{r}) = -\nabla\varphi(\mathbf{r}) \quad (2-7)$$





2. 静态电磁场 静电场

2.2.1 电场强度 \mathbf{E} 和电位 φ

2-7式的意义: $\left\{ \begin{array}{l} \text{找到可用于描述静电场的标量位函数} \\ \text{便于求解电场: } \rho \rightarrow \varphi \rightarrow \mathbf{E} \end{array} \right.$

问题: $\mathbf{E} \rightarrow \varphi$?

思考: 要确定空间中任一点的电位, 需要前提条件?

(1) 零电位参考点?

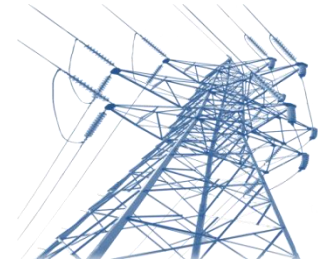
(2) 电位差 (待求点与参考点之间)

设电场 \mathbf{E} 中有一个点电荷, 由 P 点到 Q 点, 电场力做功为

$$\begin{aligned} W &= \int_P^Q \mathbf{E} q \cdot d\mathbf{l} = q \int_P^Q \mathbf{E} \cdot d\mathbf{l} = q \int_P^Q (-\nabla \varphi \cdot \mathbf{e}_l) dl = -q \int_P^Q (\mathbf{G} \cdot \mathbf{e}_l) dl \\ &= -q \int_P^Q \frac{\partial \varphi}{\partial l} dl = q(\varphi_P - \varphi_Q) \end{aligned}$$



2. 静态电磁场 静电场



2.2.1 电场强度 E 和电位 φ

电位差: $U_{PQ} = \frac{W}{q} = \varphi_P - \varphi_Q = \int_P^Q \mathbf{E} \cdot d\mathbf{l}$

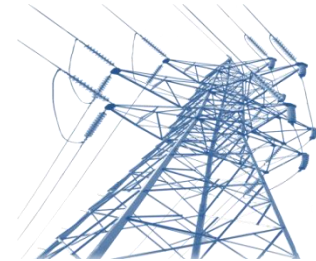
电位参考点: 计算及工程中, 常常取无穷远处 (或大地) 作为电位参考点, 则

$$\varphi_P - \varphi_Q = \varphi_P - \varphi_\infty = \varphi_P = \underline{\int_P^\infty \mathbf{E} \cdot d\mathbf{l}} \quad (2-8)$$

总结:

- (1) 电位 (差) 如何求?
- (2) \mathbf{E} 的线积分与路径无关。

2. 静态电磁场 静电场



2.2.2 场的分布：基于 E 的分析

电荷的四种分布形态：点(q)、线(τ)、面(σ)、体(ρ)

点电荷：

显然，自由空间中点电荷产生的场具有球对称性，在距离 q 所在点距离为 r 处作球面 S ，利用高斯定理

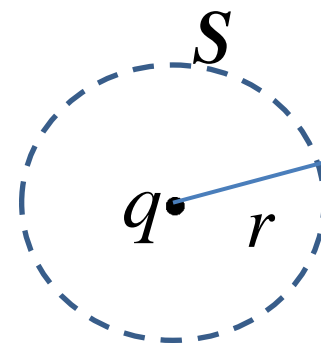
$$\oint_S \mathbf{E} \cdot d\mathbf{S} = \frac{\int_V \rho dV}{\epsilon_0} = \frac{q}{\epsilon_0}$$

分析：(1) 电场强度方向沿径向： $\mathbf{E} = E_r \mathbf{e}_r$

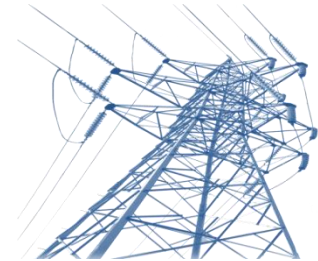
(2) 球面上任意点处的电场强度大小 E_r 相等。

$$\Rightarrow \oint_S \mathbf{E} \cdot d\mathbf{S} = \oint_S E_r \mathbf{e}_r \cdot d\mathbf{S} \mathbf{e}_r = \frac{q}{\epsilon_0}$$

$$\Rightarrow \oint_S E_r dS = E_r \oint_S dS = q / \epsilon_0$$



2. 静态电磁场 静电场



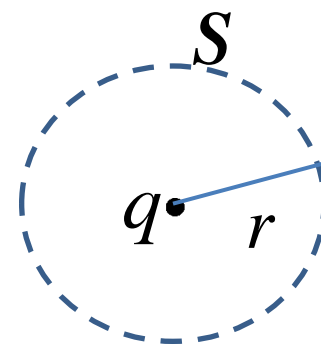
2.2.2 场的分布：基于 E 的分析

$$\Rightarrow E_r 4\pi r^2 = q / \varepsilon_0 \quad \Rightarrow \mathbf{E} = E_r \mathbf{e}_r = \frac{q}{4\pi\varepsilon_0 r^2} \mathbf{e}_r \quad (2-9)$$

思考：空间中任意一点的电位？

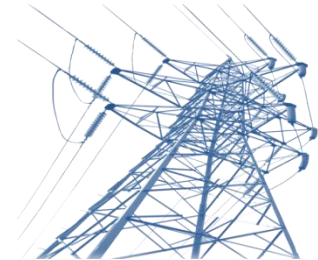
$$\begin{aligned} \varphi_P &= \int_P^\infty \mathbf{E} \cdot d\mathbf{l} = \int_r^\infty (E_r \mathbf{e}_r) \cdot (dr \mathbf{e}_r) \\ &= \int_r^\infty \frac{q}{4\pi\varepsilon_0 r^2} dr = \frac{q}{4\pi\varepsilon_0 r} \end{aligned} \quad (2-10)$$

- 规律：**
- (1) \mathbf{E} 的大小与源点和场点距离的平方成反比；
 - (2) \mathbf{E} 的方向：由源点指向场点；
 - (3) 电位 φ 的大小与距离成反比；



一般的，点电荷不在坐标原点，其所在点对应的距离矢量为 \mathbf{r}' ，场点 P 处：

2. 静态电磁场 静电场



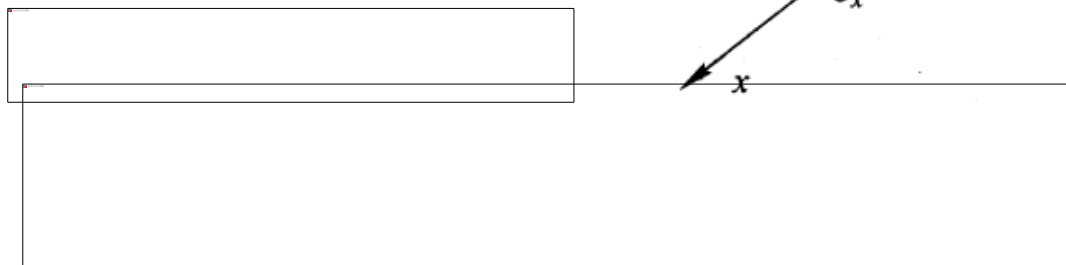
2.2.2 场的分布：基于 E 的分析

$$\mathbf{E}(\mathbf{r}) = \frac{q}{4\pi\epsilon_0 R^2} \mathbf{e}_R = \frac{q}{4\pi\epsilon_0 |\mathbf{r} - \mathbf{r}'|^2} \frac{\mathbf{r} - \mathbf{r}'}{|\mathbf{r} - \mathbf{r}'|} \quad (2-9a)$$

$$\varphi = \frac{q}{4\pi\epsilon_0 R} = \frac{q}{4\pi\epsilon_0 |\mathbf{r} - \mathbf{r}'|} \quad (2-10a)$$

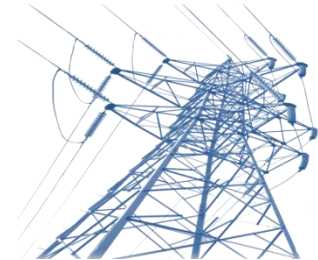
思考：如果空间中有多点电荷 q_1 、 q_2 、... q_n ？

叠加定理：



$$\varphi(\mathbf{r}) = \frac{1}{4\pi\epsilon_0} \sum_{k=1}^n \frac{q_k}{R_k} = \frac{1}{4\pi\epsilon_0} \sum_{k=1}^n \frac{q_k}{|\mathbf{r}_k - \mathbf{r}'_k|}$$

2. 静态电磁场 静电场



2.2.2 场的分布：基于 E 的分析

电荷连续分布：

分析：将源区分为无数个体积元，每个体积元中所含电荷量为，

$$dq = \rho(\mathbf{r}') dV' \quad \Rightarrow \quad \text{可视为一点电荷}$$

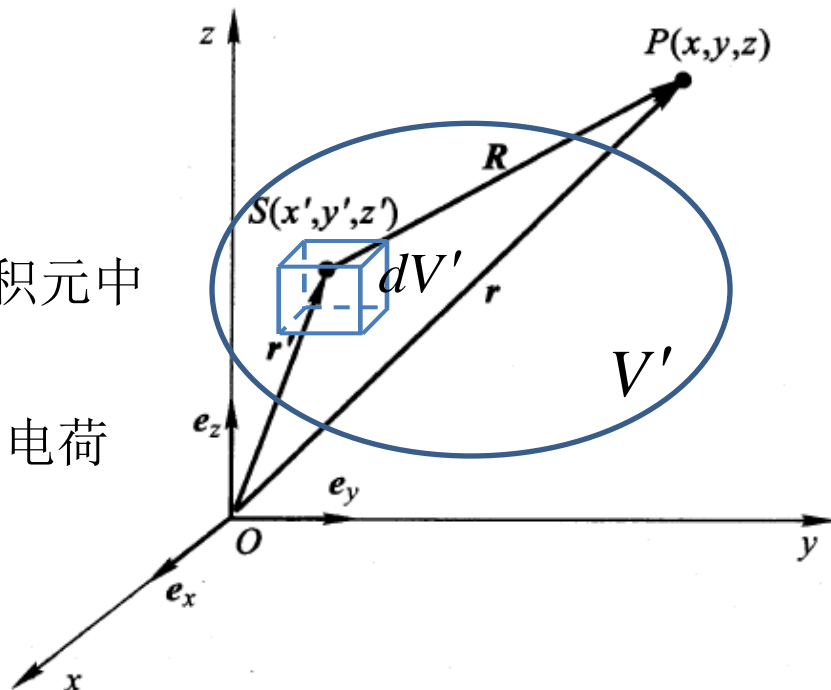
$$d\mathbf{E} = \frac{dq}{4\pi\epsilon_0 R^2} \mathbf{e}_R = \frac{\rho(\mathbf{r}')}{4\pi\epsilon_0 R^2} dV' \mathbf{e}_R$$

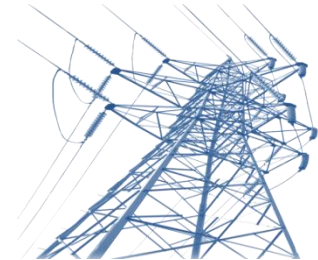
对于整个源区，在P点处场强的贡献，

$$\mathbf{E} = \frac{1}{4\pi\epsilon_0} \int_{V'} \frac{\rho(\mathbf{r}')}{|\mathbf{r} - \mathbf{r}'|^2} \mathbf{e}_R dV' = \frac{1}{4\pi\epsilon_0} \int_{V'} \frac{\rho(\mathbf{r}')}{|\mathbf{r} - \mathbf{r}'|^2} \frac{\mathbf{r} - \mathbf{r}'}{|\mathbf{r} - \mathbf{r}'|} dV'$$



$$\varphi = \frac{1}{4\pi\epsilon_0} \int_{V'} \frac{\rho(\mathbf{r}')}{R} dV'$$





2. 静态电磁场 静电场

2.2.3 场的分布：基于 φ 的分析

$$\varphi(\mathbf{r}) = \frac{1}{4\pi\epsilon_0} \int_{V'} \frac{\rho(\mathbf{r}')}{R} dV'$$

$$\varphi(\mathbf{r}) = \frac{1}{4\pi\epsilon_0} \int_{S'} \frac{\sigma(\mathbf{r}')}{R} dS'$$

$$\varphi(\mathbf{r}) = \frac{1}{4\pi\epsilon_0} \int_{l'} \frac{\tau(\mathbf{r}')}{R} dl'$$

$$\mathbf{E} = \frac{1}{4\pi\epsilon_0} \int_{V'} \frac{\rho(\mathbf{r}')}{R^2} \mathbf{e}_R dV'$$

$$\mathbf{E} = \frac{1}{4\pi\epsilon_0} \int_{S'} \frac{\sigma(\mathbf{r}')}{R^2} \mathbf{e}_R dS'$$

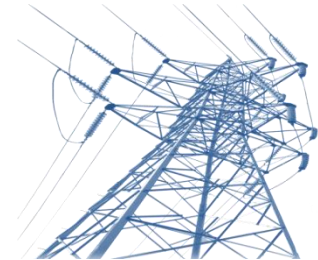
$$\mathbf{E} = \frac{1}{4\pi\epsilon_0} \int_{l'} \frac{\tau(\mathbf{r}')}{R^2} \mathbf{e}_R dl'$$

总结： 自由空间中电场求解：

(1) 从表征电场的物理量来看，可求 \mathbf{E} 或者 φ ；

(2) 具体方法： { 基于高斯定理，利用对称性；
利用积分（已知电荷分布）求电场 \mathbf{E} 或者 φ ；

2. 静态电磁场 静电场



例2-3 真空中长为 l 的线段上分布有密度为 τ 的电荷，求其中垂面上任一点 P 处的 E 。

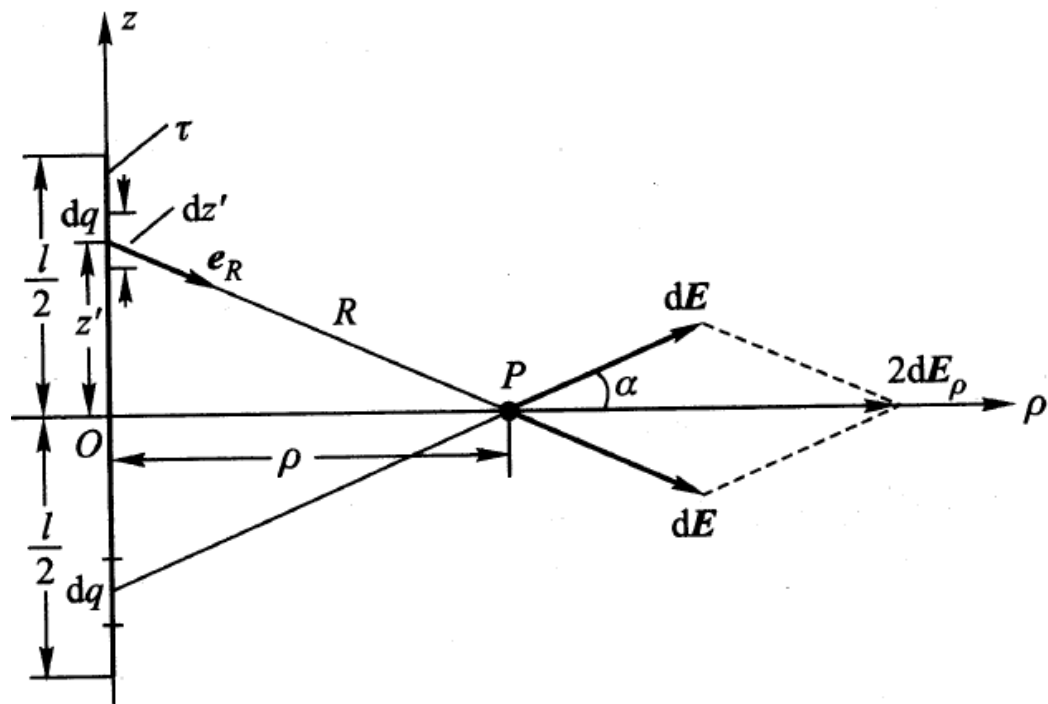
解：

a. 根据场的圆柱对称性建立柱坐标系，

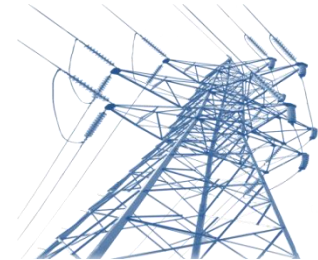
b. 思路：先取线元，求线元所对应的元电荷在 P 点处的场，再积分求解。

P 点处的 dE ：{ 方向： e_ρ
大小： $2dE \cos \alpha$

$$dE_\rho = dE \cos \alpha = \frac{1}{4\pi\epsilon_0} \frac{\tau dz'}{R^2} \cos \alpha = \frac{1}{4\pi\epsilon_0} \frac{\tau \rho dz'}{(\rho^2 + z'^2)^{\frac{3}{2}}}$$



2. 静态电磁场 静电场



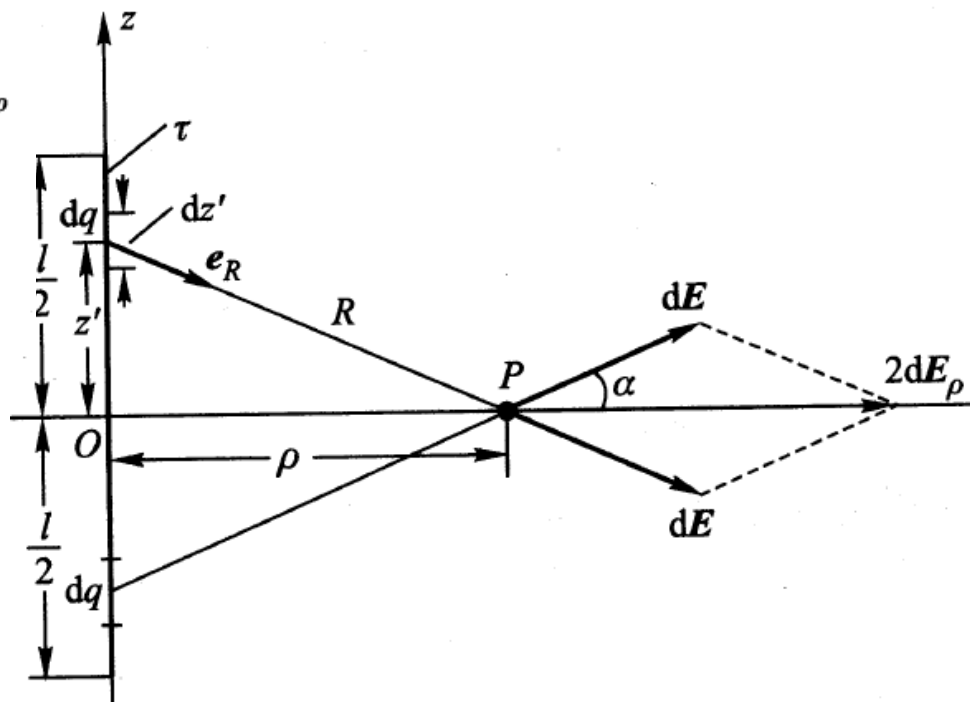
$$\text{从而, } E_P(\rho, 0, 0) = \int_{-\frac{l}{2}}^{\frac{l}{2}} dE_\rho = 2 \cdot \frac{\tau}{4\pi\epsilon_0} \int_0^{\frac{l}{2}} \frac{\rho dz'}{(\rho^2 + z'^2)^{\frac{3}{2}}}$$

利用变量代换 $z' = \rho \tan \alpha$, $dz' = \rho \sec^2 \alpha d\alpha$, 代入上式, 最终解得

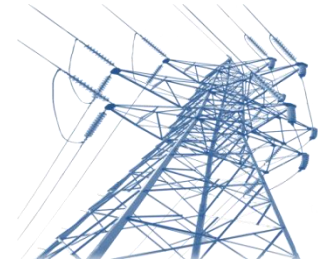
$$\begin{aligned} E_P(\rho, 0, 0) &= 2 \cdot \frac{\tau}{4\pi\epsilon_0\rho} \int_0^{\alpha_0} \cos \alpha d\alpha e_\rho \\ &= \frac{\tau}{2\pi\epsilon_0\rho} \sin \alpha_0 e_\rho \end{aligned}$$

$$\text{式中, } \alpha_0 = \arctan\left(\frac{l}{2\rho}\right)$$

$$\text{讨论: } \begin{cases} l/2 \ll \rho \\ l/2 \gg \rho \end{cases}$$



2. 静态电磁场 静电场



$$\text{当 } l/2 \ll \rho \Rightarrow \alpha_0 \rightarrow 0 \Rightarrow \sin \alpha_0 \sim \alpha_0 \sim \tan \alpha_0 = \frac{l}{2\rho}$$

$$\text{则有, } E = \frac{\tau l}{4\pi\epsilon_0 \rho^2} e_\rho$$

$$\text{当 } l/2 \gg \rho \Rightarrow \alpha_0 \rightarrow \pi/2 \Rightarrow \sin \alpha_0 = 1$$

$$\text{则有, } E = \frac{\tau}{2\pi\epsilon_0 \rho} e_\rho \quad \leftarrow \text{电轴的电场强度}$$

思考题2-1:

内外径分别为 r_1 和 r_2 的球壳，均匀带电荷量为 Q ，求空间中的 E 和 φ

（提示：基于对称性，先采用高斯定理求电场强度，在求电位）

2. 静态电磁场 静电场

例2-6 试求电偶极子的远区场。 $d \ll r$

解：

电偶极子： $+q$ 、 $-q$ ， d

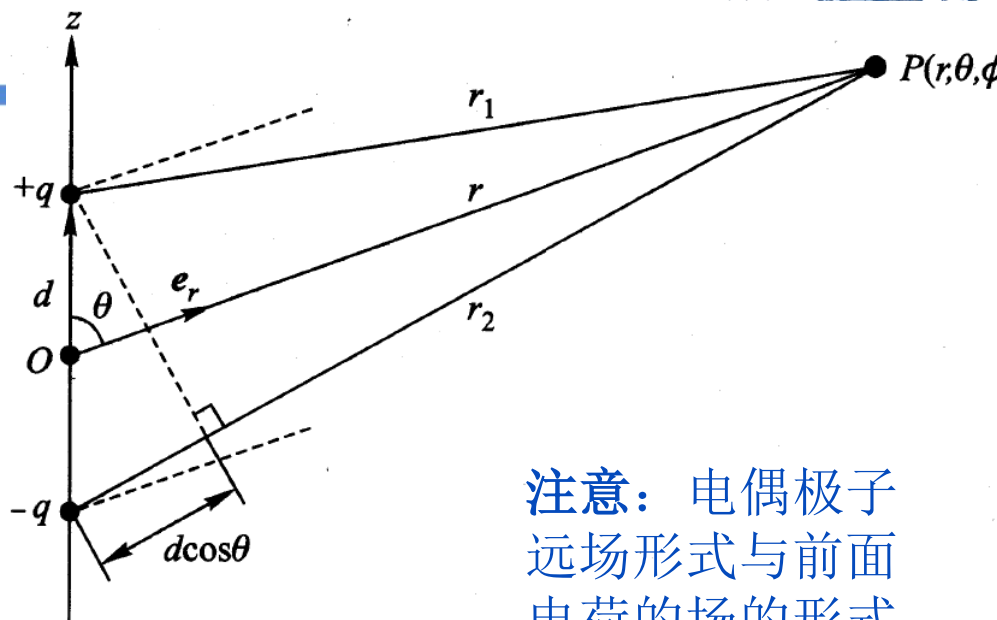
电偶极矩： $\mathbf{p} = q\mathbf{d}$

思路：基于叠加定理，先求电位，再求电场强度。

$$\varphi = \varphi_q + \varphi_{-q} = \frac{q}{4\pi\epsilon_0 r_1} + \frac{-q}{4\pi\epsilon_0 r_2} = \frac{q}{4\pi\epsilon_0} \frac{r_2 - r_1}{r_1 r_2}$$

由于 $d \ll r \Rightarrow r_1, r_2$ 和 r 近似平行 $\Rightarrow r_2 - r_1 \approx d \cos \theta \quad r_2 r_1 \approx r^2$

$$\text{代入上式中, } \varphi = \frac{qd \cos \theta}{4\pi\epsilon_0 r^2} = \frac{1}{4\pi\epsilon_0} \frac{\mathbf{p} \cdot \mathbf{e}_r}{r^2} \Rightarrow \mathbf{E} = -\nabla \varphi = \frac{p}{4\pi\epsilon_0 r^3} (2 \cos \theta \mathbf{e}_r + \sin \theta \mathbf{e}_\theta)$$



注意：电偶极子远场形式与前面电荷的场的形式有何不同？

2. 静态电磁场 静电场



2.2.4 电场线与等位面

电场线（ E 线）： E 线上任一点的切线方向应与该点的电场强度方向一致。

$$\mathbf{E} \times d\mathbf{l} = 0$$

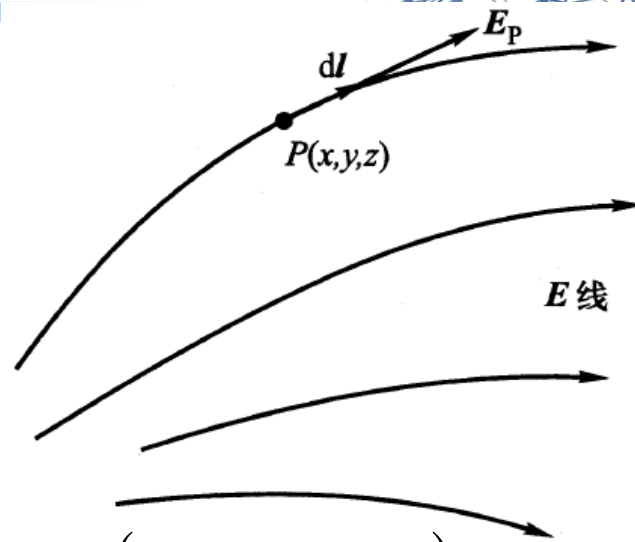
$$\begin{aligned} \Rightarrow (\mathbf{E}_x \mathbf{e}_x + \mathbf{E}_y \mathbf{e}_y + \mathbf{E}_z \mathbf{e}_z) \times (dx \mathbf{e}_x + dy \mathbf{e}_y + dz \mathbf{e}_z) \\ = (E_y dz - E_z dy) \mathbf{e}_x + (E_z dx - E_x dz) \mathbf{e}_y + (E_x dy - E_y dx) \mathbf{e}_z = 0 \end{aligned}$$

$$\Rightarrow \frac{dx}{E_x} = \frac{dy}{E_y} = \frac{dz}{E_z}$$

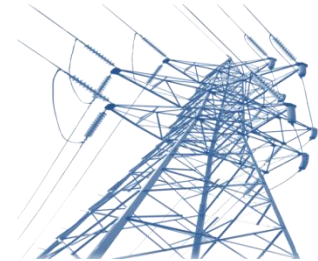
满足以上方程的解的集合即为电场线对应的曲线

描绘 E 线的函数关系式，通常可一般性地记为： $\psi(x, y, z) = C$

场强大小：可以用该点处的电力线疏密程度表征



2. 静态电磁场 静电场



例：无限长带电导线（电轴），电荷线为 $\tau=2\pi\epsilon_0$ ，空间中电场强度如下，求电场线对应的曲线形式。

$$\mathbf{E} = \frac{\tau}{2\pi\epsilon_0\rho} \mathbf{e}_\rho = \frac{1}{\rho} \mathbf{e}_\rho$$

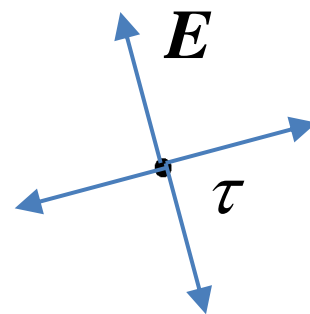
解： 在直角坐标系下，

$$\mathbf{E} = E_x \mathbf{e}_x + E_y \mathbf{e}_y$$

$$E_x = \mathbf{E} \cdot \mathbf{e}_x = \frac{1}{\rho} \mathbf{e}_\rho \cdot \mathbf{e}_x = \frac{1}{\rho} \cos \varphi = \frac{1}{\sqrt{x^2 + y^2}} \frac{x}{\sqrt{x^2 + y^2}} = \frac{x}{x^2 + y^2}$$

$$E_y = \mathbf{E} \cdot \mathbf{e}_y = \frac{1}{\rho} \mathbf{e}_\rho \cdot \mathbf{e}_y = \frac{1}{\rho} \sin \varphi = \frac{1}{\sqrt{x^2 + y^2}} \frac{y}{\sqrt{x^2 + y^2}} = \frac{y}{x^2 + y^2}$$

$$\Rightarrow \frac{E_y}{E_x} = \frac{dy}{dx} = \frac{y}{x} \Rightarrow \frac{dy}{y} = \frac{dx}{x} \Rightarrow \ln y = \ln x + c \Rightarrow y = c'x$$



2. 静态电磁场 静电场



2.2.4 电场线与等位面

等位面（线）： $\varphi(x, y, z) = c$

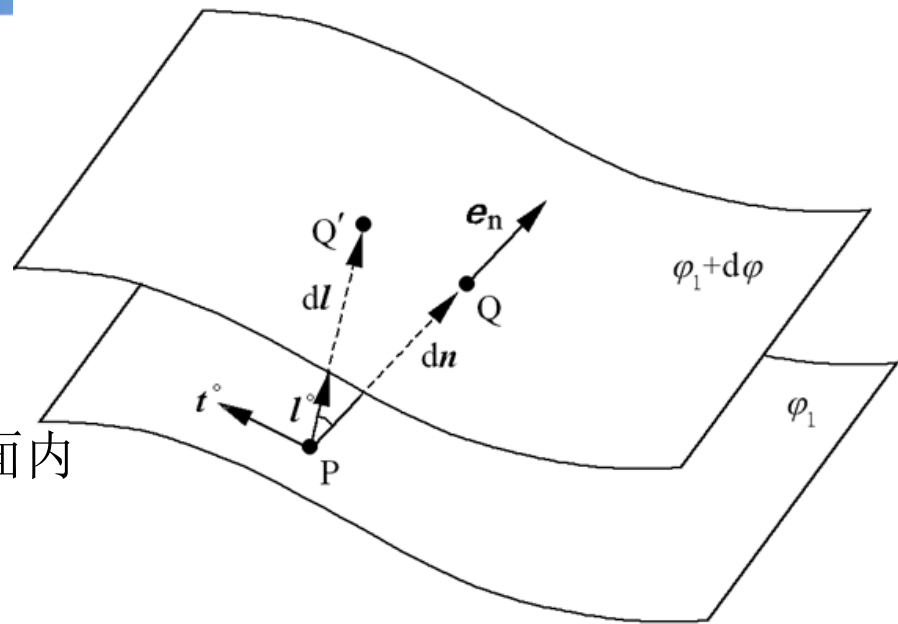
$$\frac{\partial \varphi}{\partial l} = \mathbf{G} \cdot \mathbf{e}_l = |\mathbf{G}| \cos(\mathbf{G}, \mathbf{e}_l)$$

在等位面上有任一点 P ，过 P 点的切平面内任取切向单位矢量 \mathbf{e}_t ，令 $\mathbf{e}_t = \mathbf{e}_l$ ，

$$\frac{\partial \varphi}{\partial l} = 0 = |\mathbf{G}| \cos(\mathbf{G}, \mathbf{e}_t)$$

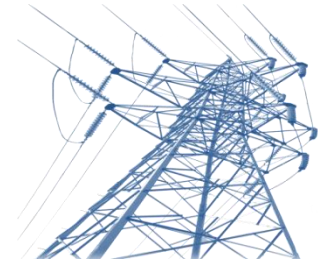
由于 $|\mathbf{G}| \geq 0$ 且 \mathbf{e}_t 任意，故必须满足令 \mathbf{e}_t 和 \mathbf{e}_l 垂直。

即 $\cos(\mathbf{G}, \mathbf{e}_t) = 0$ ➡ 故 \mathbf{E} 线与等位面垂直

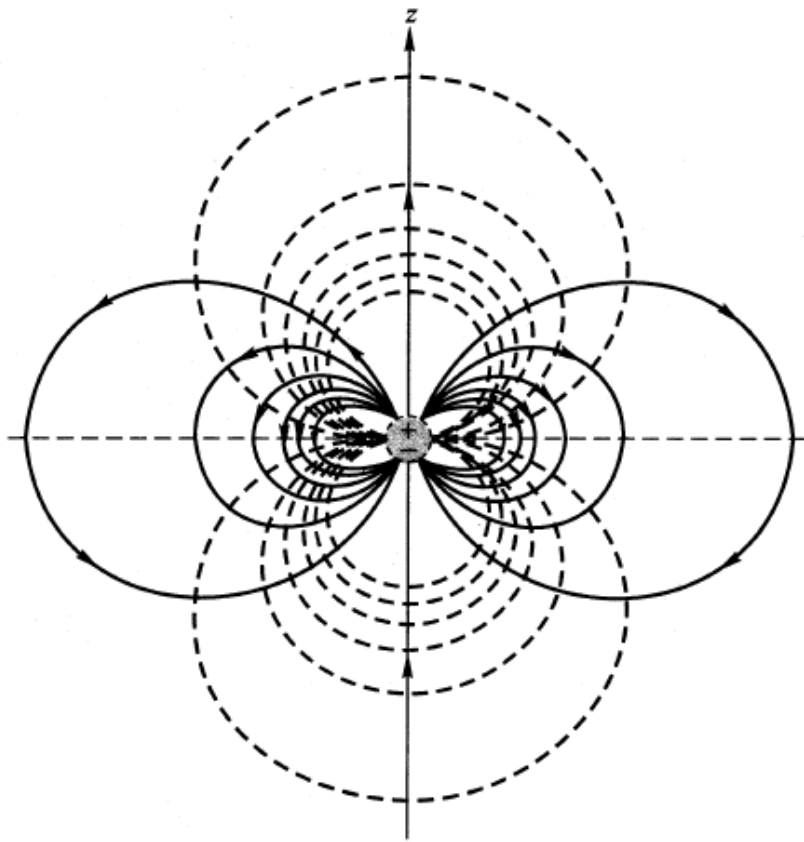


特别注意： $\mathbf{G} = \nabla \varphi$ 指向 φ 增加的方向； $\mathbf{E} = -\nabla \varphi$ 指向 φ 减小的方向；

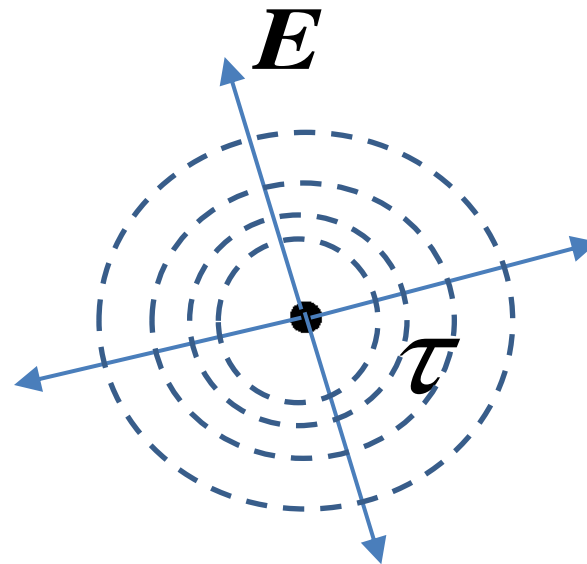
2. 静态电磁场 静电场



2.2.4 电场线与等位面



电偶极子场线剖面图



电轴电场线分布图



2.3 导体和电介质

回顾

源：电荷

点电荷

连续分布电荷

自由电荷

电偶极子

束缚电荷

场: \mathbf{E}, φ

高斯定理

$$\mathbf{E} = -\nabla \varphi$$

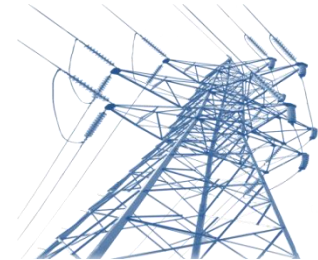
直接积分

源：电荷（自由空间）

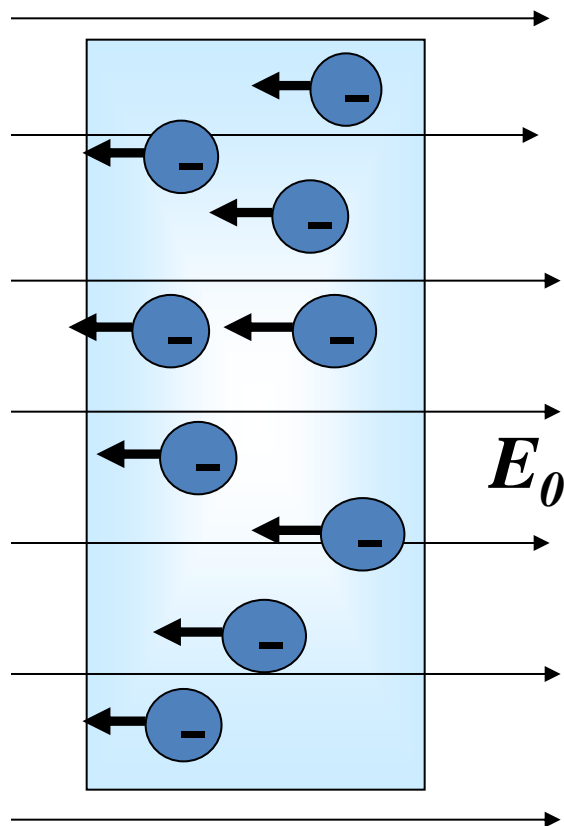
实际工程中：

空间有媒质存在，场存在于媒质空间当中，对电场而言，媒质主要包括两类：导体、电介质

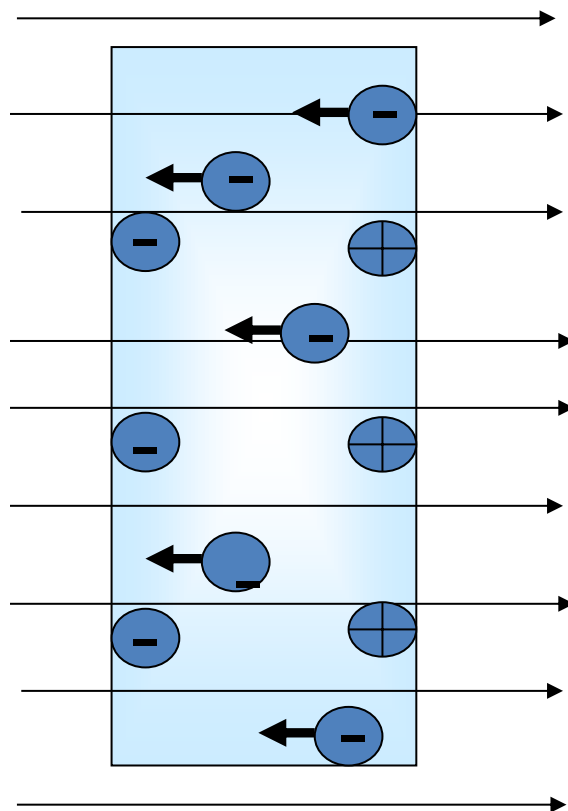
2. 静态电磁场 静电场



2.3.1 静电场中的导体

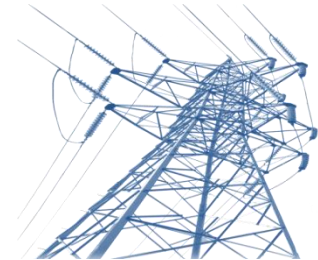


1. 导体中自由电荷在电场力作用下将发生定向

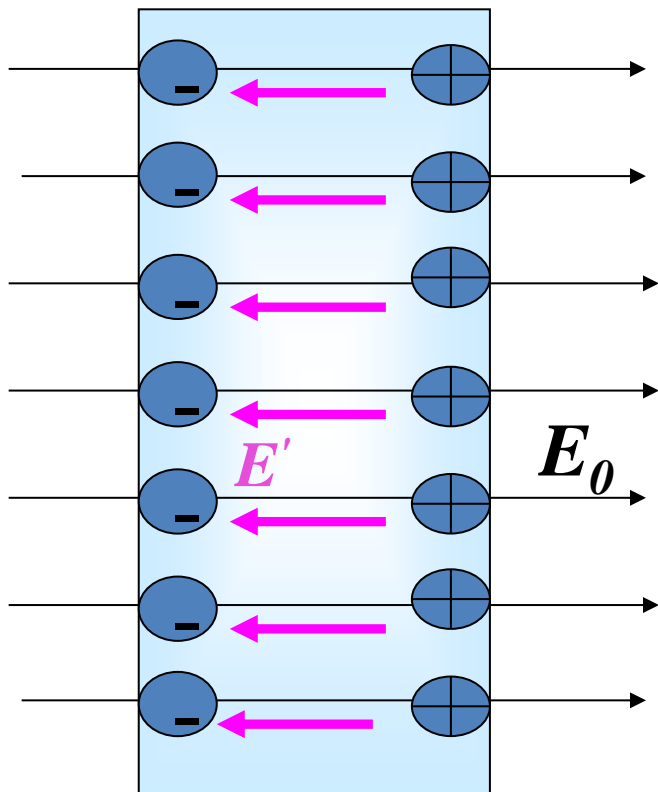


2. 导体两端出现感应电荷, 感应电荷在导体中产生反方向的附加场。

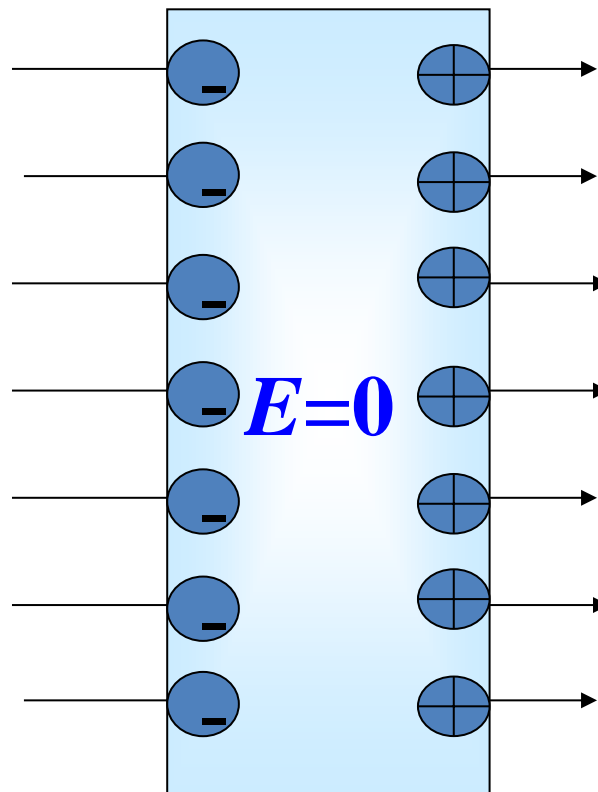
2. 静态电磁场 静电场



2.3.1 静电场中的导体

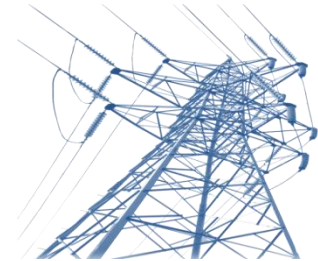


3. 感应电荷的电场增到与外电场相等时，导体内合场强为零。自由电荷的定向移动停止。



4. 静电平衡状态：导体中无电荷定向移动的状态，就叫静电平衡状态。

2. 静态电磁场 静电场

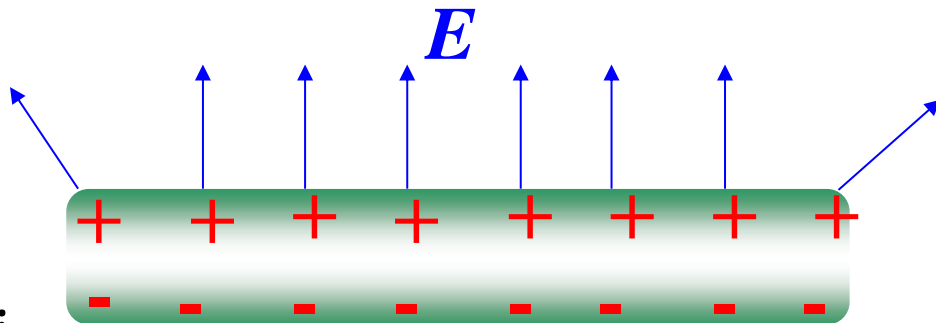


2.3.1 静电场中的导体

由于外电场的存在，受电场力的作用，导体内的电子（自由电荷）将反电场方向产生宏观定向运动，使得导体中的电荷重新分布，当感应电荷产生的附加电场 E 和原电场 E_0 在导体内叠加为零，即 $E=E_0$ 时，自由电子停止定向移动，这时导体所处的状态叫**静电平衡状态**。

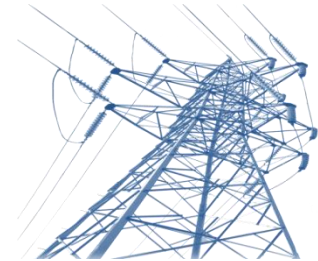
导体静电平衡下的基本特征：

- (1) 导体内部 $E=0$;
- (2) 导体为等位体;
- (3) 导体表面必与外侧的 E 线垂直;
- (4) 电荷必然以面密度分布的形态，呈现在导体表面，且其分布密度取决于导体表面的曲率（曲率越大，面电荷密度越大）；



应用：尖端放电，静电屏蔽等

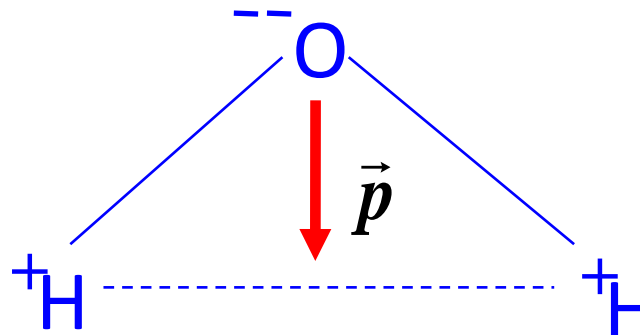
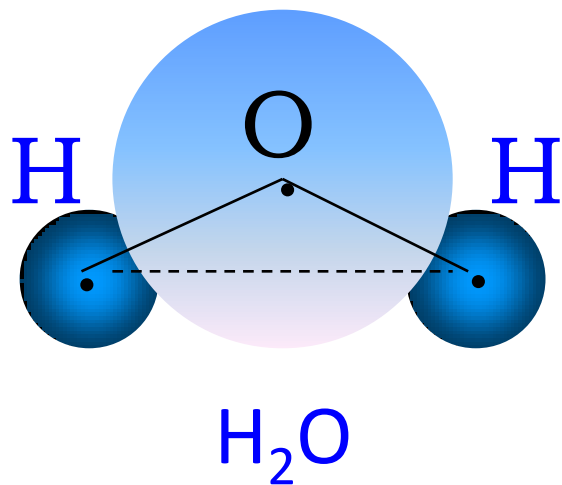
2. 静态电磁场 静电场



2.3.2 静电场中电介质及其极化

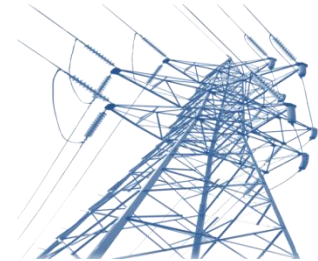
束缚电荷：只能微小移动，不能离开分子的范围，被原子、分子内在力或者分子间作用力束缚。

(1) 有极分子：正、负电荷中心不重合 (H_2O 、 N_2O 、 SO_2) ；



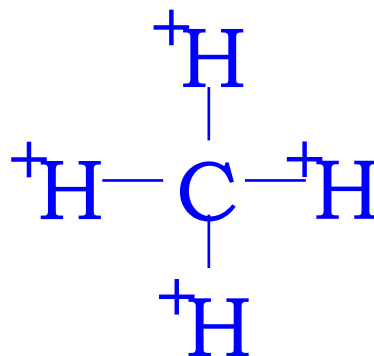
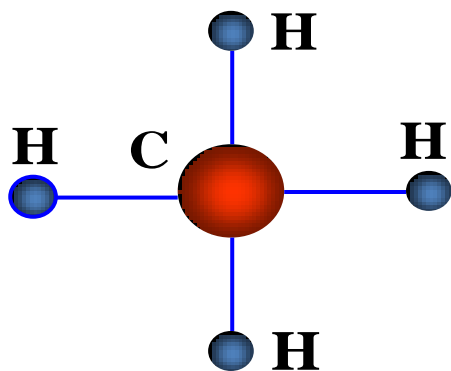
固有电偶极矩 $\sim 10^{-30} \text{ C} \cdot \text{m}$

2. 静态电磁场 静电场



2.3.2 静电场中电介质及其极化

(2) 无极分子：正、负电荷中心重合（ CH_4 、 H_2 、 N_2 ）；

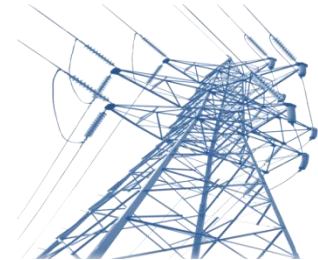


CH_4

外电场作用下的响应：

(1) 取向极化：有极分子电矩转向，等效电偶极矩矢量和不为零；

(2) 位移极化：重合的中心发生相对位移，形成的等效电偶极矩矢量和不为零；

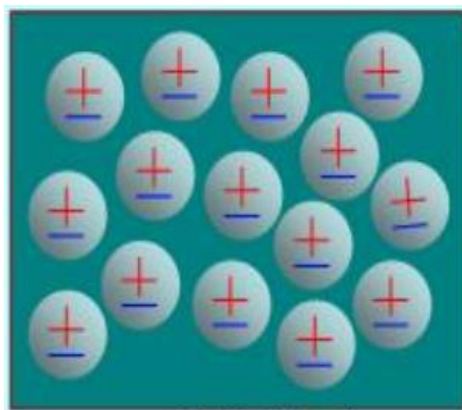


2. 静态电磁场 静电场

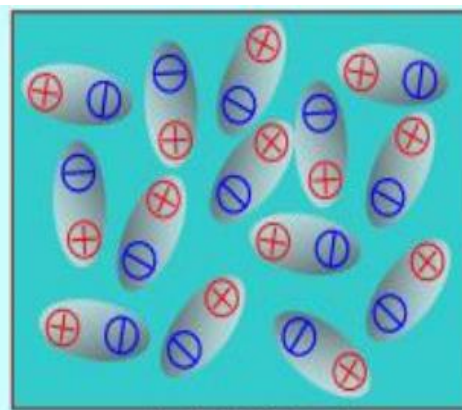
2.3.2 静电场中电介质及其极化

外电场施加前:

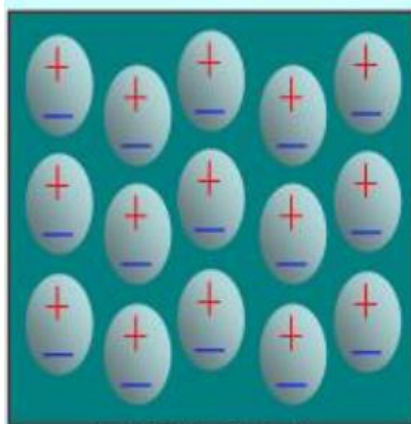
无极分子



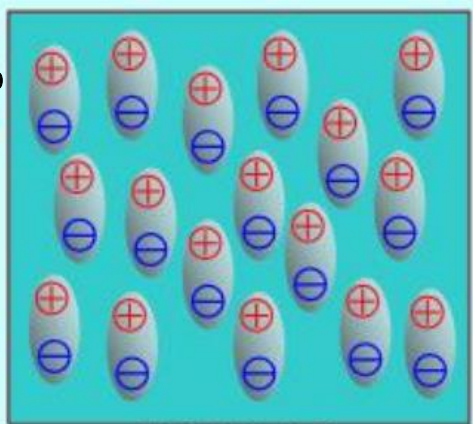
有极分子

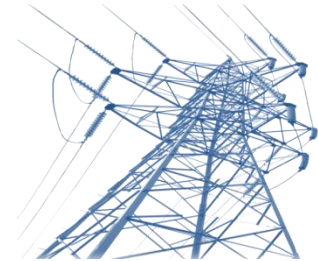


外电场施加后:



E^0





2. 静态电磁场 静电场

2.3.2 静电场中电介质及其极化

关心问题： 电介质极化后，所有电偶极子在空间中所产生的场？

- (1) 例2-6中给出了单个电偶极子的远场；
- (2) 如何表征不同电介质的极化程度？

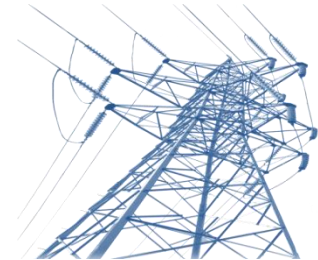
电极化强度 \mathbf{P} :
$$\mathbf{P} = \lim_{\Delta V \rightarrow 0} \frac{\sum \mathbf{p}}{\Delta V}$$



每单位体积内电偶极矩的矢量和（电偶极矩之和的密度）

含电介质空间电场 \mathbf{E} : { 自由空间（真空）电偶极子产生电场（远场）
自由空间（真空）中外电场（如自由电荷产生）

2. 静态电磁场 静电场



2.3.2 静电场中电介质及其极化

设已知 \mathbf{P} ，则单个电偶极子远区场

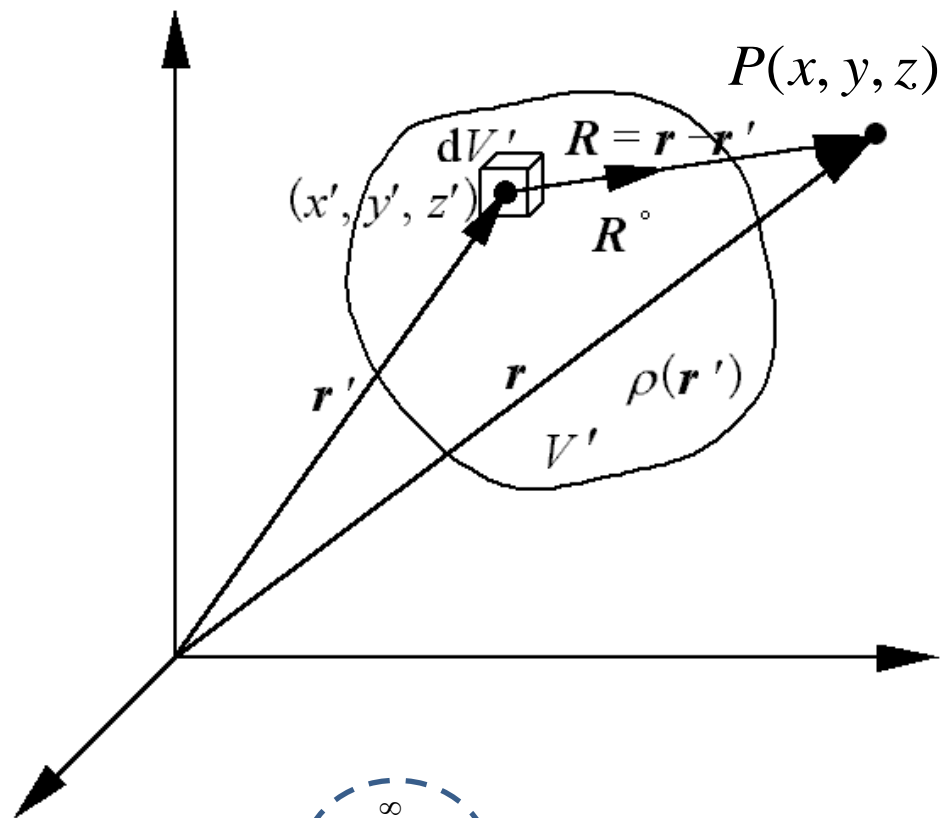
源在坐标原点：
$$\varphi = \frac{1}{4\pi\epsilon_0} \frac{\mathbf{p} \cdot \mathbf{e}_r}{r^2}$$

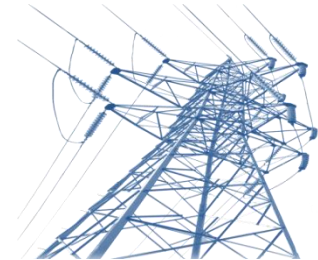


源不在坐标原点：
$$\varphi = \frac{1}{4\pi\epsilon_0} \frac{\mathbf{p} \cdot \mathbf{e}_R}{R^2}$$

元体积 dV' 中所有电偶极子在P点处产生的远场可以叠加，

$$d\varphi = \varphi_1 + \varphi_2 + \dots = \frac{1}{4\pi\epsilon_0} \left(\frac{\mathbf{p}_1 \cdot \mathbf{e}_R}{R^2} + \frac{\mathbf{p}_2 \cdot \mathbf{e}_R}{R^2} + \dots \right) = \frac{1}{4\pi\epsilon_0} \frac{\sum_{i=1}^{\infty} \mathbf{p}_i \cdot \mathbf{e}_R}{R^2}$$





2. 静态电磁场 静电场

2.3.2 静电场中电介质及其极化

$$d\varphi = \frac{1}{4\pi\epsilon_0} \frac{\mathbf{P} dV' \cdot \mathbf{e}_R}{R^2} = \frac{1}{4\pi\epsilon_0} \mathbf{P} dV' \cdot \frac{\mathbf{e}_R}{R^2}$$

由第一章作业题可知, $\frac{\mathbf{e}_R}{R^2} = \nabla' \left(\frac{1}{R} \right) = -\nabla \left(\frac{1}{R} \right)$

$$d\varphi = \frac{1}{4\pi\epsilon_0} \frac{\mathbf{P} dV' \cdot \mathbf{e}_R}{R^2} = \frac{1}{4\pi\epsilon_0} \mathbf{P} dV' \cdot \nabla' \left(\frac{1}{R} \right)$$

又由矢量恒等式: $\nabla \cdot (\Psi \mathbf{A}) = \Psi \nabla \cdot \mathbf{A} + \mathbf{A} \cdot \nabla \Psi$

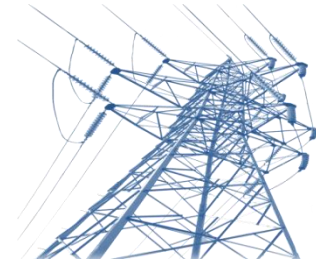
$$\mathbf{A} \cdot \nabla \Psi = \nabla \cdot (\Psi \mathbf{A}) - \Psi \nabla \cdot \mathbf{A}$$



$$\mathbf{P} \cdot \nabla' \frac{1}{R} = \nabla' \cdot \left(\mathbf{P} \frac{1}{R} \right) - \frac{1}{R} \nabla' \cdot \mathbf{P}$$



2. 静态电磁场 静电场



2.3.2 静电场中电介质及其极化

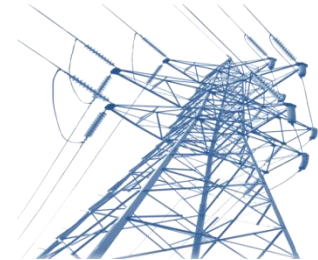
$$\begin{aligned}\varphi(\mathbf{r}) &= \frac{1}{4\pi\epsilon_0} \left[\int_{V'} \nabla' \cdot \left(\mathbf{P}(\mathbf{r}') \frac{1}{R} \right) dV' - \int_{V'} \frac{\nabla' \cdot \mathbf{P}(\mathbf{r}')}{R} dV' \right] \\ &= \frac{1}{4\pi\epsilon_0} \oint_{S'} \frac{\mathbf{P}(\mathbf{r}') \cdot \mathbf{e}_n dS'}{R} + \frac{1}{4\pi\epsilon_0} \int_{V'} \frac{-\nabla' \cdot \mathbf{P}(\mathbf{r}')}{R} dV'\end{aligned}$$

对比: $\varphi(\mathbf{r}) = \frac{1}{4\pi\epsilon_0} \int_{V'} \frac{\rho(\mathbf{r}')}{R} dV'$ $\varphi(\mathbf{r}) = \frac{1}{4\pi\epsilon_0} \int_{S'} \frac{\sigma(\mathbf{r}')}{R} dS'$

基于二者的相似性，作如下定义：

$$\sigma_p = \mathbf{P} \cdot \mathbf{e}_n \quad \text{极化面电荷}$$

$$\rho_p = -\nabla \cdot \mathbf{P} \quad \text{极化体电荷}$$



2. 静态电磁场 静电场

2.3.2 静电场中电介质及其极化

$$\varphi(\mathbf{r}) = \frac{1}{4\pi\epsilon_0} \oint_{S'} \frac{\sigma_P(\mathbf{r}')}{R} dS' + \frac{1}{4\pi\epsilon_0} \int_{V'} \frac{\rho_P(\mathbf{r}')}{R} dV'$$

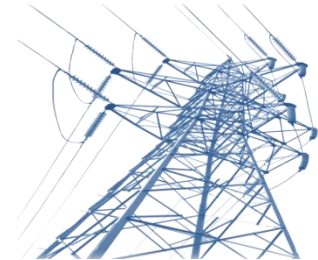
极化电荷:

$$\mathbf{E}(\mathbf{r}) = \frac{1}{4\pi\epsilon_0} \oint_{S'} \frac{\sigma_P(\mathbf{r}')}{R^2} \mathbf{e}_R dS' + \frac{1}{4\pi\epsilon_0} \int_{V'} \frac{\rho_P(\mathbf{r}')}{R^2} \mathbf{e}_R dV'$$

$$\varphi(\mathbf{r}) = \frac{1}{4\pi\epsilon_0} \int_{V'} \frac{\rho(\mathbf{r}')}{R} dV' + \varphi(\mathbf{r}) = \frac{1}{4\pi\epsilon_0} \int_{S'} \frac{\sigma(\mathbf{r}')}{R} dS'$$

自由电荷:

$$\mathbf{E} = \frac{1}{4\pi\epsilon_0} \int_{V'} \frac{\rho(\mathbf{r}')}{R^2} \mathbf{e}_R dV' + \mathbf{E} = \frac{1}{4\pi\epsilon_0} \int_{S'} \frac{\sigma(\mathbf{r}')}{R^2} \mathbf{e}_R dS'$$



2. 静态电磁场 静电场

2.4 含电介质的空间电场

2.4.1 电介质中的高斯定理

库仑电场: $\left\{ \begin{array}{ll} \text{自由电荷} & \nabla \cdot \mathbf{E} = \rho / \varepsilon_0 \\ \text{极化电荷} & \nabla \cdot \mathbf{E} = \rho_P / \varepsilon_0 \end{array} \right.$

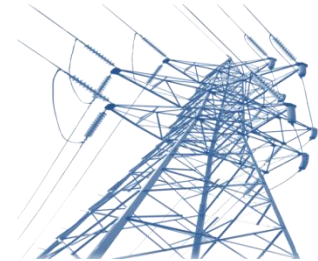
含导体和电介质空间: $\nabla \cdot \mathbf{E} = (\rho + \rho_P) / \varepsilon_0$ $\leftarrow \rho_P = -\nabla \cdot \mathbf{P}$

$$\downarrow$$
$$\nabla \cdot (\varepsilon_0 \mathbf{E} + \mathbf{P}) = \rho$$

定义: $\mathbf{D} = \varepsilon_0 \mathbf{E} + \mathbf{P}$ 电位移矢量 (电通量密度)

$$\nabla \cdot \mathbf{D} = \rho \quad \longleftrightarrow \quad \oint_S \mathbf{D} \cdot d\mathbf{S} = \int_V \rho dV \quad \text{一般形式的高斯定理}$$

2. 静态电磁场 静电场



2.4.2 介电常数 & 击穿场强

介电常数： 实验表明，大多数的电介质， P 和 E 成正比，即

$$P = \chi_e \varepsilon_0 E \quad \chi_e \longleftarrow \text{电极化率}$$

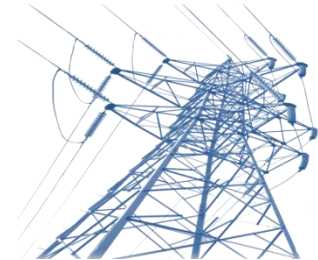
代入到 $D = \varepsilon_0 E + P \longrightarrow D = \varepsilon_0 E + \chi_e \varepsilon_0 E = \varepsilon_0 (1 + \chi_e) E$

令 $\varepsilon = \varepsilon_0 (1 + \chi_e) \longrightarrow D = \varepsilon E$

介电常数 $\longrightarrow \varepsilon_r = \varepsilon / \varepsilon_0 = (1 + \chi_e)$ 相对介电常数

击穿场强： 当电场足够大时，介质中的束缚电荷可能脱离分子自由移动，此时电介质丧失绝缘性能，成为击穿。某种介质所能承受最大场强，成为该介质的击穿场强。

2. 静态电磁场 静电场



例2-8 一个理想的平行板电容器，由直流电压源充电后又断开电源，然后在两极板间插入一厚度为 d 的均匀介质板，其介电常数为 $\varepsilon = \varepsilon_0 \varepsilon_r$ ($\varepsilon_r > 1$)，忽略极板间的边缘效应，试求：

(1) 插入介质板前后平行板间各点的电场强度 E 、电位移矢量 D 和电位 φ ，以及极板上的自由电荷分布；

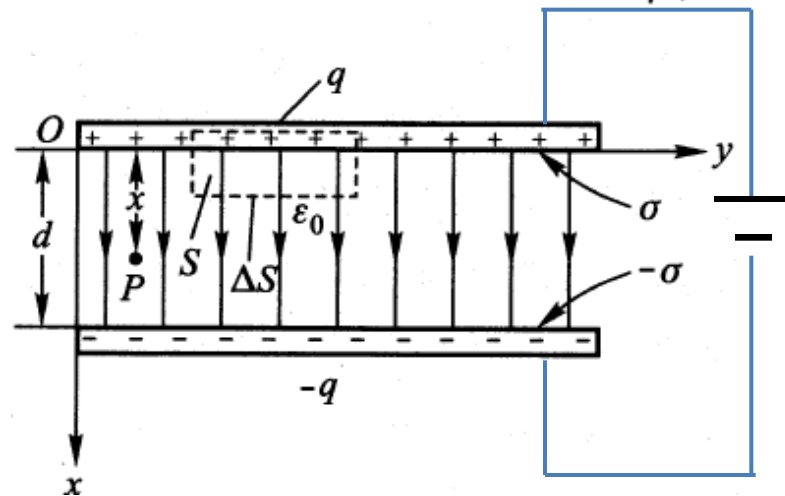
(2) 介质板表面和内部的极化电荷分布。

解：理想平行板电容器的电场，可视为具有平行平面场特征的均匀电场，

(1a) 插入介质前，设所求场量分别为：

$$D_0, E_0, \varphi_0, \sigma_0$$

$$U_0 = \int_+^- \mathbf{E}_0 \cdot d\mathbf{l} = \int_+^- (E_0 \mathbf{e}_x) \cdot (dx \mathbf{e}_x) = E_0 d \quad \Rightarrow \quad E_0 = \frac{U_0}{d} \mathbf{e}_x \quad \Rightarrow \quad D_0 = \frac{\varepsilon_0 U_0}{d} \mathbf{e}_x$$



2. 静态电磁场 静电场

$$\varphi_0 = \int_P^- \mathbf{E}_0 \cdot d\mathbf{l} = \int_x^d E_0 \cdot dx = \frac{U_0}{d}(d-x)$$

基于高斯定理，沿极板与介质的交界面，作一个圆柱形的高斯面，上下底面平行于极板面积为 ΔS ，则有，

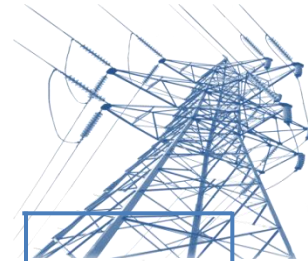
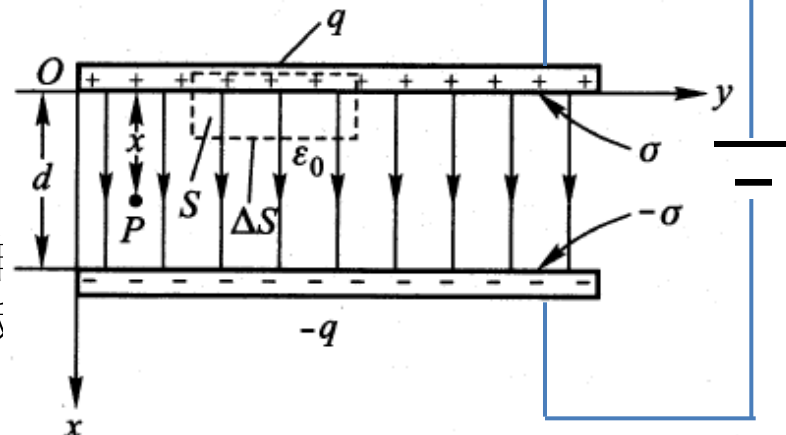
$$\oint_S \mathbf{D}_0 \cdot d\mathbf{S} = (\mathbf{D}_0 \mathbf{e}_x) \cdot (\Delta S \mathbf{e}_x) = D_0 \Delta S = \int_{S'} \sigma_0 dS = \sigma_0 \Delta S$$

$$\Rightarrow \sigma_0 = D_0 = \frac{\varepsilon_0 U_0}{d} \quad \text{导体与电介质交界面处的边界条件}$$

(1b) 插入介质后，设所求场量分别为： $\mathbf{D}_1, \mathbf{E}_1, \varphi_1, \sigma_1$

分析：电源断开后，插入介质，极板上电荷不变，电压改变。

显然， $\sigma_1 = \sigma_0$ 基于高斯定理， $D_1 = \sigma_1 = \sigma_0 = D_0$ 即 $D_1 = D_0$

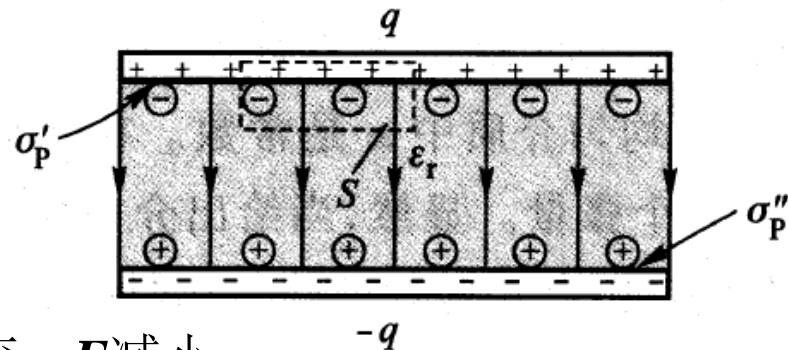


2. 静态电磁场 静电场



$$\mathbf{E}_1 = \mathbf{D}_1 / \varepsilon = \mathbf{D}_0 / \varepsilon = \frac{\varepsilon_0 \mathbf{E}_0}{\varepsilon_0 \varepsilon_r} = \frac{U_0}{\varepsilon_r d} \mathbf{e}_x$$

$$\varphi_1 = \int_P^- \mathbf{E}_1 \cdot d\mathbf{l} = \int_x^d \mathbf{E}_1 \cdot d\mathbf{x} = \frac{U_0}{\varepsilon_r d} (d - x)$$



结论：插入介质前后电荷密度 σ 不变， \mathbf{D} 不变， \mathbf{E} 减小。

电介质中的极化电场对原电场有抵消作用。（变压器绝缘油、纸板等用于减小空间电场强度）

(2) 假设与极板上、下交界面处的极化电荷面密度分别为： σ_P', σ_P''

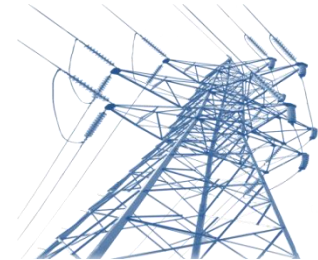
$$\mathbf{P}_1 = \chi_e \varepsilon_0 \mathbf{E}_1 = (\varepsilon_r - 1) \varepsilon_0 \mathbf{E}_1 = \frac{(\varepsilon_r - 1) \varepsilon_0 U_0}{d} \mathbf{e}_x$$

$$\text{上表面: } \sigma_P' = \mathbf{P} \cdot \mathbf{e}_n' = \frac{\varepsilon_r - 1}{\varepsilon_r} \sigma_0 \mathbf{e}_x \cdot (-\mathbf{e}_x) = -\frac{\varepsilon_r - 1}{\varepsilon_r} \sigma_0$$

$$\text{下表面: } \sigma_P'' = \mathbf{P} \cdot \mathbf{e}_n'' = \frac{\varepsilon_r - 1}{\varepsilon_r} \sigma_0 \mathbf{e}_x \cdot (\mathbf{e}_x) = \frac{\varepsilon_r - 1}{\varepsilon_r} \sigma_0$$

$$\rho_P = -\nabla \cdot \mathbf{P} = 0$$

2. 静态电磁场 静电场



例2-9 单芯同轴电缆如图所示，其长度 $L \gg b$ ，已知其内外半径为 a ， b ，中间介质的介电常数为 ε ，电缆与电压 U_0 相连，试求：

(1) 介质中的电场强度 E ，作出 $E - \rho$ 变化图形

(2) 介质中 E_{\max} 位于哪里？其值多大？

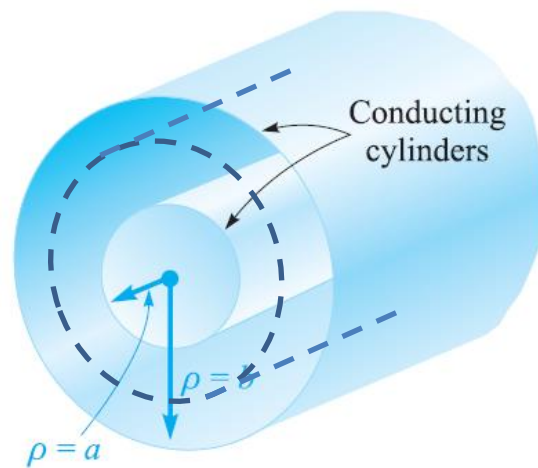
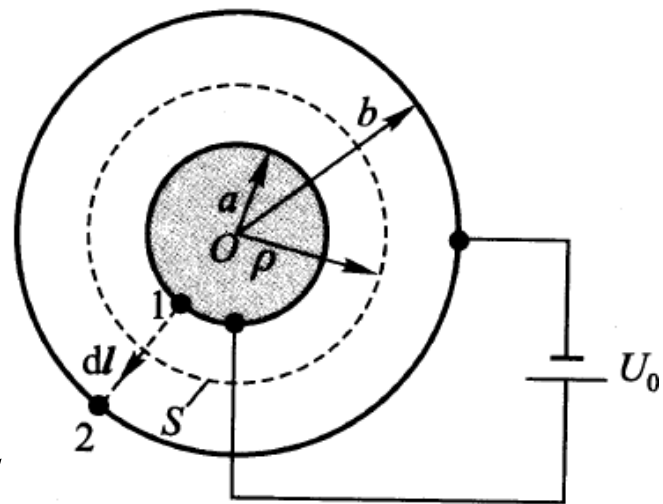
分析：(a) 电场呈轴对称特征；

(b) 可考虑利用高斯定理；

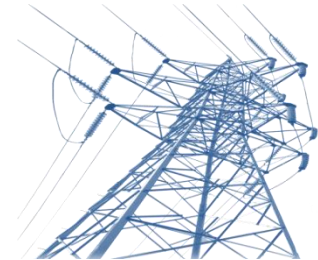
(c) 已知电位差，可考虑用 $U_0 = \int_+^- \mathbf{E} \cdot d\mathbf{l}$

解：(1) 作半径为 ρ ，长为 l 的圆柱面为高斯面，设内外导体电荷线密度为 $+\tau$ 、 $-\tau$ ，则

$$\begin{aligned}\oint_S \mathbf{D} \cdot d\mathbf{S} &= \int_{S_c} \mathbf{D} \cdot d\mathbf{S} = \int_{S_c} (D\mathbf{e}_\rho \cdot dS\mathbf{e}_\rho) \\ &= \int_{S_c} D dS = D \cdot 2\pi\rho l = \tau l\end{aligned}$$



2. 静态电磁场 静电场



$$D = \frac{\tau}{2\pi\rho} \mathbf{e}_\rho \rightarrow E = \frac{\tau}{2\pi\epsilon\rho} \mathbf{e}_\rho \quad (a < \rho < b)$$

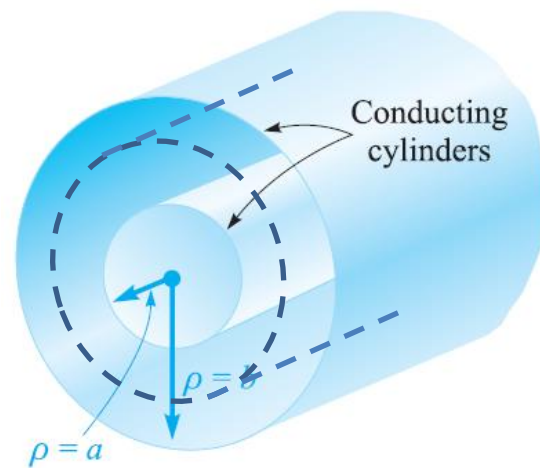
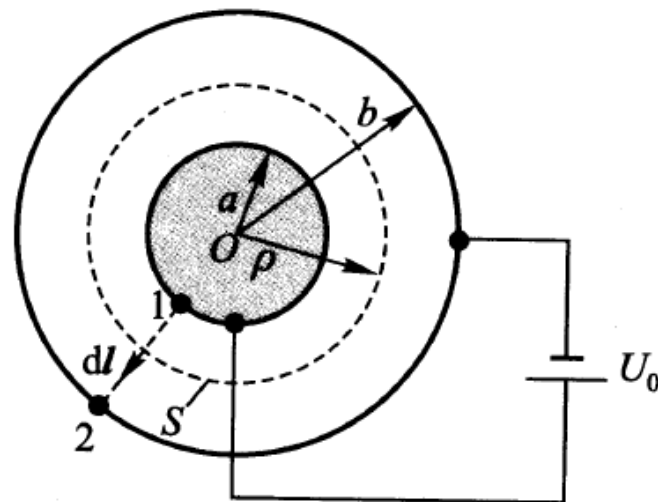
+ τ 、- τ 则是假设的，未知：

$$U_0 = \int_+^- \mathbf{E} \cdot d\mathbf{l} = \int_a^b \left(\frac{\tau}{2\pi\epsilon\rho} \mathbf{e}_\rho \cdot d\rho \mathbf{e}_\rho \right) = \frac{\tau}{2\pi\epsilon} \ln \frac{b}{a}$$

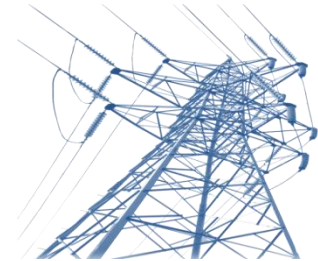
→ $\tau = 2\pi\epsilon U_0 / \ln \frac{b}{a}$ 代入到电场表达式，可得

→ $E = \frac{U_0}{\rho \ln \frac{b}{a}} \mathbf{e}_\rho \quad (a < \rho < b)$

(2) $E_{\max} = \frac{U_0}{a \ln \frac{b}{a}} \mathbf{e}_\rho$



2. 静态电磁场 静电场



总结：

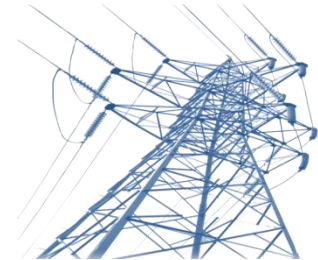
(1) 平板、球形电容器，同轴电缆适用高斯定理； $\oint_S \mathbf{D} \cdot d\mathbf{S} = q$

(2) 电位差与电场强度的关系： $U_0 = \int_+^- \mathbf{E} \cdot d\mathbf{l}$

(3) 导体与电介质的交界面： $\sigma = D_n$



2. 静态电磁场 静电场



2.4.3 不同媒质分界面上的边界条件

生活实例：光的折射现象在生活中很常见 \longrightarrow 光在本质上就是电磁场

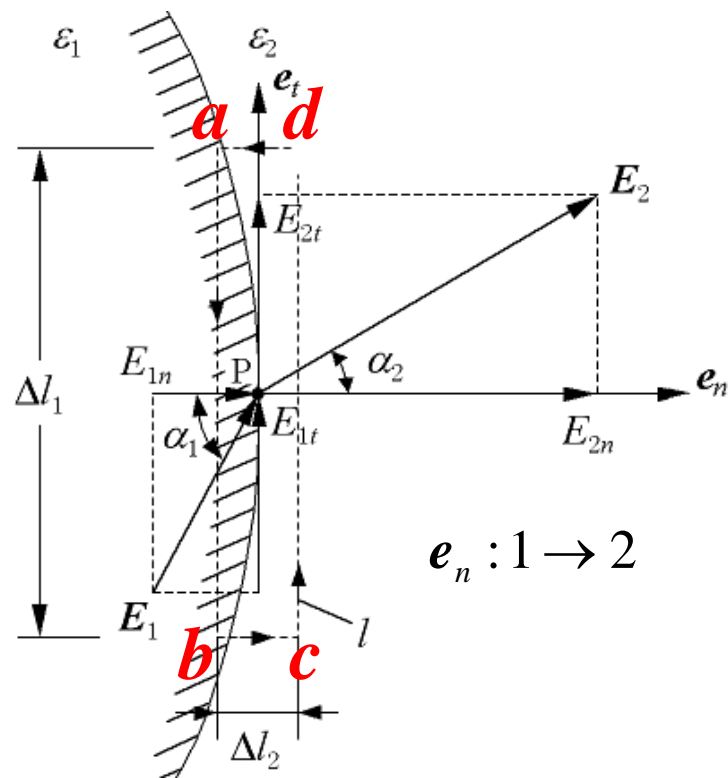
(1) 两种不同电介质

紧贴分界面，围绕 P 点作一很小的矩形回路 l ，
则 Δl_1 很小， Δl_2 近似为零。

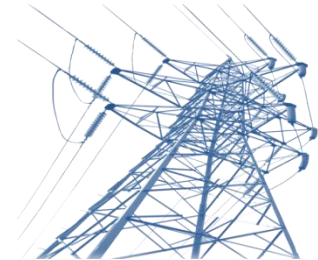
$$\begin{aligned}\oint_l \mathbf{E} \cdot d\mathbf{l} &= \int_a^b \mathbf{E}_1 \cdot d\mathbf{l} + \int_c^d \mathbf{E}_2 \cdot d\mathbf{l} \\ &= \int_a^b \mathbf{E}_1 \cdot \mathbf{e}_t dl + \int_c^d \mathbf{E}_2 \cdot \mathbf{e}_t dl \\ &= (-E_{1t} \Delta l_1) + E_{2t} \Delta l_1 = 0\end{aligned}$$

$$\longrightarrow E_{1t} = E_{2t} \quad \mathbf{e}_n \times (\mathbf{E}_2 - \mathbf{E}_1) = 0$$

电场强度切向连续



2. 静态电磁场 静电场



2.4.3 不同媒质分界面上的边界条件

(1) 两种不同电介质

紧贴分界面，围绕 P 点作一很小的扁平闭合圆柱面 S ，则 Δh 近似为零，利用高斯定理，

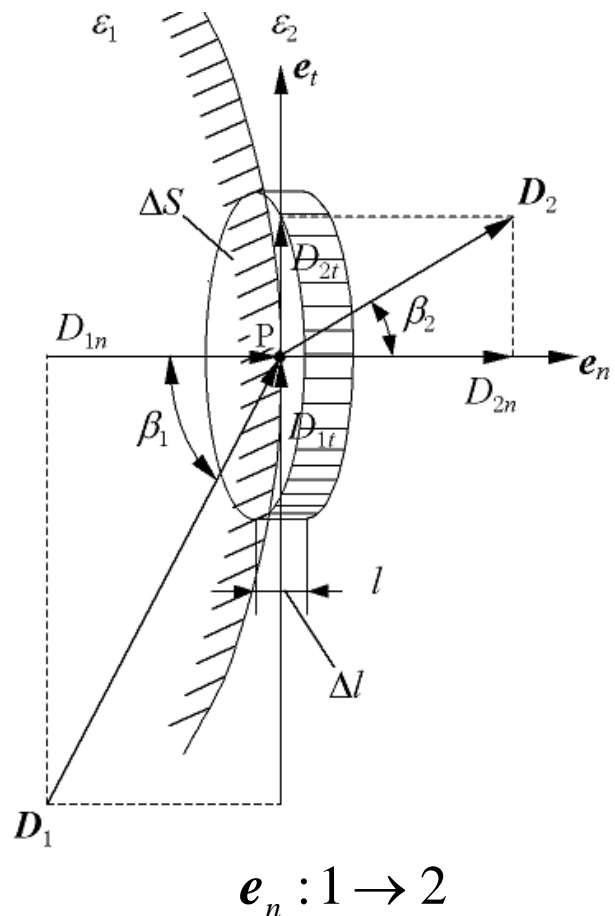
$$\begin{aligned}\oint_S \mathbf{D} \cdot d\mathbf{S} &= \int_{S_T} \mathbf{D}_1 \cdot (-\mathbf{e}_n) dS + \int_{S_B} \mathbf{D}_2 \cdot (\mathbf{e}_n) dS \\ &= D_{2n} \Delta S - D_{1n} \Delta S = \sigma \Delta S\end{aligned}$$

$$\Rightarrow D_{2n} - D_{1n} = \sigma \quad \mathbf{e}_n \cdot (\mathbf{D}_2 - \mathbf{D}_1) = \sigma$$

对于电介质交界面，通常有 $\sigma=0$

$$\Rightarrow D_{2n} = D_{1n} \quad \mathbf{e}_n \cdot (\mathbf{D}_2 - \mathbf{D}_1) = 0$$

电位移矢量法向连续



2. 静态电磁场 静电场

2.4.3 不同媒质分界面上的边界条件

折射定理:

$$E_{1t} = E_{2t} \Rightarrow E_1 \sin \alpha_1 = E_2 \sin \alpha_2 \Rightarrow \frac{\tan \alpha_1}{\tan \alpha_2} = \frac{\epsilon_1}{\epsilon_2}$$

$$D_{2n} = D_{1n} \Rightarrow \epsilon_1 E_1 \cos \alpha_1 = \epsilon_2 E_2 \cos \alpha_2$$

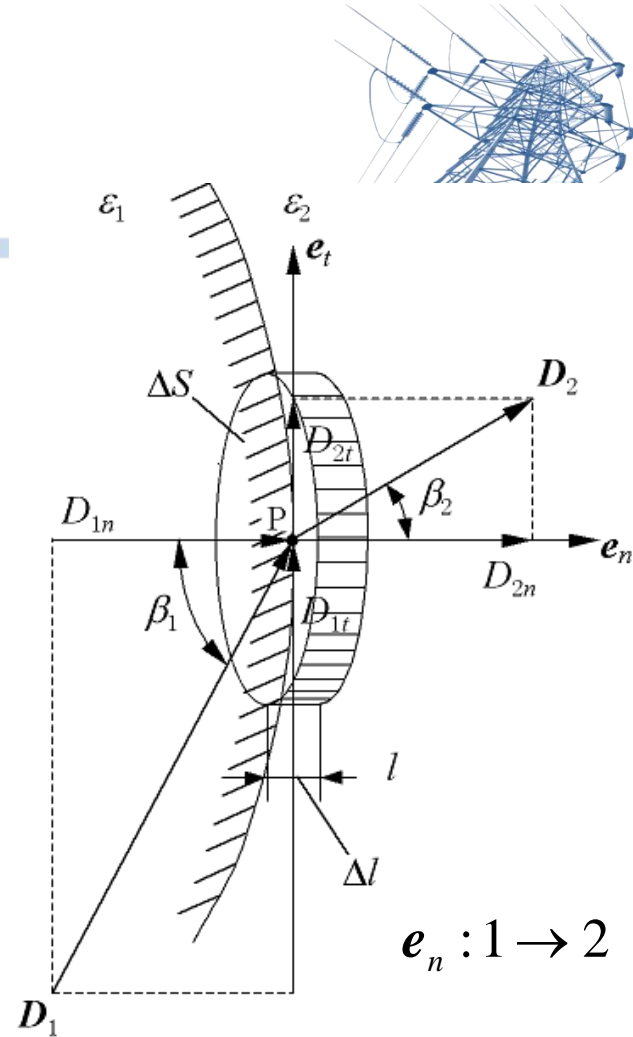
(2) 导体和电介质交界面

分析: 在静电场中的导体, 处于静电平衡, 特征为

$$E_1 = D_1 = 0 \Rightarrow \begin{cases} D_{1n} = D_{1t} = 0 \\ E_{1n} = E_{1t} = 0 \end{cases}$$

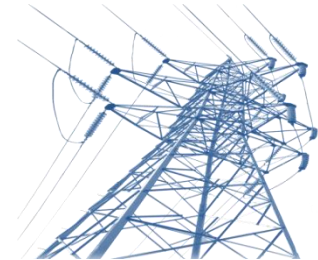
$$\text{由 } D_{2n} - D_{1n} = \sigma \Rightarrow D_{2n} = \sigma \Rightarrow \begin{cases} E_{1t} = E_{2t} = 0 \\ D_{2n} = \sigma \end{cases}$$

$$\mathbf{e}_n \times \mathbf{E}_2 = \mathbf{e}_n \times \mathbf{E}_1 = 0 \quad \mathbf{e}_n \cdot \mathbf{D}_2 = \sigma$$



电场线垂直于导体表面

例2-8



2. 静态电磁场 静电场

2.4.3 不同媒质分界面上的边界条件

(3) 由电位表述的边界条件

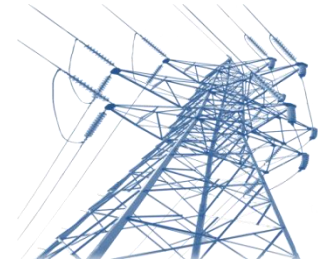
a. 两种不同电介质

$$\left\{ \begin{array}{l} E_{1t} = E_{2t} \\ D_{2n} = D_{1n} \end{array} \right. \Rightarrow \left\{ \begin{array}{l} \varphi_1 = \varphi_2 \\ \varepsilon_2 \frac{\partial \varphi_2}{\partial n} - \varepsilon_1 \frac{\partial \varphi_1}{\partial n} = -\sigma \end{array} \right.$$

b. 导体和电介质

$$\left\{ \begin{array}{l} E_{1t} = E_{2t} = 0 \\ D_{2n} = \sigma \end{array} \right. \Rightarrow \left\{ \begin{array}{l} \varphi_1 = \varphi_2 \equiv C \\ \varepsilon_2 \frac{\partial \varphi_2}{\partial n} = -\sigma \end{array} \right.$$

2. 静态电磁场 静电场



例2-10 一平行板电容器，板间介质为两种不同绝缘材料，外施电压 U_0 ，求：

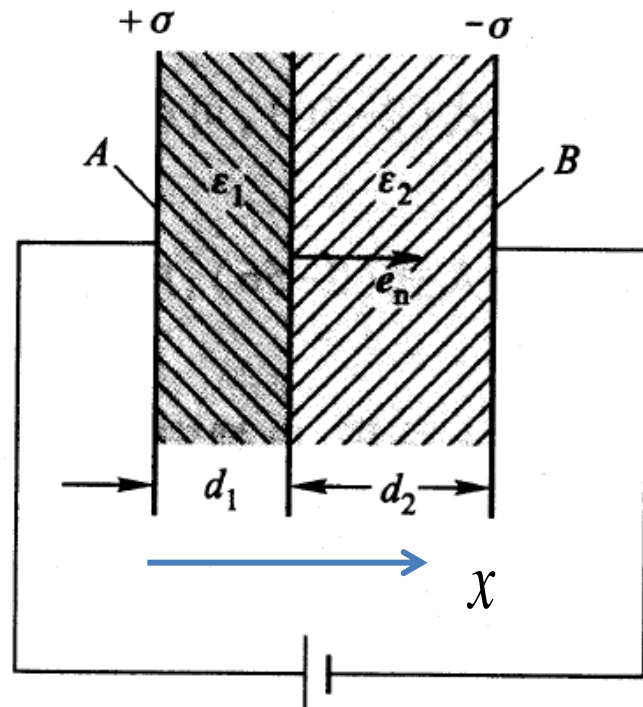
- (1) 两绝缘材料中的电场强度；
- (2) 极板上的电荷面密度。

分析：介质不均匀，导体、两种不同电介质，已知电位差

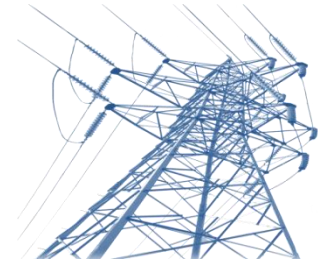
解：设交界面法向为由A指向B，

$$\left\{ \begin{array}{l} \int_{l_1} \mathbf{E}_1 \cdot d\mathbf{l} + \int_{l_2} \mathbf{E}_2 \cdot d\mathbf{l} = U_0 \\ D_{1n}|_S = D_{2n}|_S \end{array} \right.$$

$$\Rightarrow \left\{ \begin{array}{l} E_1 d_1 + E_2 d_2 = U_0 \\ \varepsilon_1 E_1 = \varepsilon_2 E_2 \end{array} \right. \Rightarrow \mathbf{E}_1 = \frac{\varepsilon_2 U_0}{\varepsilon_1 d_2 + \varepsilon_2 d_1} \mathbf{e}_x \quad \mathbf{E}_2 = \frac{\varepsilon_1 U_0}{\varepsilon_1 d_2 + \varepsilon_2 d_1} \mathbf{e}_x$$



2. 静态电磁场 静电场



总结：目前所学的静电场的求解方法如下，

(1) 叠加定理；

(2) 高斯定理： $\oint_S \mathbf{D} \cdot d\mathbf{S} = \int_V \rho dV$

(3) 直接积分： $\mathbf{E} = \frac{1}{4\pi\epsilon_0} \int_{V'} \frac{\rho(\mathbf{r}')}{R^2} \mathbf{e}_R dV'$

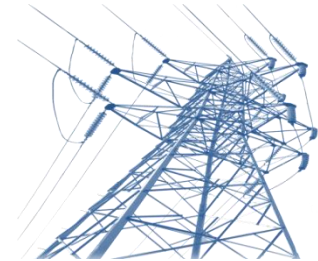
(4) 电位差与电场强度： $U_{PQ} = \int_P^Q \mathbf{E} \cdot d\mathbf{l}$

微分方程：

$$\begin{cases} \nabla \cdot \mathbf{D} = \rho \\ \mathbf{D} = \epsilon \mathbf{E} \\ \mathbf{E} = -\nabla \varphi \end{cases}$$

解微分方程是否可以求解？





2. 静态电磁场 静电场

2.5 边值问题

2.5.1 数学模型

(1) 泛定方程

$$\nabla \cdot \mathbf{D} = \nabla \cdot (\varepsilon \mathbf{E}) = \varepsilon \nabla \cdot \mathbf{E} + \mathbf{E} \cdot \nabla \varepsilon = \rho$$

若介质均匀: $\nabla \varepsilon = 0 \quad \Rightarrow \quad \varepsilon \nabla \cdot \mathbf{E} = \rho \quad \Rightarrow \quad \nabla \cdot \nabla \varphi = -\rho / \varepsilon \quad \text{泊松方程}$

当电荷密度为零时, $\nabla \cdot \nabla \varphi = 0 \quad \text{拉普拉斯方程}$

定义拉普拉斯算子: $\nabla \cdot \nabla = \nabla^2$

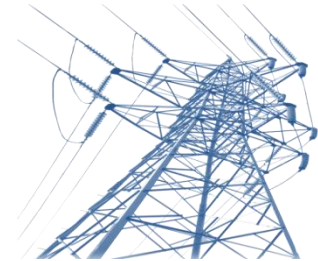
$$\nabla^2 \varphi = -\rho / \varepsilon \quad \text{泊松方程}$$

$$\nabla^2 \varphi = 0 \quad \text{拉普拉斯方程}$$

(2) 定解条件 (边界条件)



2. 静态电磁场 静电场



2.5.1 数学模型

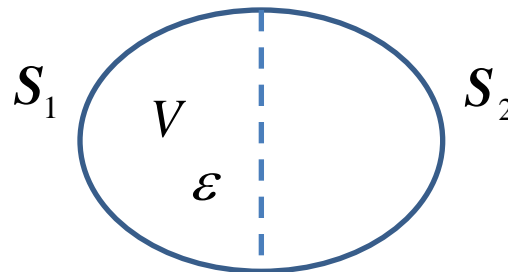
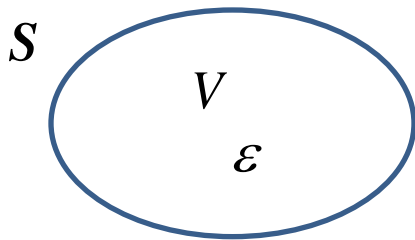
(2) 定解条件（边界条件）

即是在定义域边界上给定的边界条件，有以下几种类型，

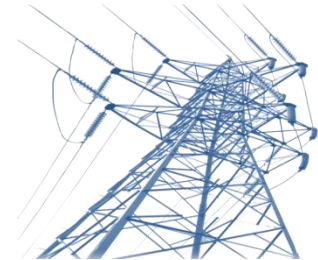
a. 给定场域边界上的电位 $\varphi(\mathbf{r})|_S = f_1(\mathbf{r}_b)$ ↗ 边界点的位矢

b. 给定场域边界上电位的法向导数 $\left. \frac{\partial \varphi(\mathbf{r})}{\partial n} \right|_S = f_2(\mathbf{r}_b)$

c. 上述两种情况的线性组合 $\left[\varphi(\mathbf{r}) + f_3(\mathbf{r}) \frac{\partial \varphi(\mathbf{r})}{\partial n} \right]_S = f_4(\mathbf{r}_b)$



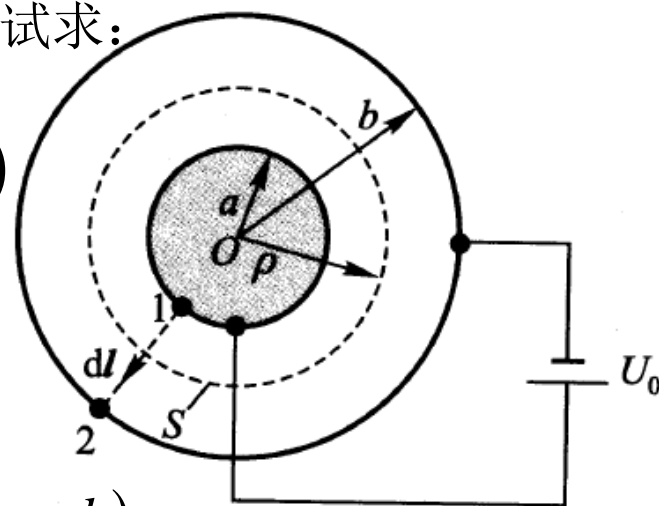
2. 静态电磁场 静电场



2.5.2 直接积分法

例2-11 (2-9) 单芯同轴电缆如图所示, 其长度 $L \gg b$, 已知其内外半径为 a , b , 中介质的介电常数为 ε , 电缆与电压 U_0 相连, 试求: 介质中的电场强度 \mathbf{E} .

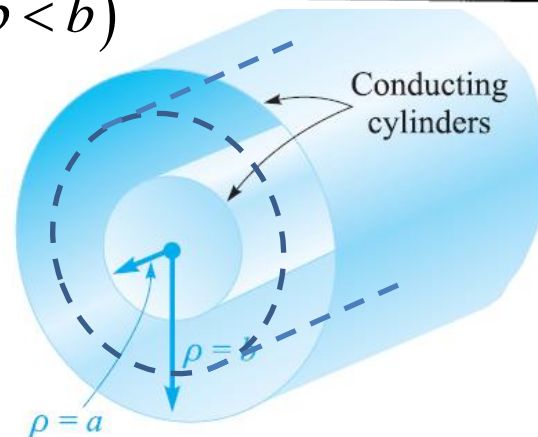
解: 该电场对应的边值问题为:

$$\begin{cases} \nabla^2 \varphi = 0 \quad (a < \rho < b) \\ \varphi|_{\rho=a} = U_0 \\ \varphi|_{\rho=b} = 0 \end{cases}$$


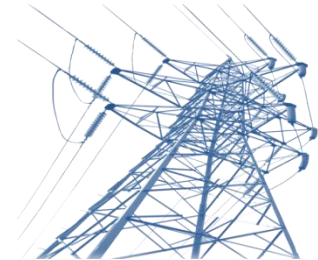
$$\nabla^2 \varphi = \frac{1}{\rho} \frac{\partial}{\partial \rho} \left(\rho \frac{\partial \varphi}{\partial \rho} \right) + \frac{1}{\rho^2} \frac{\partial^2 \varphi}{\partial \theta^2} + \frac{\partial^2 \varphi}{\partial z^2} = 0 \quad (a < \rho < b)$$

$$\varphi|_{\rho=a} = U_0$$

$$\varphi|_{\rho=b} = 0$$



2. 静态电磁场 静电场



分析： 由于内外导体上的电荷对称分布，因此电场沿径向，等位面（线）与之垂直，为与导体同轴的圆柱面，故电位 φ 只与 ρ 有关。

$$\rightarrow \nabla^2 \varphi = \frac{1}{\rho} \frac{\partial}{\partial \rho} \left(\rho \frac{\partial \varphi}{\partial \rho} \right) = 0$$

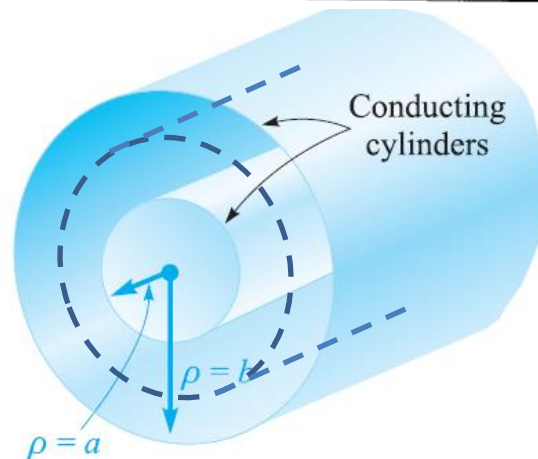
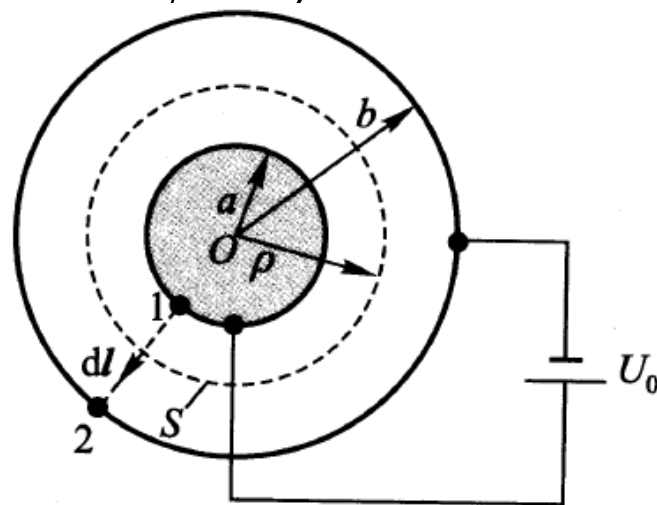
$$\rightarrow \rho \frac{\partial \varphi}{\partial \rho} = C \rightarrow \frac{\partial \varphi}{\partial \rho} = \frac{C}{\rho} \rightarrow \varphi = C_1 \ln \rho + C_2$$

结合边界条件，有

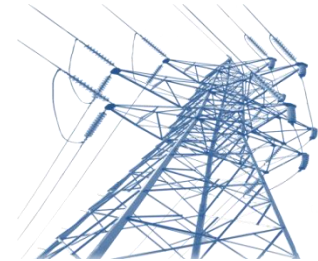
$$\begin{aligned} \varphi(a) &= C_1 \ln a + C_2 = U_0 \\ \varphi(b) &= C_1 \ln b + C_2 = 0 \end{aligned} \rightarrow \begin{aligned} C_1 &= -U_0 / \ln \frac{b}{a} \\ C_2 &= U_0 \ln b / \ln \frac{b}{a} \end{aligned}$$

$$\rightarrow \varphi = U_0 \ln(b/\rho) / \ln(b/a)$$

$$\mathbf{E} = -\nabla \varphi = -\left(\frac{\partial \varphi}{\partial \rho} \mathbf{e}_\rho + \frac{\partial \varphi}{\rho \partial \phi} \mathbf{e}_\phi + \frac{\partial \varphi}{\partial z} \mathbf{e}_z \right) = \frac{U_0}{\rho \ln \frac{b}{a}} \mathbf{e}_\rho$$

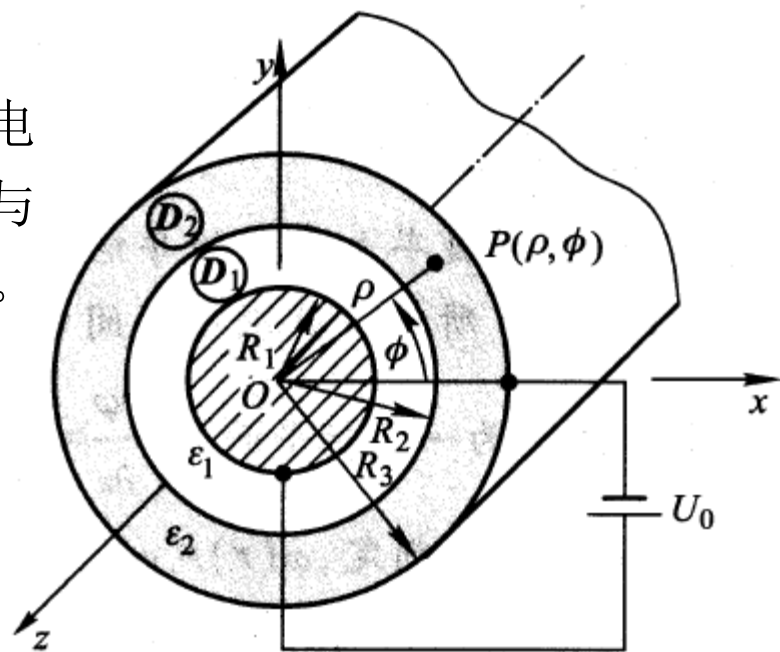


2. 静态电磁场 静电场



例2-12 如图所示为双层介质的同轴电缆，内外导体半径为 R_1 ， R_3 ，双层介质的交界面处半径为 R_2 ，电缆与电压 U_0 相连，试基于边值问题求介质内的电位分布。

分析：由于内外导体上的电荷对称分布，因此电场沿径向，等位面（线）与之垂直，为与导体同轴的圆柱面，故电位 φ 只与 ρ 有关。



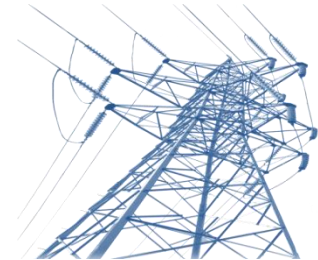
$$\nabla^2 \varphi_1 = \frac{1}{\rho} \frac{d}{d\rho} \left(\rho \frac{d\varphi_1}{d\rho} \right) = 0 \quad (R_1 < \rho < R_2, \phi) \in D_1$$

$$\nabla^2 \varphi_2 = \frac{1}{\rho} \frac{d}{d\rho} \left(\rho \frac{d\varphi_2}{d\rho} \right) = 0 \quad (R_2 < \rho < R_3, \phi) \in D_2$$

$$\varphi_1 \big|_{\rho=R_1} = U_0 \quad \text{和} \quad \varphi_2 \big|_{\rho=R_3} = 0$$

$$\varphi_1 \big|_{\rho=R_2} = \varphi_2 \big|_{\rho=R_2} \quad \text{和} \quad \epsilon_1 \frac{d\varphi_1}{d\rho} \bigg|_{\rho=R_2} = \epsilon_2 \frac{d\varphi_2}{d\rho} \bigg|_{\rho=R_2}$$

2. 静态电磁场 静电场



→ 电位通解:

$$\varphi_1 = C_1 \ln \rho + C_2$$

$$\varphi_2 = C_3 \ln \rho + C_4$$

↓ 边界条件

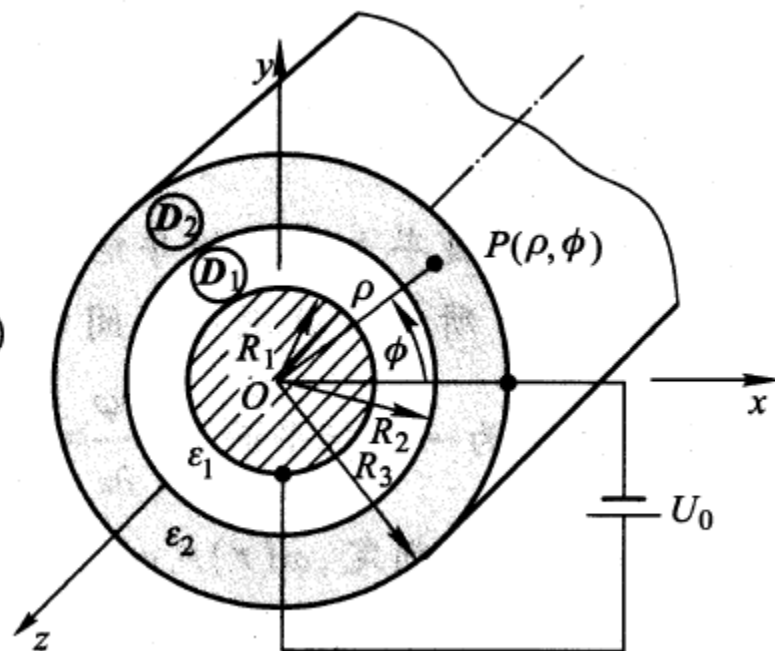
$$C_1 = \frac{-\varepsilon_2 U_0}{K}, C_2 = U_0 + \frac{\varepsilon_2 U_0}{K} \ln R_1, C_3 = \frac{-\varepsilon_1 U_0}{K}, C_4 = \frac{\varepsilon_1 U_0}{K} \ln R_3$$

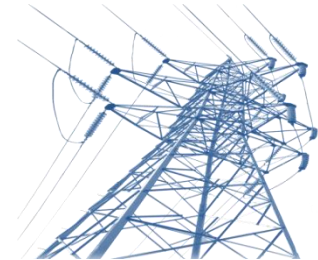
↓

$$K = \varepsilon_2 \ln \left(\frac{R_2}{R_1} \right) - \varepsilon_1 \ln \left(\frac{R_2}{R_3} \right)$$

$$\varphi_1 = \frac{U_0}{K} (K + \varepsilon_2 \ln R_1 - \varepsilon_2 \ln \rho) \quad (R_1 \leq \rho \leq R_2)$$

$$\varphi_2 = \frac{U_0}{K} (\varepsilon_1 \ln R_3 - \varepsilon_1 \ln \rho) \quad (R_2 \leq \rho \leq R_3)$$





2. 静态电磁场 静电场

2.5.3 分离变量法

直接积分法的局限：只适用于求解仅与一个坐标变量有关的函数。

当电位与两个坐标变量均有关？

设该平行平面场中位函数 $U(\mathbf{r}) = U(x, y)$ 为坐标 x, y 的函数，在场域 D 内满足拉普拉斯方程

$$\nabla^2 U(x, y) = \frac{\partial^2 U}{\partial x^2} + \frac{\partial^2 U}{\partial y^2} = 0 \quad (x, y) \in D$$

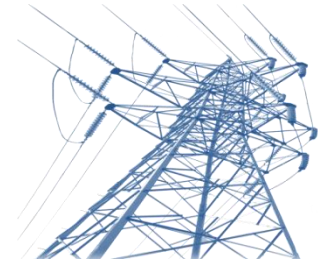
假定：

$$U(x, y) = X(x)Y(y)$$

$$\Rightarrow \frac{1}{X} \frac{d^2 X}{dx^2} = -\frac{1}{Y} \frac{d^2 Y}{dy^2} = \lambda \Rightarrow \begin{cases} \frac{d^2 X}{dx^2} - \lambda X = 0 \\ \frac{d^2 Y}{dy^2} + \lambda Y = 0 \end{cases}$$

待定常数 λ 在实数范围内取值 ($\lambda = 0$; $\lambda = m_n^2 > 0$ 和 $\lambda = -m_n^2 < 0$)，可分别得出

2. 静态电磁场 静电场



2.5.3 分离变量法

当 $\lambda = 0$ 时

$$X(x) = A_{10} + A_{20}x;$$

$$Y(y) = B_{10} + B_{20}y$$

当 $\lambda = m_n^2 > 0$ 时

$$X(x) = A_{1n} \cosh(m_n x) + A_{2n} \sinh(m_n x);$$

$$Y(y) = B_{1n} \cos(m_n y) + B_{2n} \sin(m_n y)$$

当 $\lambda = -m_n^2 < 0$ 时

$$X(x) = A'_{1n} \cos(m_n x) + A'_{2n} \sin(m_n x);$$

$$Y(y) = B'_{1n} \cosh(m_n y) + B'_{2n} \sinh(m_n y)$$

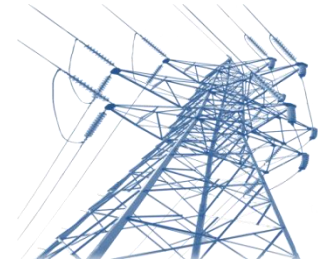
位函数 U 的通解可认为是以上各个特解的线性组合，则有

$$\begin{aligned} U(x, y) = & \sum_{n=1}^{\infty} [A_{1n} \cosh(m_n x) + A_{2n} \sinh(m_n x)] [B_{1n} \cos(m_n y) + B_{2n} \sin(m_n y)] \\ & + \sum_{n=1}^{\infty} [A'_{1n} \cos(m_n x) + A'_{2n} \sin(m_n x)] [B'_{1n} \cosh(m_n y) + B'_{2n} \sinh(m_n y)] \\ & + (A_{10} + A_{20}x)(B_{10} + B_{20}y) \end{aligned}$$

最后根据边界条件通过比较系数方法确定待定系数的值。



2. 静态电磁场 静电场



2.5.4 静电场解的唯一性

解的唯一性：

在给定的定解条件下，所求的解是唯一的（满足给定边值的泊松方程的解是唯一的解）。

$$\nabla^2 \varphi_1 = -\rho / \varepsilon$$

$$\varphi_1|_{S_i} = f_i$$



$$\nabla^2 \varphi_2 = -\rho / \varepsilon$$

$$\varphi_2|_{S_i} = f_i$$

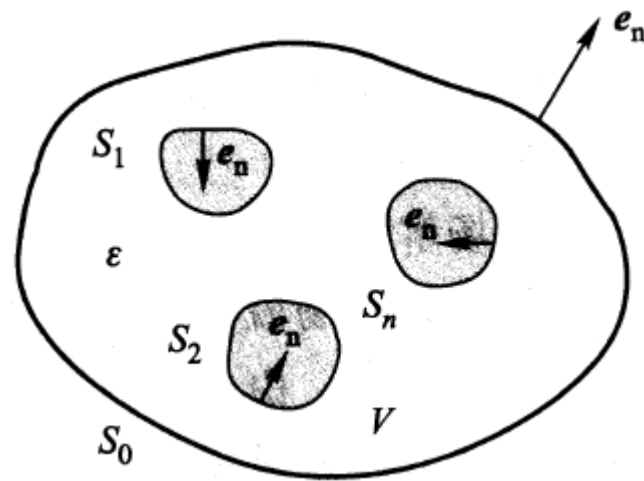
$$\nabla^2 \varphi_1 = -\rho / \varepsilon$$

$$\left. \frac{\partial \varphi_1}{\partial n} \right|_{S_i} = g_i$$

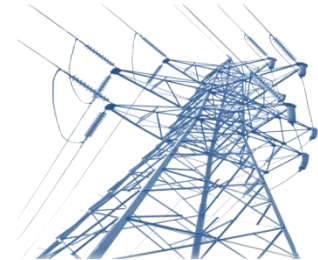


$$\nabla^2 \varphi_2 = -\rho / \varepsilon$$

$$\left. \frac{\partial \varphi_2}{\partial n} \right|_{S_i} = g_i$$



2. 静态电磁场 静电场

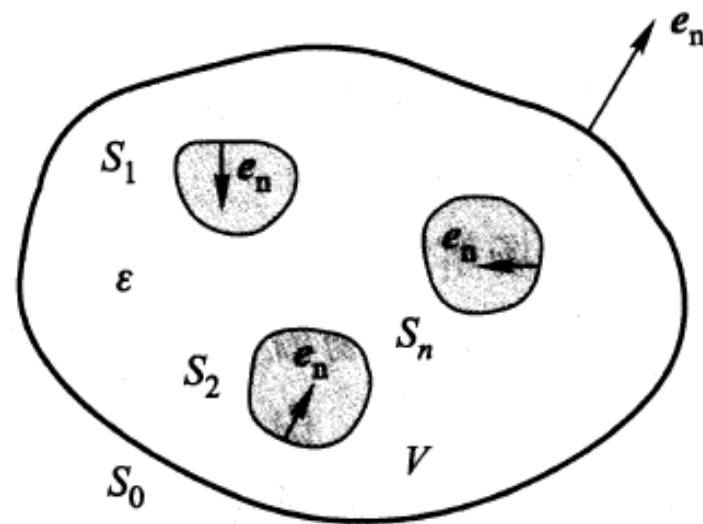


2.5.4 静电场解的唯一性

证明：采用反证法，假设 V 中存在两个不同的电位函数 φ_1 、 φ_2 ，在给定的边值条件下均满足泊松方程，

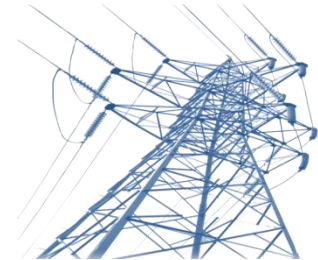
$$\nabla^2 \varphi_1 = -\rho / \varepsilon \quad \nabla^2 \varphi_2 = -\rho / \varepsilon$$

➡
$$\nabla^2 \varphi_1 - \nabla^2 \varphi_2 = \nabla^2 (\varphi_1 - \varphi_2) = \nabla^2 \varphi_d = 0$$



在导体的边界上，电位是定的（等位体），故导体边界上必有 $\varphi_d = 0$

2. 静态电磁场 静电场



2.5.4 静电场解的唯一性

由格林公式，

$$\int_V [\varphi \nabla^2 \psi + \nabla \varphi \cdot \nabla \psi] dV = \oint_S \varphi \frac{\partial \psi}{\partial n} dS$$

令 $\psi = \varphi = \varphi_d$ 代入上式

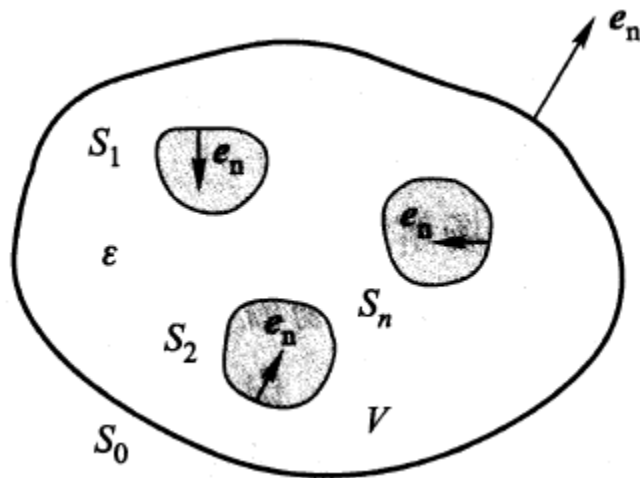
$$\Rightarrow \int_V (\nabla \varphi_d)^2 dV = \oint_S \varphi_d \frac{\partial \varphi_d}{\partial n} dS$$

如图所示，整个问题区域的边界 $S = S_0 + S_1 + S_2 + \dots + S_n$ 。那么在这些边界上，已知两个位函数必将有相同的一类边值或者二类边值，即

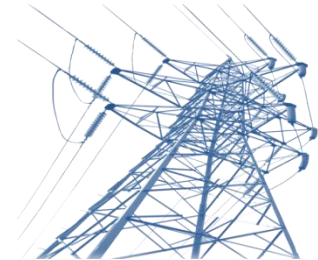
$$\varphi_1|_{S_i} = \varphi_2|_{S_i} = f_i \quad \frac{\partial \varphi_1}{\partial n}|_{S_i} = \frac{\partial \varphi_2}{\partial n}|_{S_i} = g_i$$

$$\text{进而可得, } \varphi_d|_{S_i} = 0 \quad \frac{\partial \varphi_d}{\partial n}|_{S_i} = 0$$

代入前式得



2. 静态电磁场 静电场



2.5.4 静电场解的唯一性

$$\int_V (\nabla \varphi_d)^2 dV = 0$$

由于 V 任意, 要满足上式恒为零, 只有

$\nabla \varphi_d = 0 \Rightarrow$ 即场域 V 内电位 φ_d 的梯度恒为零

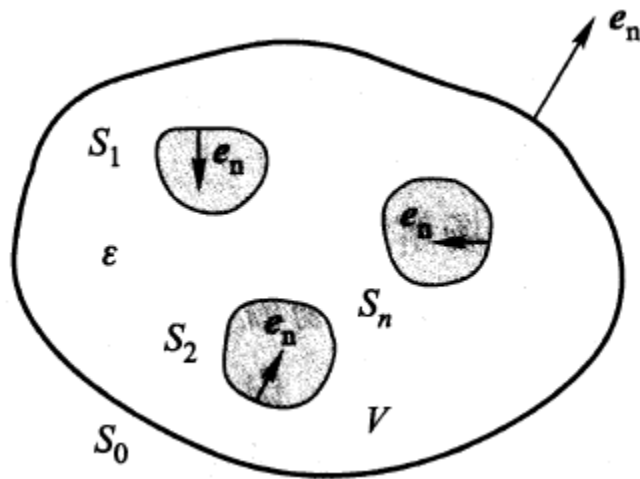
又由于在导体表面上

$$\varphi_d = 0$$

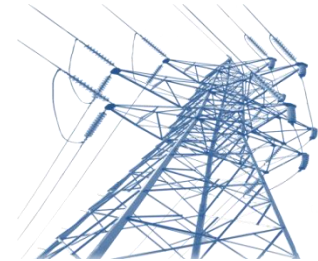
且场域 V 内有没有电位差 (电位梯度),

故场域 V 内任意点必有 $\varphi_d = 0$

$$\Rightarrow \varphi_1 = \varphi_2$$



2. 静态电磁场 静电场



2.6 镜像法

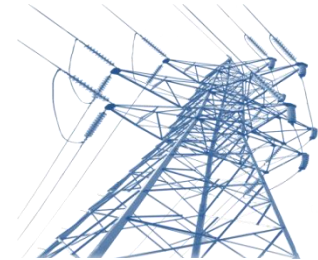
回顾：边值问题：BVP (Boundary Value Problem)

BVP: { 泊松方程
边界条件 } → 静电场具有唯一解

具有相同的解 ← BVP相同 { 问题A 难以求解
问题B 容易求解 } →

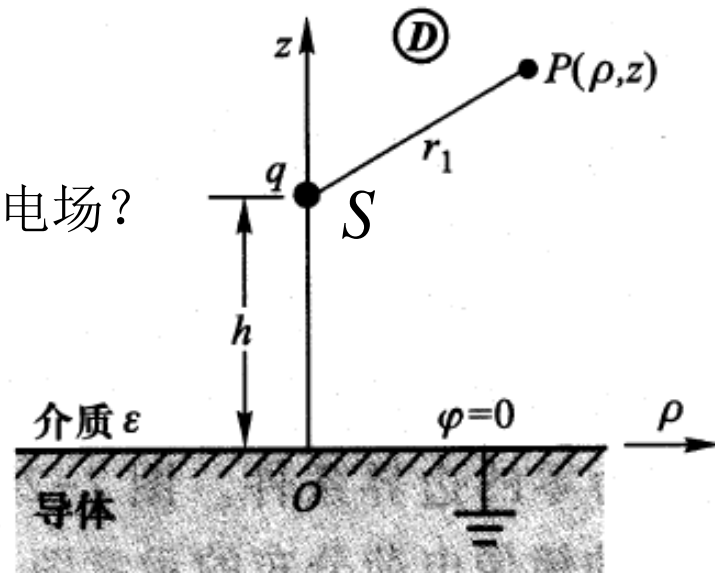


2. 静态电磁场 静电场



2.6.1 点电荷与无限大接地导电平面

求解区域D ($z>0$) 中除S外任意一点P处的电场?



问题A

- a. 高斯定理??
- b. 叠加定理??
- c. 由电荷密度积分??
- d. 边值问题??

$$\text{BVP: } \begin{cases} \nabla^2 \varphi = 0 & (z>0 \text{ Exp } S) \\ \varphi|_{z=0} = 0 \end{cases}$$

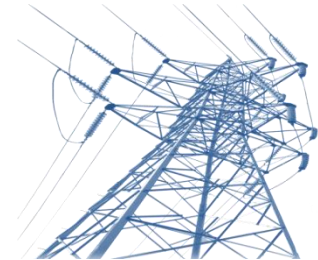
直接积分不能用



以上方法都不可行



2. 静态电磁场 静电场

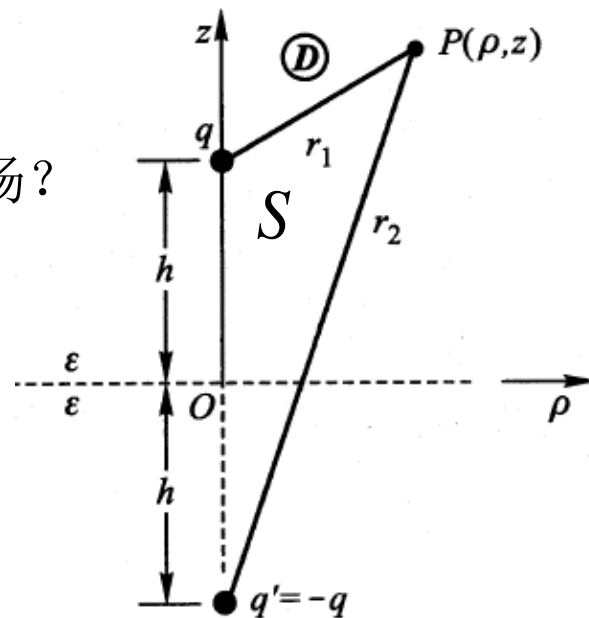


2.6.1 点电荷与无限大接地导电平面

求解区域D ($z>0$) 中除S外任意一点P处的电场?

点电荷电场+叠加定理

$$\varphi_P = \frac{q}{4\pi\epsilon_0 r_1} + \frac{-q}{4\pi\epsilon_0 r_2}$$



问题B

$$\text{BVP: } \begin{cases} \nabla^2 \varphi = 0 & (z>0 \text{ Exp } S) \\ \varphi|_{z=0} = 0 \end{cases} \Rightarrow$$

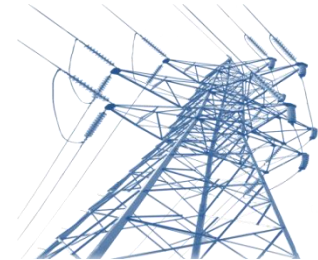
问题A

问题B

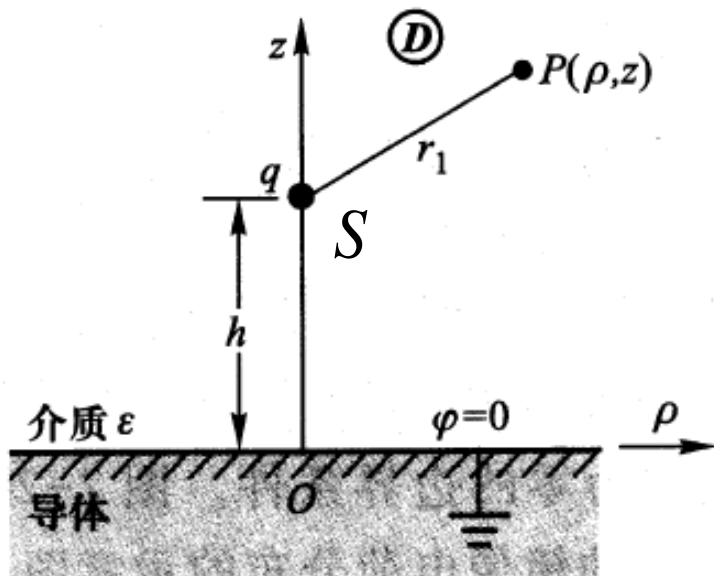
BVP相同

解相同

2. 静态电磁场 静电场

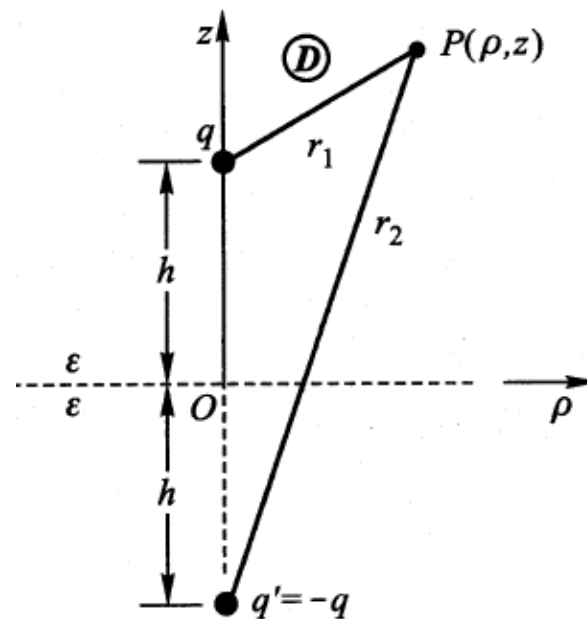


2.6.1 点电荷与无限大接地导电平面



问题A

镜像法



问题B

a. 求解区域及源分布不变;

镜像法:

b. 空间介质均匀化;



镜像前后BVP相同

c. 镜像电荷位置、电量, 在求解区域外

2. 静态电磁场 静电场

2.6.1 点电荷与无限大接地导电平面

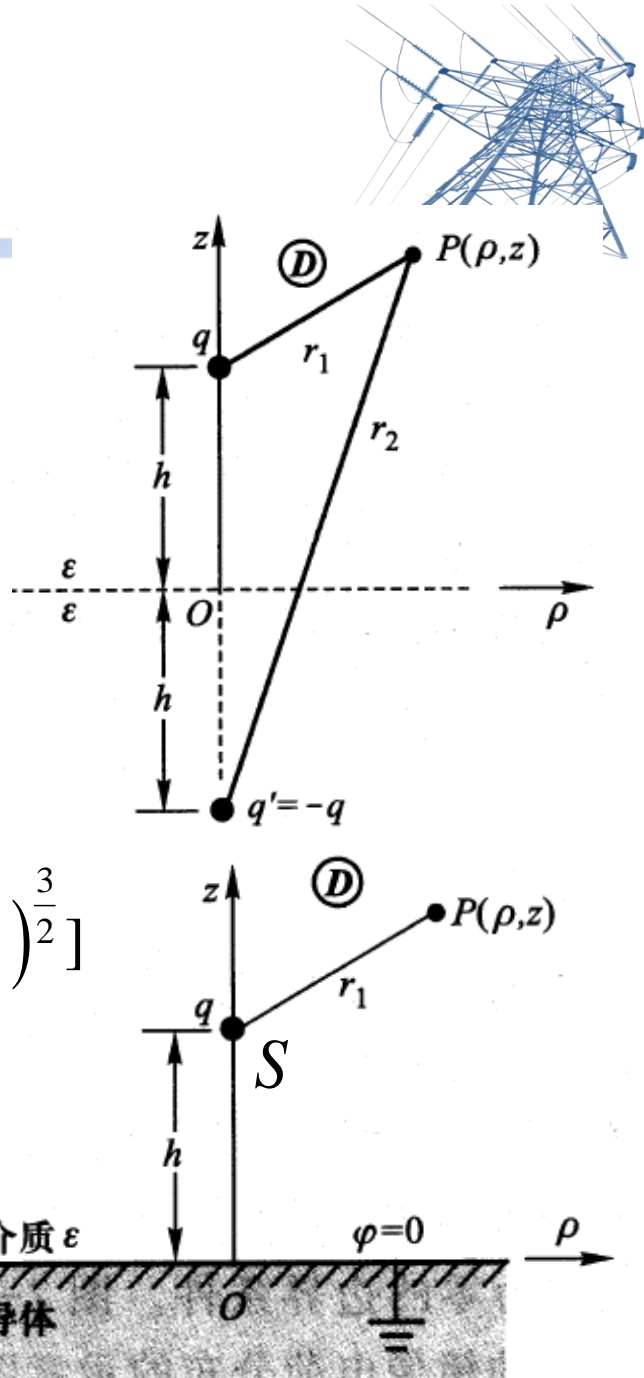
$$\begin{aligned}\varphi &= \frac{q}{4\pi\epsilon r_1} + \frac{-q}{4\pi\epsilon r_2} = \frac{q}{4\pi\epsilon} \left(\frac{1}{r_1} + \frac{-1}{r_2} \right) \\ &= \frac{q}{4\pi\epsilon} \left(\frac{1}{\sqrt{\rho^2 + (z-h)^2}} + \frac{-1}{\sqrt{\rho^2 + (z+h)^2}} \right)\end{aligned}$$

$\mathbf{E} = -\nabla\varphi$ 可得电场强度。

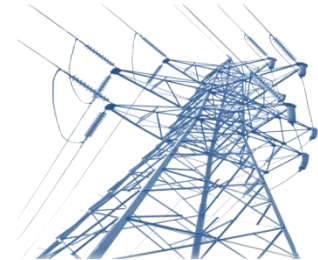
$$\sigma = D_n = \epsilon E_n = \epsilon E_z = \epsilon \left. \frac{\partial \varphi}{\partial z} \right|_{z=0} = -qh / [2\pi(\rho^2 + h^2)^{\frac{3}{2}}]$$

导体上总的感应电荷：

$$\int_S \sigma dS = \frac{-qh}{2\pi} \int_0^\infty \int_0^{2\pi} \frac{1}{(\rho^2 + h^2)^{\frac{3}{2}}} \rho d\rho d\phi = -q = q'$$

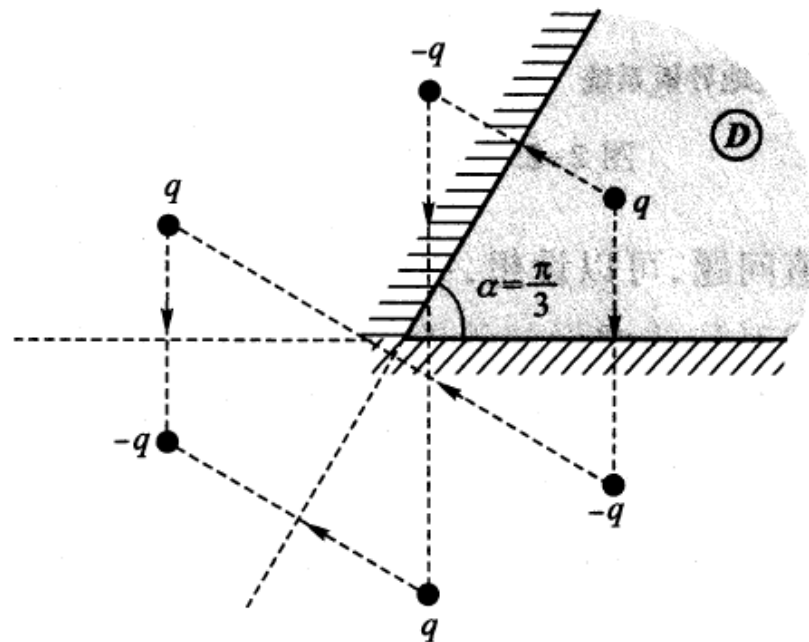
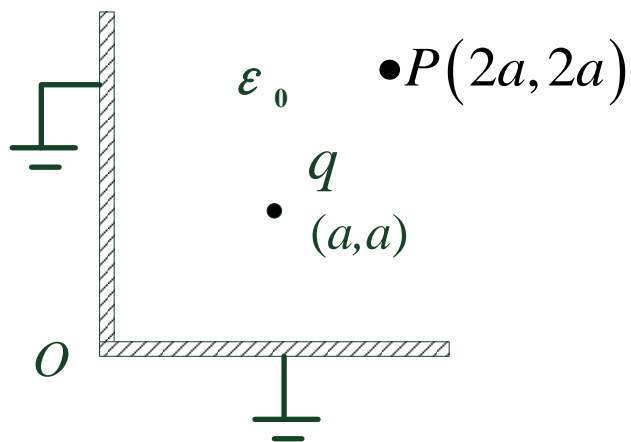


2. 静态电磁场 静电场

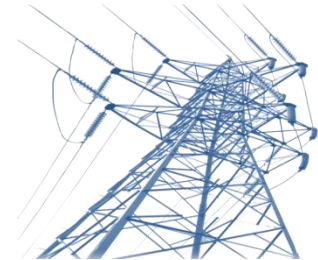


2.6.1 点电荷与无限大接地导电平面

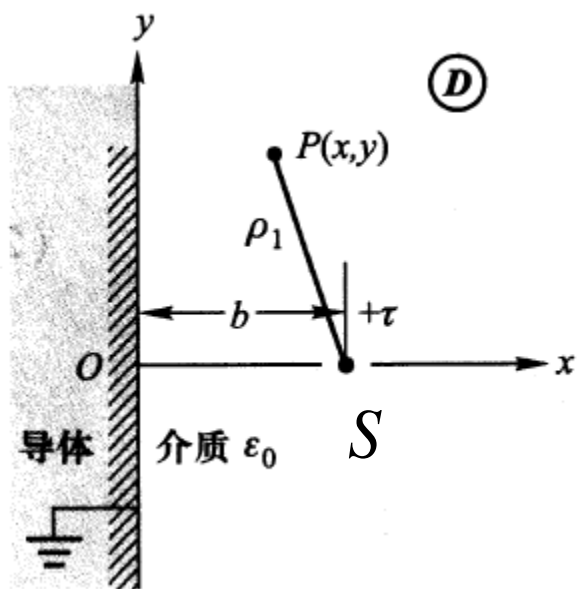
思考题：如图所示，求 $P(2a, 2a)$ 点处电位



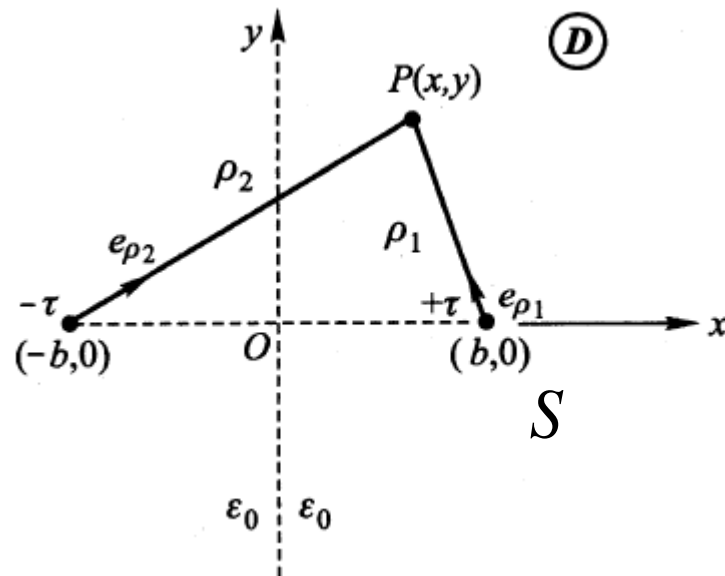
2. 静态电磁场 静电场



2.6.2 电轴与无限大接地导电平面



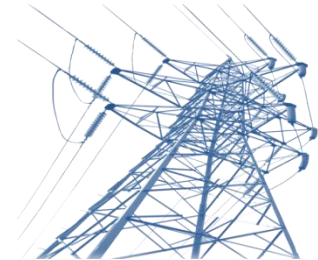
镜像法



$$\text{BVP: } \begin{cases} \nabla^2 \varphi = 0 & (x > 0 \text{ Exp } S) \\ \varphi|_{x=0} = 0 \end{cases}$$

$$\text{BVP: } \begin{cases} \nabla^2 \varphi = 0 & (x > 0 \text{ Exp } S) \\ \varphi|_{x=0} = ?? \end{cases}$$

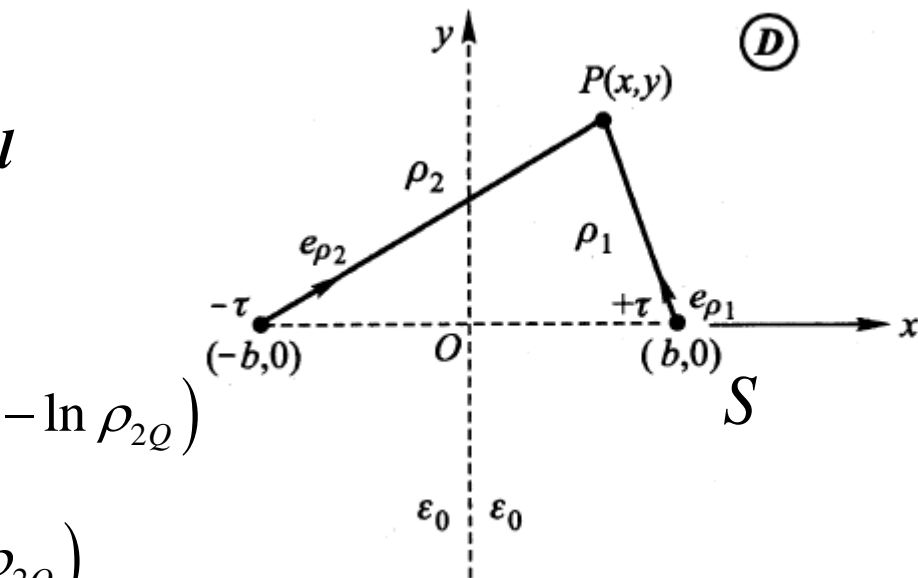
2. 静态电磁场 静电场



2.6.2 电轴与无限大接地导电平面

任意点电位: $\varphi_P = \int_P^Q \mathbf{E}_1 \cdot d\mathbf{l} + \int_P^Q \mathbf{E}_2 \cdot d\mathbf{l}$

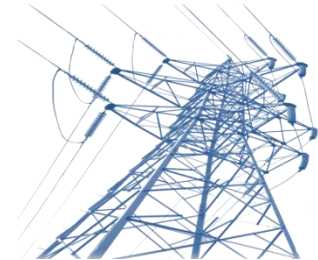
$$\begin{aligned}\varphi_P &= \int_{\rho_1}^{\rho_{1Q}} \frac{\tau}{2\pi\epsilon_0\rho} d\rho + \int_{\rho_2}^{\rho_{2Q}} \frac{-\tau}{2\pi\epsilon_0\rho} d\rho \\ &= \frac{\tau}{2\pi\epsilon_0} (\ln \rho_{1Q} - \ln \rho_1) + \frac{\tau}{2\pi\epsilon_0} (\ln \rho_2 - \ln \rho_{2Q}) \\ &= \frac{\tau}{2\pi\epsilon_0} \ln(\rho_2 / \rho_1) + \frac{\tau}{2\pi\epsilon_0} \ln(\rho_{1Q} / \rho_{2Q})\end{aligned}$$



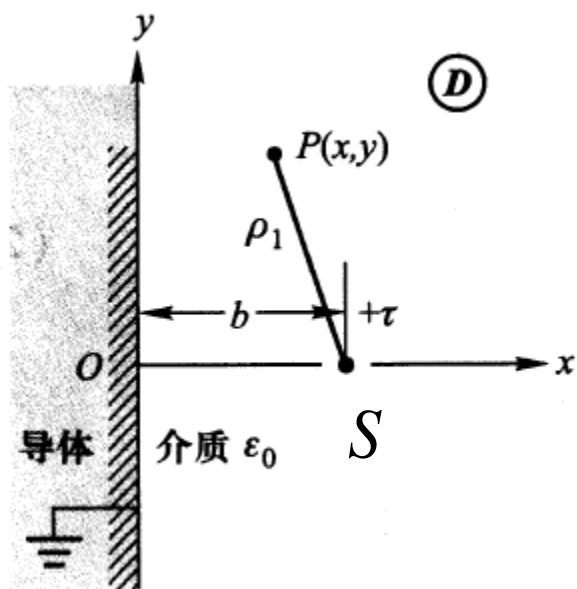
$\varphi|_{x=0} = \frac{\tau}{2\pi\epsilon_0} \ln(\rho_{1Q} / \rho_{2Q})$ 参考点的选取对结果影响, Q 点选在哪里?

如果参考点 Q 选在 $x=0$ 上, 则有 $\rho_{1Q} / \rho_{2Q} \Rightarrow \varphi|_{x=0} = 0$

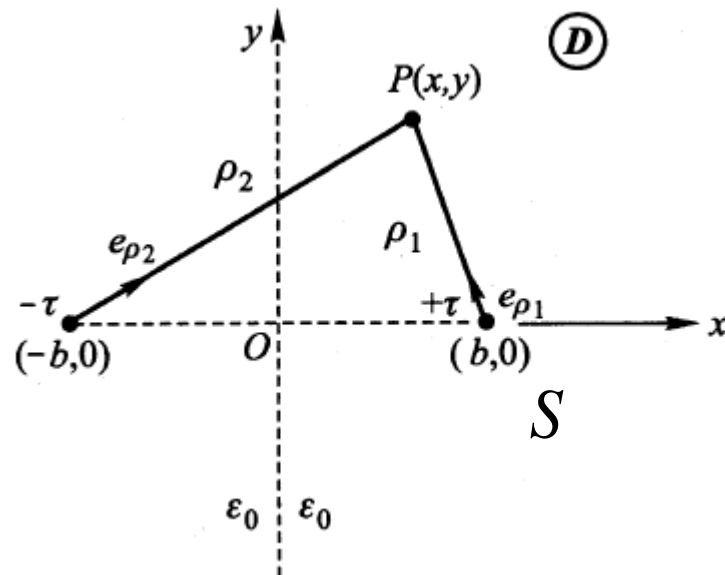
2. 静态电磁场 静电场



2.6.2 电轴与无限大接地导电平面



镜像法

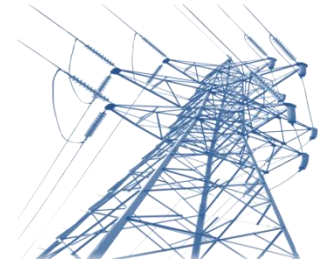


$$\text{BVP: } \begin{cases} \nabla^2 \varphi = 0 & (x > 0 \text{ Exp } S) \\ \varphi|_{x=0} = 0 \end{cases}$$

$$\text{BVP: } \begin{cases} \nabla^2 \varphi = 0 & (x > 0 \text{ Exp } S) \\ \varphi|_{x=0} = 0 \end{cases}$$

参考点选在y轴上

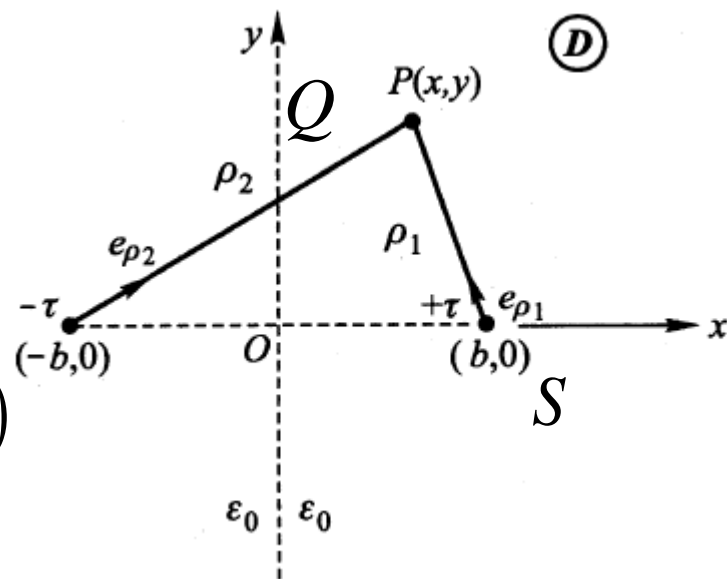
2. 静态电磁场 静电场



2.6.2 电轴与无限大接地导电平面

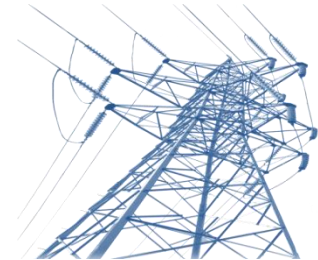
任意点电位: $\varphi_P = \int_P^Q \mathbf{E}_1 \cdot d\mathbf{l} + \int_P^Q \mathbf{E}_2 \cdot d\mathbf{l}$

$$\begin{aligned} \varphi_P &= \int_{\rho_1}^{\rho_{1Q}} \frac{\tau}{2\pi\epsilon_0\rho} d\rho + \int_{\rho_2}^{\rho_{2Q}} \frac{-\tau}{2\pi\epsilon_0\rho} d\rho \\ &= \frac{\tau}{2\pi\epsilon_0} (\ln \rho_{1Q} - \ln \rho_1) + \frac{\tau}{2\pi\epsilon_0} (\ln \rho_2 - \ln \rho_{2Q}) \\ &= \frac{\tau}{2\pi\epsilon_0} \ln(\rho_2 / \rho_1) + \frac{\tau}{2\pi\epsilon_0} \ln(\rho_{1Q} / \rho_{2Q}) \\ &= \frac{\tau}{2\pi\epsilon_0} \ln(\rho_2 / \rho_1) = \frac{\tau}{2\pi\epsilon_0} \ln \left[\frac{(x+b)^2 + y^2}{(x-b)^2 + y^2} \right]^{1/2} \end{aligned}$$



参考点选在y轴上

2. 静态电磁场 静电场

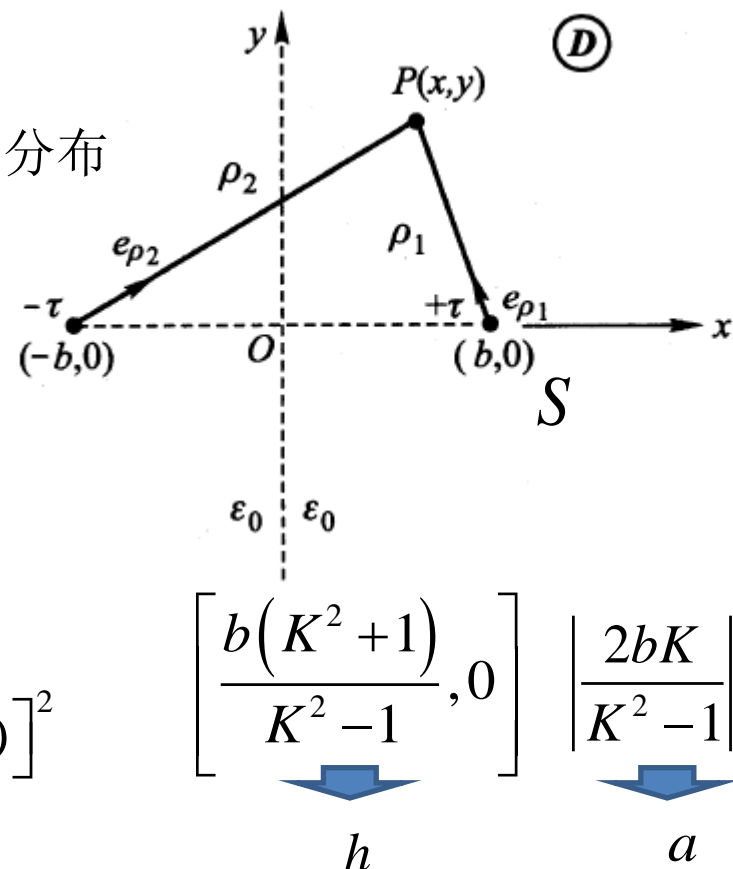


2.6.2 电轴与无限大接地导电平面

假设有两电轴系统，我们来研究下其空间场的分布

等位线： $\varphi = C$

$$\varphi = \frac{\tau}{2\pi\epsilon_0} \ln\left(\frac{\rho_2}{\rho_1}\right) = \frac{\tau}{2\pi\epsilon_0} \ln\left[\frac{(x+b)^2 + y^2}{(x-b)^2 + y^2}\right]^{1/2} = C$$



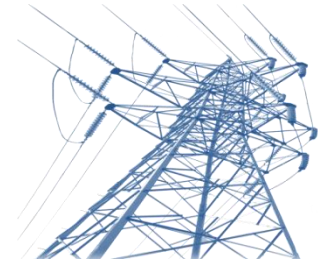
$$\frac{\rho_2^2}{\rho_1^2} = \frac{(x+b)^2 + y^2}{(x-b)^2 + y^2} = K^2$$

$$\left[x - b(K^2 + 1)/(K^2 - 1)\right]^2 + y^2 = \left[2bK/(K^2 - 1)\right]^2$$

$$\left[x - h\right]^2 + y^2 = a^2 \quad \text{其中有} \quad h^2 = a^2 + b^2$$

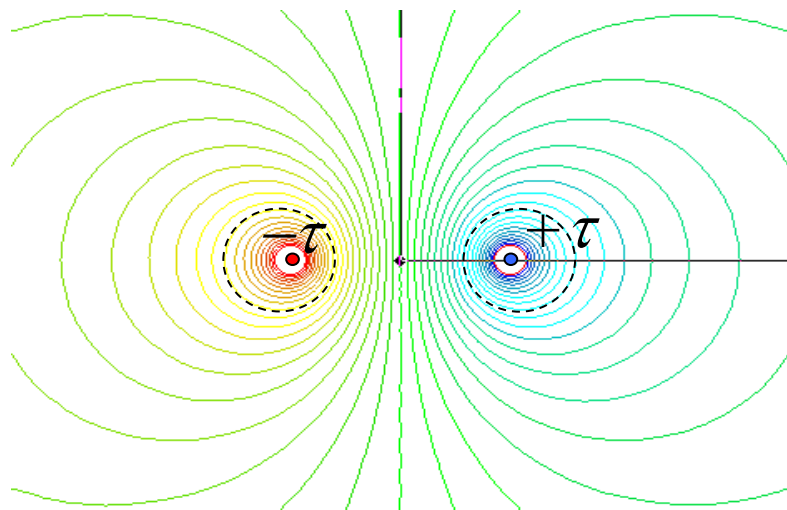
由此可得两电轴系统的等位线如下

2. 静态电磁场 静电场



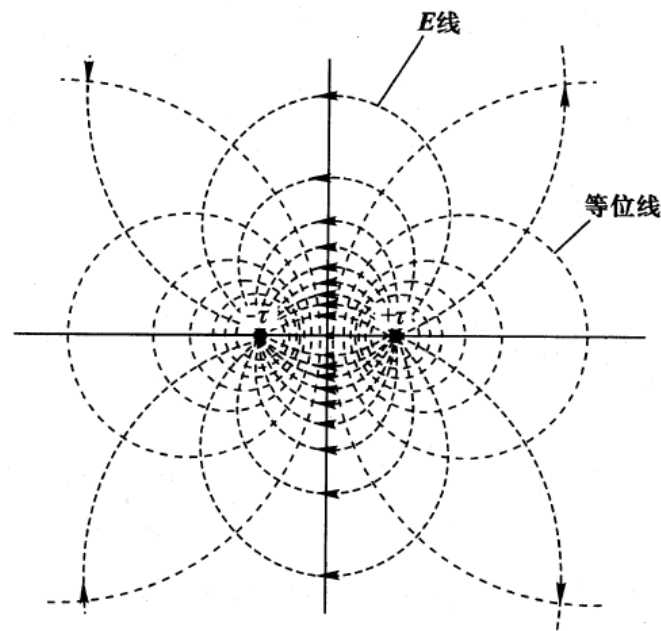
2.6.2 电轴与无限大接地导电平面

$$h = \frac{b(K^2 + 1)}{K^2 - 1} < 0 \quad \text{左侧等位线}$$

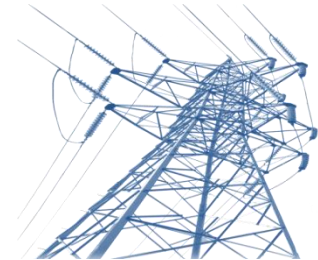


两电轴系统等位线

$$h = \frac{b(K^2 + 1)}{K^2 - 1} > 0 \quad \text{右侧等位线}$$

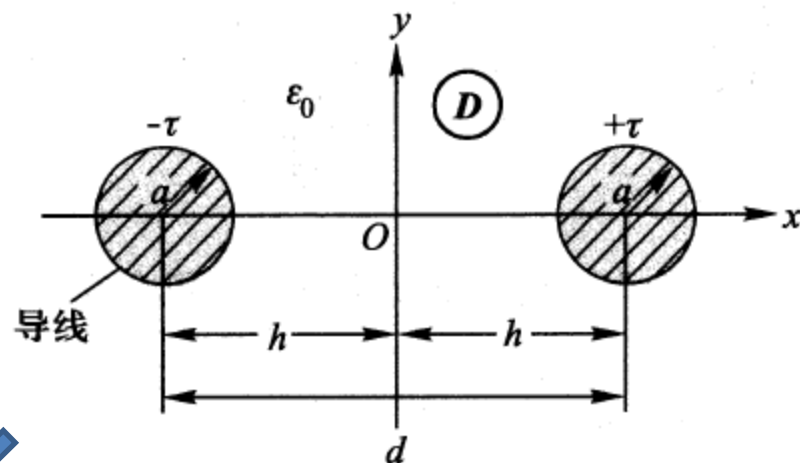
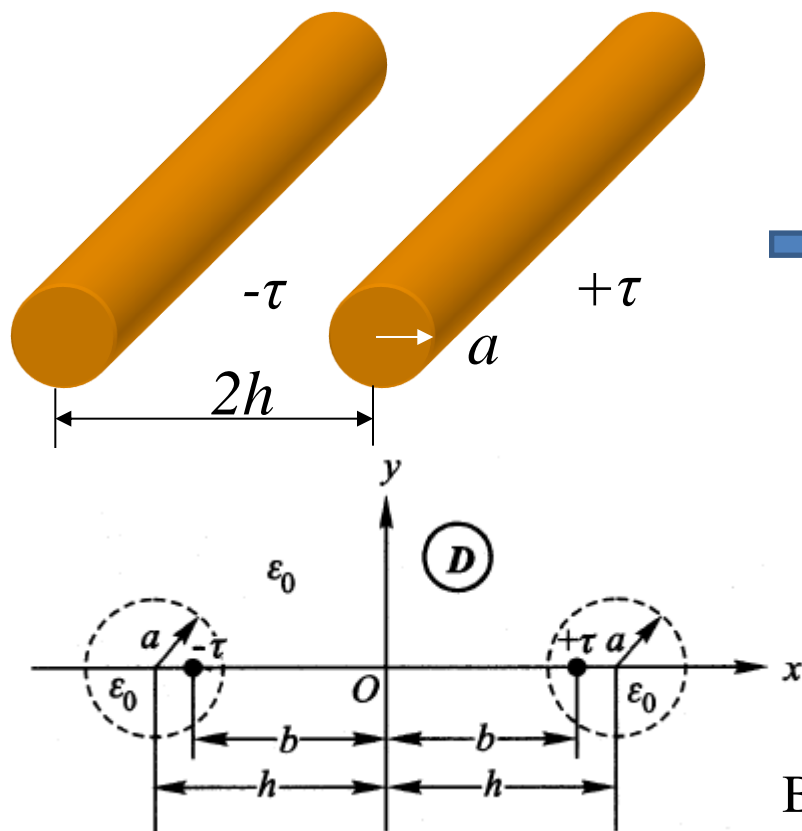


2. 静态电磁场 静电场



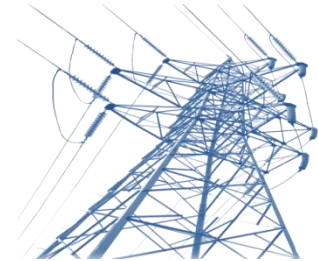
2.6.3 电轴法

假设有两个同半径，带等量异号电荷的长直圆柱导体，研究其形成的空间电场，



$$\text{BVP: } \begin{cases} \nabla^2 \varphi = 0 & [(x \pm h)^2 + y^2 > a^2] \\ \varphi|_S = c & [(x \pm h)^2 + y^2 = a^2] \end{cases}$$

$$\text{BVP: } \begin{cases} \nabla^2 \varphi = 0 & [(x \pm h)^2 + y^2 > a^2] \\ \varphi|_S = c' & [(x \pm h)^2 + y^2 = a^2] \end{cases}$$



2. 静态电磁场 静电场

2.6.3 电轴法

假设两个问题有不同的解，分别为位函数 φ_1 、 φ_2 ，

由格林公式，
$$\int_V [\varphi \nabla^2 \psi + \nabla \varphi \cdot \nabla \psi] dV = \oint_S \varphi \frac{\partial \psi}{\partial n} dS$$

令 $\psi = \varphi = \varphi_d$
$$\int_V (\nabla \varphi_d)^2 dV = \oint_S \varphi_d \frac{\partial \varphi_d}{\partial n} dS \quad \text{且} \quad \varphi_d|_S = c - c' = c''$$

$$\Rightarrow \int_V (\nabla \varphi_d)^2 dV = 0 \quad \Rightarrow \quad \nabla \varphi_d = 0$$

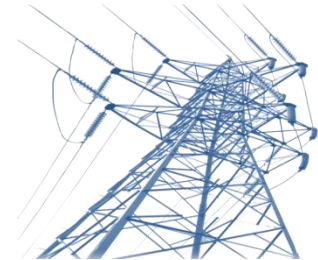
对于场 φ_d ，在场区域内必存在某一参考点，有 $\varphi_d = 0$

又由于场域内 $\nabla \varphi_d = 0$

故其他任意一点处必有 $\varphi_d = 0 \quad \Rightarrow \quad \varphi_d|_S = c - c' = c'' = 0$

得证。

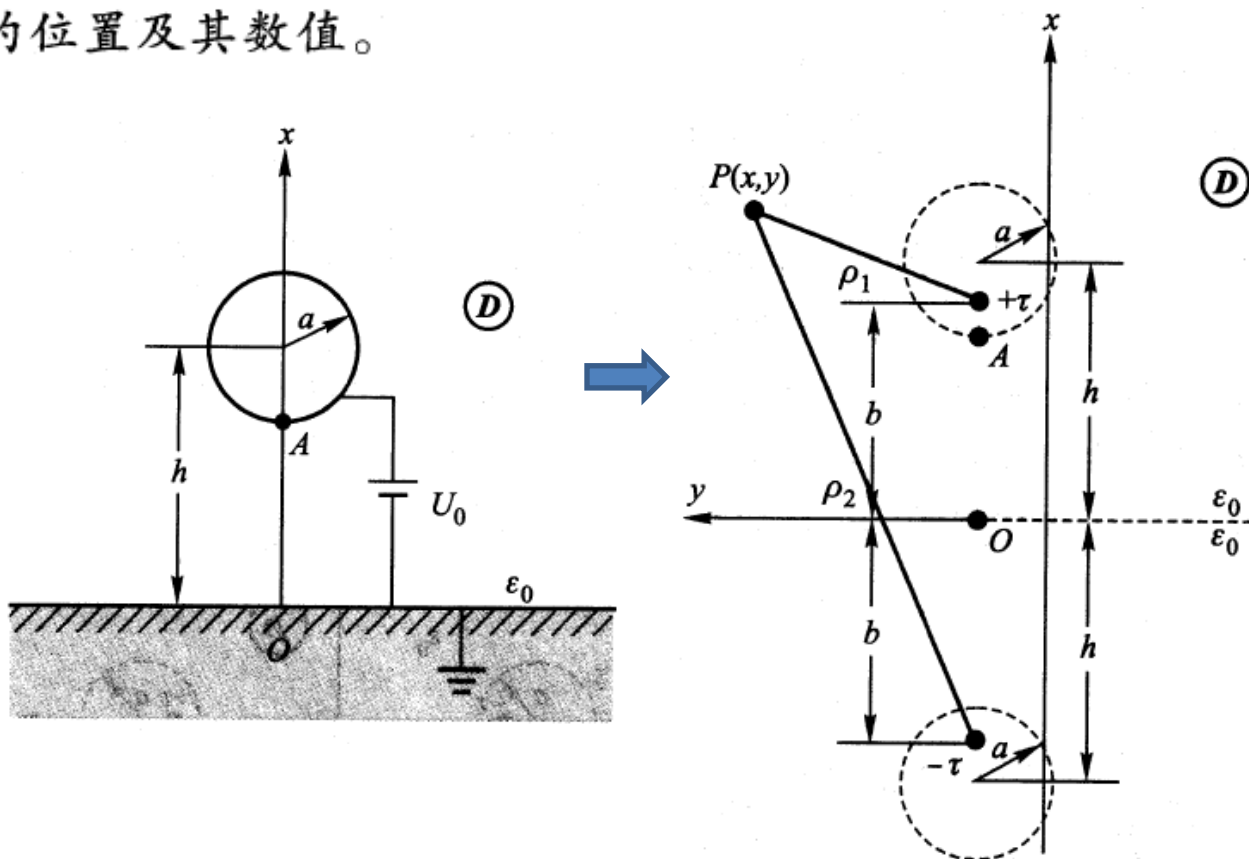
2. 静态电磁场 静电场



例2-15 半径为 a 的传输线平行于地面，假设高度为 h ，对地电位差 U_0 ，求：

- (1) 大地上方传输线的电场分布(电位)；
- (2) 系统中最大场强的位置及其数值。

分析：应用镜像法，首先给出传输线对地的镜像导线，再应用电轴法，确定等效电轴的位置，设电荷线密度为 τ ，大地上方任意点处电位为：



2. 静态电磁场 静电场

解:

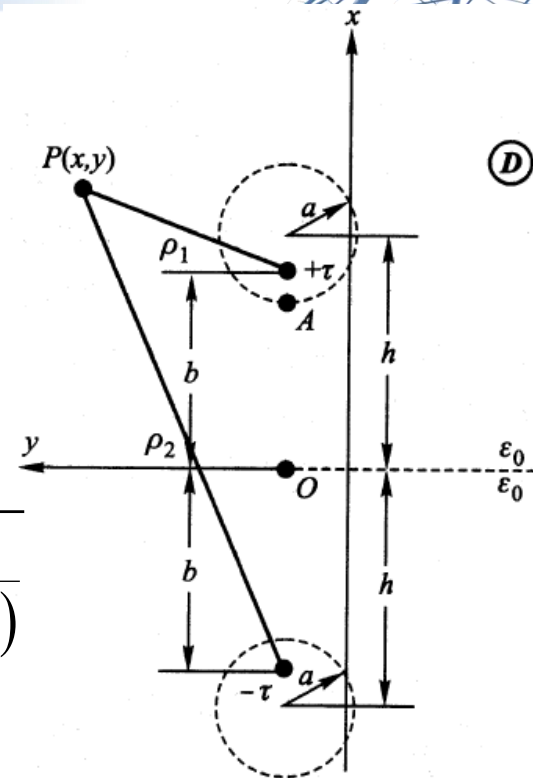
$$(1) \quad \varphi = \frac{\tau}{2\pi\epsilon_0} \ln \left(\frac{\rho_2}{\rho_1} \right) = \frac{\tau}{2\pi\epsilon_0} \ln \left[\frac{(x+b)^2 + y^2}{(x-b)^2 + y^2} \right]^{1/2}$$

$$\Rightarrow \varphi_A|_{x=h-a, y=0} = U_0 = \frac{\tau}{2\pi\epsilon_0} \ln \left[\frac{(h-a+b)^2}{(h-a-b)^2} \right]^{1/2}$$

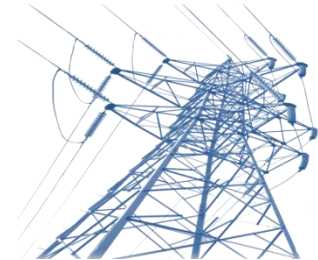
$$\varphi_A|_{x=h-a, y=0} = U_0 = \frac{\tau}{2\pi\epsilon_0} \ln \frac{h-a+b}{b-(h-a)} \Rightarrow \tau = \frac{2\pi\epsilon_0 U_0}{\ln \frac{h-a+b}{b-(h-a)}}$$

$$\Rightarrow \varphi = \frac{U_0}{\ln \frac{h-a+b}{b-(h-a)}} \ln \left[\frac{(x+b)^2 + y^2}{(x-b)^2 + y^2} \right]^{1/2}$$

$$(2) \quad E_{\max} = |\mathbf{E}_A| = \left| \frac{-\partial\varphi}{\partial n} \mathbf{e}_n \right|_{x=h-a, y=0} = \left| \frac{\partial\varphi}{\partial x} \right|_{x=h-a, y=0} = \frac{2U_0 b}{\left[b^2 - (h-a)^2 \right] \ln \frac{h-a+b}{b-(h-a)}}$$

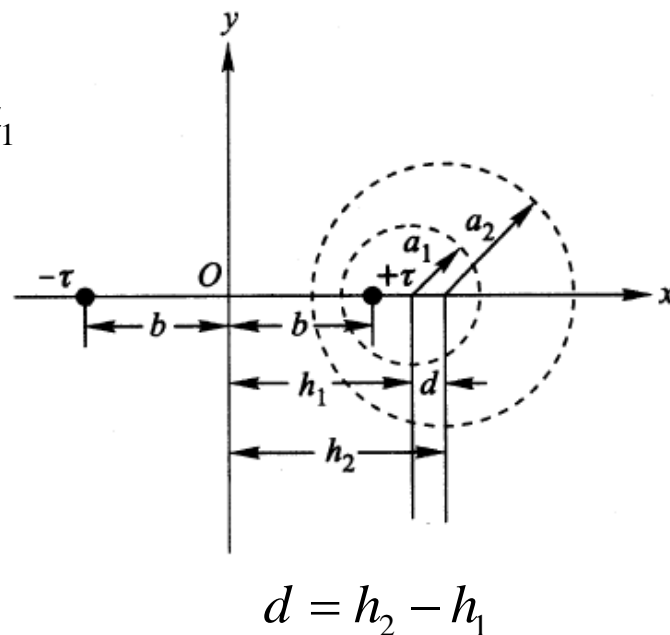
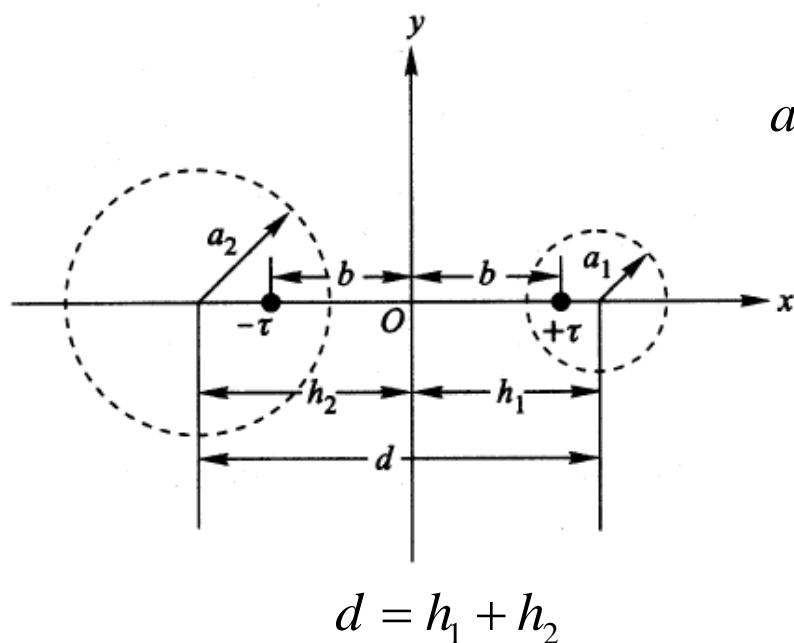


2. 静态电磁场 静电场



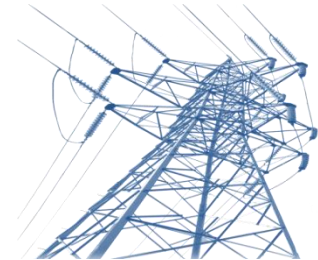
2.6.3 电轴法

假设有两个不同半径 a_1 , a_2 , 带等量异号电荷的长直圆柱导体, 其空间电场,

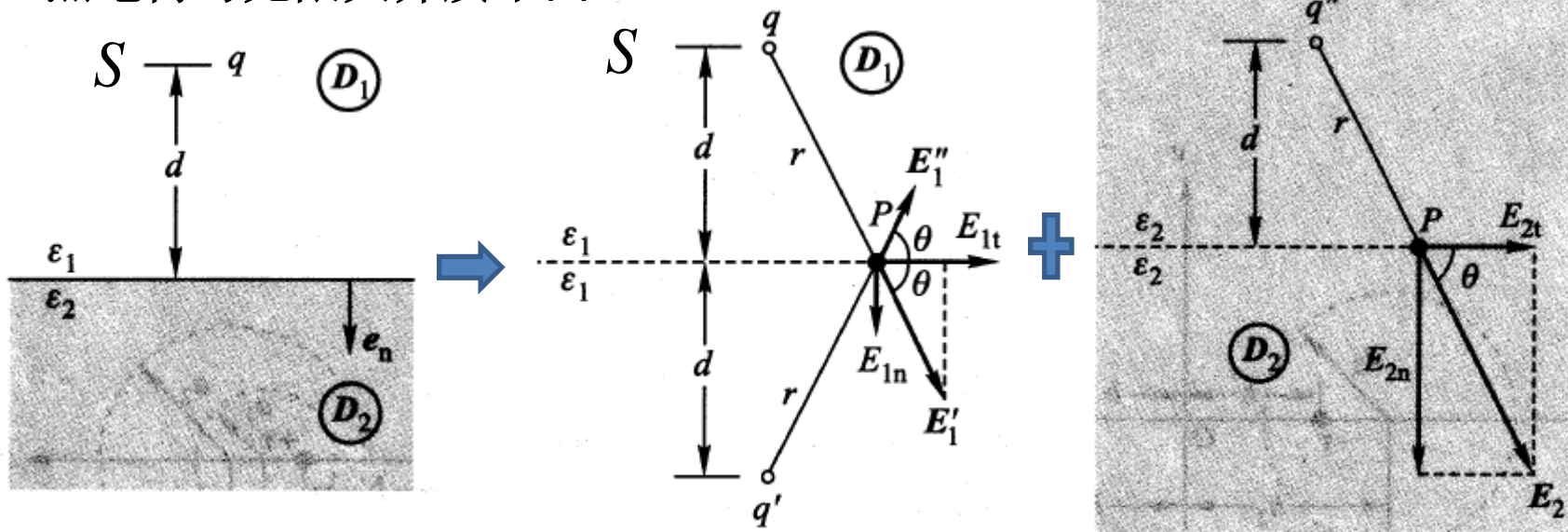


$$b^2 = h_1^2 - a_1^2 = h_2^2 - a_2^2 \quad \longrightarrow \quad h_2 = \frac{d^2 + a_2^2 - a_1^2}{2d} \quad h_1 = \left| \frac{d^2 + a_1^2 - a_2^2}{2d} \right|$$

2. 静态电磁场 静电场



2.6.4 点电荷与无限大介质平面

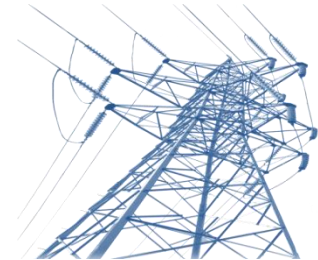


$$\text{BVP:} \begin{cases} \nabla^2 \varphi_1 = 0 \quad (z > 0 \text{ Exp } S) \\ \nabla^2 \varphi_2 = 0 \quad (z < 0) \\ \varphi_1|_S = \varphi_2|_S \quad (E_{1t} = E_{2t}) \\ \varepsilon_1 \frac{\partial \varphi_1}{\partial n} = \varepsilon_2 \frac{\partial \varphi_2}{\partial n} \quad (D_{1n} = D_{2n}) \end{cases}$$

- a. 求解区域和源不变;
- b. 空间介质均匀化;
- c. 镜像电荷 (求解区外)

$$\text{BVP:} \begin{cases} \nabla^2 \varphi_1 = 0 \quad (z > 0 \text{ Exp } S) \\ \nabla^2 \varphi_2 = 0 \quad (z < 0) \\ E_{1t} = E_{2t} \\ D_{1n} = D_{2n} \end{cases}$$

2. 静态电磁场 静电场



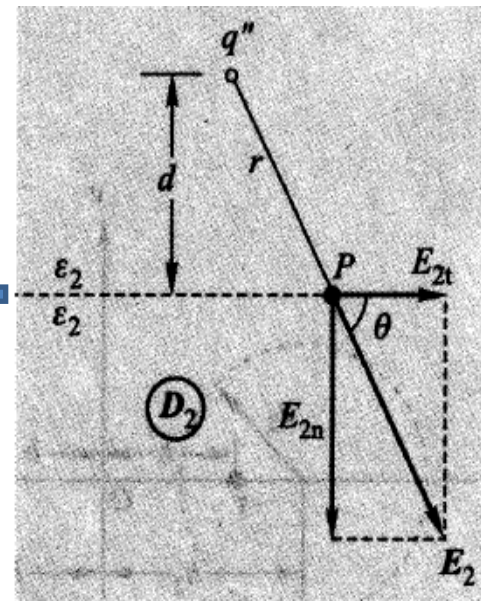
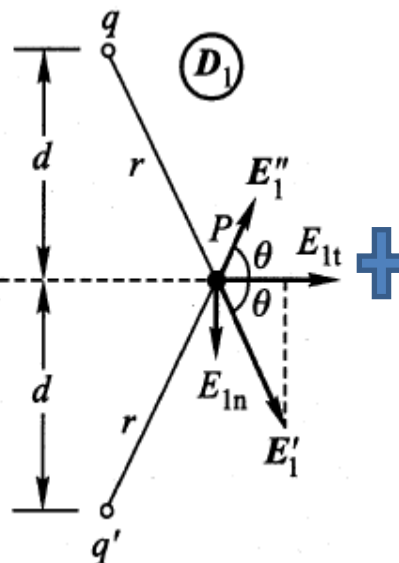
2.6.4 点电荷与无限大介质平面

由 $\begin{cases} E_{1t} = E_{2t} \\ D_{1n} = D_{2n} \end{cases} \Rightarrow$

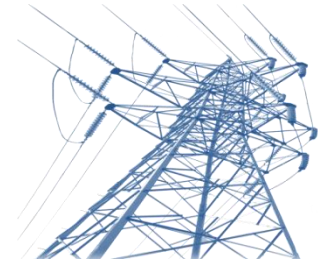
$$\begin{cases} \frac{q}{4\pi\epsilon_1 r^2} \cos\theta + \frac{q'}{4\pi\epsilon_1 r^2} \cos\theta = \frac{q''}{4\pi\epsilon_2 r^2} \cos\theta \\ \frac{q}{4\pi r^2} \sin\theta - \frac{q'}{4\pi r^2} \sin\theta = \frac{q''}{4\pi r^2} \sin\theta \end{cases}$$

$$\Rightarrow \begin{cases} \frac{q}{\epsilon_1} + \frac{q'}{\epsilon_1} = \frac{q''}{\epsilon_2} \\ q - q' = q'' \end{cases} \Rightarrow \begin{cases} q' = \frac{\epsilon_1 - \epsilon_2}{\epsilon_1 + \epsilon_2} q \\ q'' = \frac{2\epsilon_2}{\epsilon_1 + \epsilon_2} q \end{cases}$$

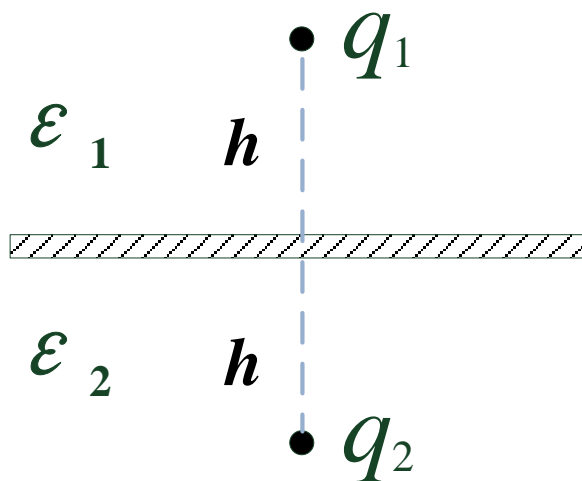
q' 的极性取决于 ϵ_1 和 ϵ_2 的大小, q'' 的极性取决与 q 相同。



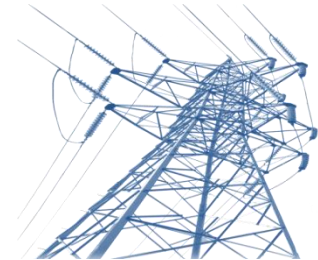
2. 静态电磁场 静电场



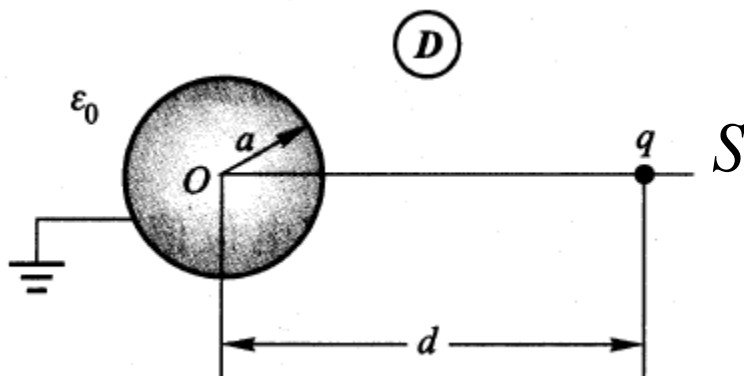
思考题：



2. 静态电磁场 静电场



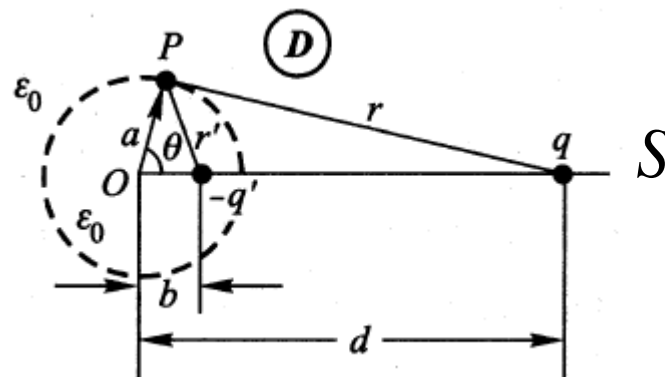
2.6.5 点电荷与导体球 (自学)



BVP:
$$\begin{cases} \nabla^2 \varphi = 0 & \text{球外除} S \text{点} \\ \varphi|_S = 0 & \text{球面} \end{cases}$$

在球面上上任一点 P , 求其电位,

$$\Rightarrow \frac{q^2}{q'^2} = \frac{r^2}{r'^2} = \frac{a^2 + d^2 - 2ad \cos \theta}{a^2 + b^2 - 2ab \cos \theta} \Rightarrow [q^2(a^2 + b^2) - q'^2(a^2 + d^2)] + 2a(q'^2 d - q^2 b) \cos \theta = 0$$

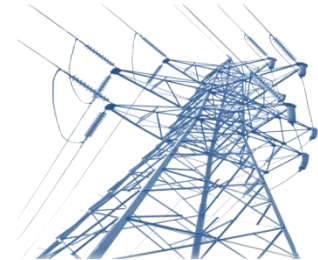


BVP:
$$\begin{cases} \nabla^2 \varphi = 0 & \text{球外除} S \text{点} \\ \varphi|_S = 0 & \text{球面} \end{cases} \quad ?$$

$$\varphi_P = \frac{q}{4\pi\epsilon_0 r} - \frac{q'}{4\pi\epsilon_0 r'} = 0$$



2. 静态电磁场 静电场



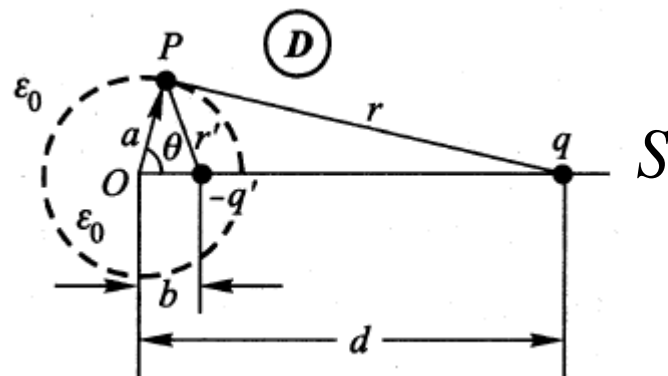
2.6.5 点电荷与导体球（自学）

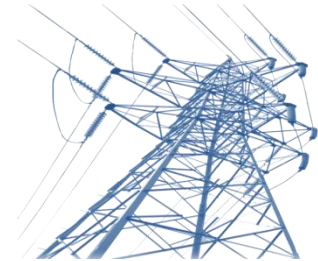
上式在球面上恒成立，则必有

$$\left. \begin{aligned} q^2(a^2 + b^2) - q'^2(a^2 + d^2) &= 0 \\ q'^2 d - q^2 b &= 0 \end{aligned} \right\}$$

由此可解得，

$$\begin{cases} a^2 = bd \\ q' = \sqrt{\frac{b}{d}} q = \frac{a}{d} q \end{cases}$$





2. 静态电磁场 静电场

2.8 电容、部分电容

2.8.1 两导体电容系统

电容： $C = \frac{q}{U}$ 反映两个导体间的电耦合关系

例如：

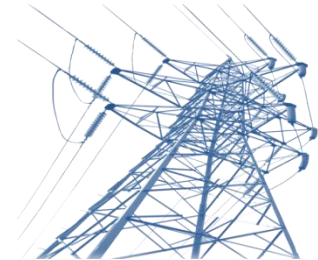
a. 平行板电容器 $C = \frac{q}{U} = \sigma S / Ed = \epsilon ES / Ed = \epsilon S / d$

b. 孤立导体球 $C = \frac{q}{U} = q / (\varphi_a - \varphi_\infty) = q / (q / 4\pi\epsilon a) = 4\pi\epsilon a$

c. 两传输线（等半径平行圆柱导体）单位长度电容

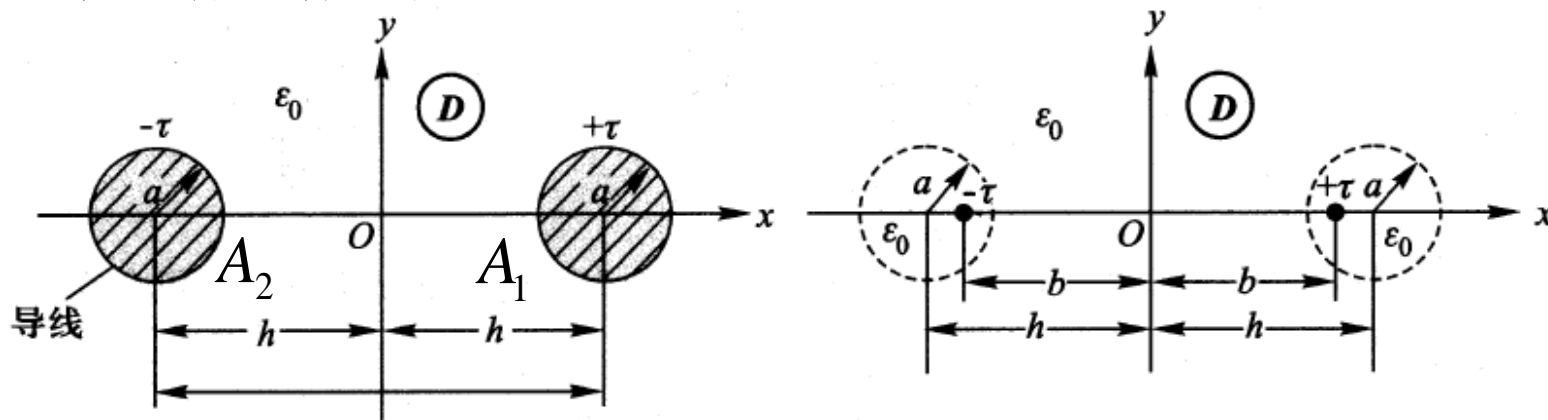
重要结论：电容只与导体的几何形状，尺寸，位置有关，与其带电量、电位无关

2. 静态电磁场 静电场



2.8.1 两导体电容系统

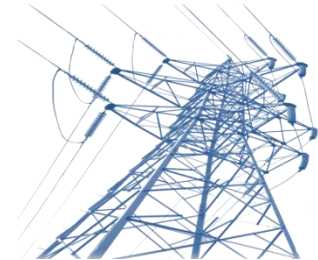
$$\varphi = \frac{\tau}{2\pi\epsilon_0} \ln\left(\frac{\rho_2}{\rho_1}\right) = \frac{\tau}{2\pi\epsilon_0} \ln\left[\frac{(x+b)^2 + y^2}{(x-b)^2 + y^2}\right]^{1/2}$$



$$\varphi_{A_1} \Big|_{x=h-a, y=0} = \frac{\tau}{2\pi\epsilon_0} \ln \frac{b+h-a}{b-(h-a)} \quad \varphi_{A_2} \Big|_{x=-(h-a), y=0} = \frac{\tau}{2\pi\epsilon_0} \ln \frac{b-(h-a)}{b+h-a}$$

$$\Rightarrow C = \frac{\tau}{U_{A_1 A_2}} = \frac{\tau}{\varphi_{A_1} - \varphi_{A_2}} = \frac{\pi\epsilon_0}{\ln \frac{b+h-a}{b-(h-a)}}$$

2. 静态电磁场 静电场



2.8.2 部分电容

分析： 各导体电位不仅与自身电荷有关，也与其他导体电荷相关；选择0号导体为参考导体，即 $\varphi_0 = 0$

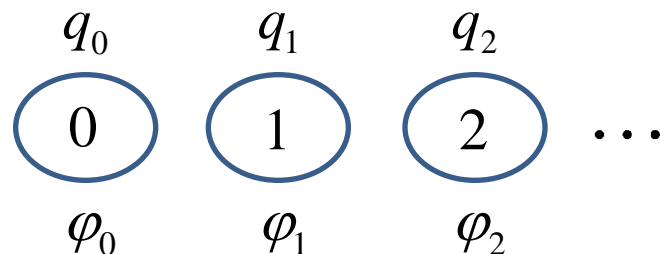
$$\varphi_1 = \alpha_{11}q_1 + \alpha_{12}q_2 + \cdots + \alpha_{1k}q_k + \cdots + \alpha_{1n}q_n$$

$$\vdots$$

$$\varphi_k = \alpha_{k1}q_1 + \alpha_{k2}q_2 + \cdots + \alpha_{kk}q_k + \cdots + \alpha_{kn}q_n$$

$$\vdots$$

$$\varphi_n = \alpha_{n1}q_1 + \alpha_{n2}q_2 + \cdots + \alpha_{nk}q_k + \cdots + \alpha_{nn}q_n$$



$N+1$ 导体系统



$$\{\varphi\} = [\alpha] \{q\}$$



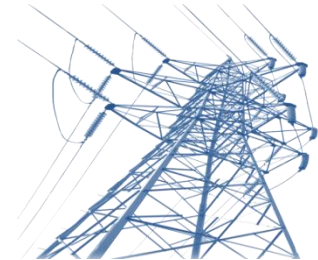
$$\alpha_{ij} = \frac{\varphi_i}{q_j} \quad \left| \quad q_j \neq 0, \text{ 其余导体 } q_i \text{ 为零} \right.$$

α_{ii}

自有电位系数

α_{ij}

互有电位系数($i \neq j$)

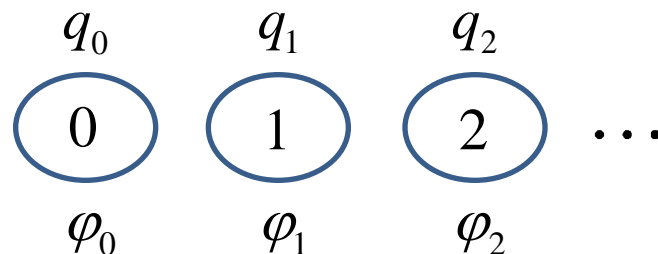


2. 静态电磁场 静电场

2.8.2 部分电容

分析： 工程中电位比电荷量易知，上式可改写为，

$$\{q\} = [\alpha]^{-1} \{\varphi\} = [\beta] \{\varphi\}$$



$N+1$ 导体系统

互有感应系数($i \neq j$)

$$\beta_{ij} = \frac{A_{ji}}{\Delta} = \frac{q_i}{\varphi_j} \bigg|_{\varphi_j \neq 0, \varphi_i = 0 (i=1,2,\dots,i \neq j)}$$

β_{ii} 自有感应系数 A_{ji} 代数余子式 Δ α 行列式

$$q_1 = \beta_{11}\varphi_1 + \beta_{12}\varphi_2 + \dots + \beta_{1k}\varphi_k + \dots + \beta_{1n}\varphi_n$$

\vdots

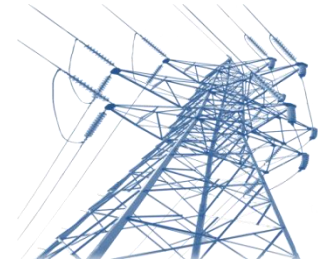
$$q_k = \beta_{k1}\varphi_1 + \beta_{k2}\varphi_2 + \dots + \beta_{kk}\varphi_k + \dots + \beta_{kn}\varphi_n$$

\vdots

$$q_n = \beta_{n1}\varphi_1 + \beta_{n2}\varphi_2 + \dots + \beta_{nk}\varphi_k + \dots + \beta_{nn}\varphi_n$$

由于电容与电位差有关，且工程中电位差获得更加方便，故

2. 静态电磁场 静电场



2.8.2 部分电容

$$\begin{aligned} q_1 &= \beta_{11}\varphi_1 + \beta_{12}\varphi_2 + \dots + \beta_{1n}\varphi_n \\ &= (\beta_{11} + \beta_{12} + \dots + \beta_{1n})\varphi_1 + \beta_{12}(\varphi_2 - \varphi_1) + \dots + \beta_{1n}(\varphi_n - \varphi_1) \\ &= C_{10}(\varphi_1 - \varphi_0) + C_{12}(\varphi_1 - \varphi_2) + \dots + C_{1n}(\varphi_1 - \varphi_n) \end{aligned}$$

$$q_n = C_{n1}(\varphi_n - \varphi_1) + C_{n2}(\varphi_n - \varphi_2) + \dots + C_{n0}(\varphi_n - \varphi_0)$$

$$C_{i0} = \beta_{i1} + \beta_{i2} + \dots + \beta_{in} \quad \text{自有部分电容}$$

$$C_{ij} = -\beta_{ij} \quad (i \text{ 或 } j=1,2,\dots,n, i \neq j) \quad \text{互有部分电容} \quad C_{ij} = C_{ji} \quad \text{对称性}$$

重要结论：部分电容（电容）只与导体的几何形状，尺寸，位置有关，与其带电量、电位无关

2. 静态电磁场 静电场

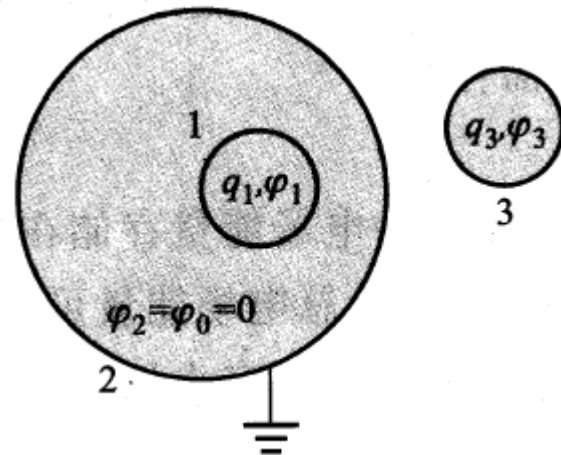


2.8.3 静电屏蔽

设导体1带电量为 q_1 ，置于接地的导体壳2中，邻近有导体 q_3 ，

试问：导体3对导体1有无电场的影响？

分析：研究导体间有无电场的影响，可以通过求部分电容的值来判断。



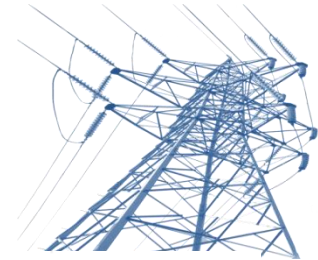
$$q_1 = C_{10}(\varphi_1 - \varphi_0) + C_{12}(\varphi_1 - \varphi_2) + C_{13}(\varphi_1 - \varphi_3)$$

$$q_2 = C_{21}(\varphi_2 - \varphi_1) + C_{20}(\varphi_2 - \varphi_0) + C_{23}(\varphi_2 - \varphi_3)$$

$$q_3 = C_{31}(\varphi_3 - \varphi_1) + C_{32}(\varphi_3 - \varphi_2) + C_{30}(\varphi_3 - \varphi_0)$$

由 $\varphi_2 = \varphi_0 = 0$ ➡

2. 静态电磁场 静电场

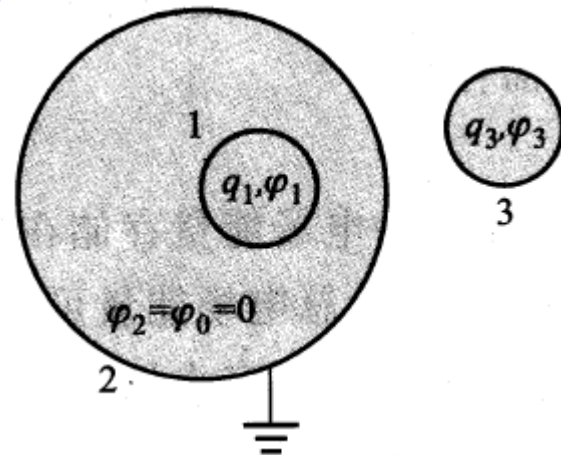


2.8.3 静电屏蔽

$$q_1 = C_{10}\varphi_1 + C_{12}\varphi_1 + C_{13}(\varphi_1 - \varphi_3)$$

$$q_2 = C_{21}(-\varphi_1) + C_{23}(-\varphi_3)$$

$$q_3 = C_{31}(\varphi_3 - \varphi_1) + C_{32}\varphi_3 + C_{30}\varphi_3$$



上式在任何情况下均成立，则可选一特殊情况分析

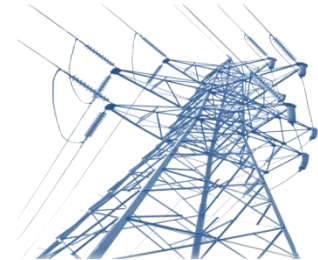
令 $q_1 = 0$ 由于导体2接地且为等电位，

➡ $\varphi_2 = \varphi_1 = 0$ (导体内 $E=0$)

则由(1)式可知 ➡ $C_{13}\varphi_3 = 0$

由于不一定为零， ➡ $C_{13} = 0 = C_{31}$ ➡ 导体1和导体3无电耦合

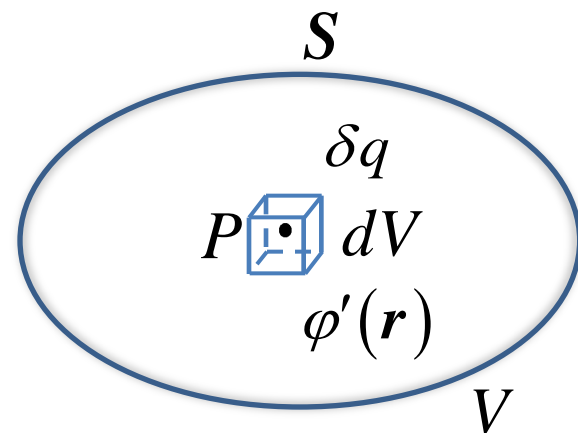
2. 静态电磁场 静电场



2.9 静电场能量

2.9.1 带电系统的能量

假设：带电系统的建立有一个过程，该过程的某个瞬时时刻，P点处的电位 $\varphi'(\mathbf{r})$ ，对该点引入增量电荷 δq （由外力从无穷远引入到P点），则外力必然克服电场力作功，并转化为系统能量的增量，即二者相等，



$$\delta W = \int_{\infty}^P -\mathbf{E} \cdot d\mathbf{l} = -\delta q [\varphi_{\infty} - \varphi'(\mathbf{r})] = \varphi'(\mathbf{r}) \delta q = \varphi'(\mathbf{r}) \delta [\rho'(\mathbf{r}) dV]$$

静电场是保守力场，能量仅取决于电荷最终分布状态，与中间过程无关。
故假定：任意瞬间所有带电体电荷密度都按照同一比例系数 m ($0 \leq m \leq 1$) 增长，

$$\rho' : 0 \rightarrow \rho' = m\rho(\mathbf{r}) \rightarrow \rho(\mathbf{r})$$

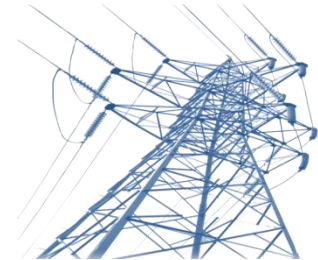
$$\sigma' : 0 \rightarrow \sigma' = m\sigma(\mathbf{r}) \rightarrow \sigma(\mathbf{r})$$



$$\delta \rho'(\mathbf{r}) = \delta [m\rho(\mathbf{r})] = \rho(\mathbf{r}) \delta m$$

$$\delta \sigma'(\mathbf{r}) = \delta [m\sigma(\mathbf{r})] = \sigma(\mathbf{r}) \delta m$$

2. 静态电磁场 静电场



2.9.1 带电系统的能量

电荷按照同一个比例增大，则电位也应该按照同一个比例增长，

$$\varphi'(\mathbf{r}) = m\varphi(\mathbf{r})$$

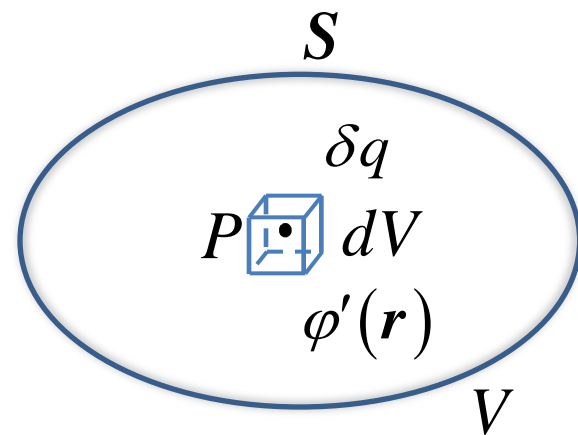
将上述电位和电荷密度代入到前面第一个式子

$$\delta W = \varphi'(\mathbf{r}) \delta[\rho'(\mathbf{r}) dV] = m\varphi(\mathbf{r}) \rho(\mathbf{r}) (\delta m) dV$$

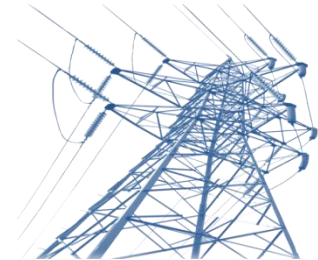
$$\Rightarrow W_e = \int_0^1 m \delta m \int_V \rho(\mathbf{r}) \varphi(\mathbf{r}) dV + \int_0^1 m \delta m \int_S \sigma(\mathbf{r}) \varphi(\mathbf{r}) dS$$

$$\text{只有导体系统+电介质: } W_e = \frac{1}{2} \varphi \int_S \sigma(\mathbf{r}) dS = \frac{1}{2} \varphi q$$

$$\text{对于多导体系统: } W_e = \sum_{k=1}^n \frac{1}{2} \varphi_k q_k$$



2. 静态电磁场 静电场



2.9.2 带电能量分布及其密度

由于场的存在，静电场具有能量。同场一样，能量也具有分布特征。

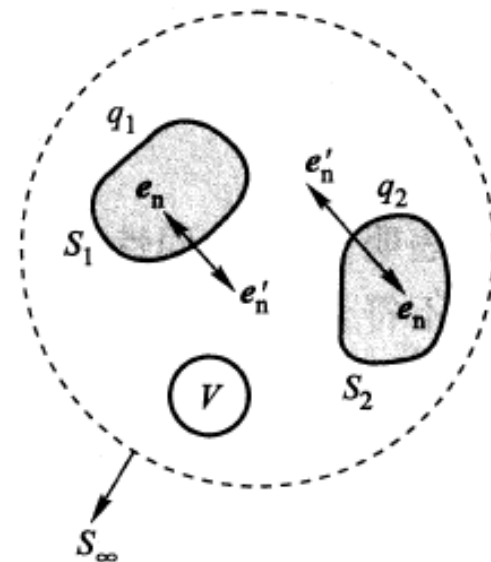
对于含有导体的静电系统： $W_e = \frac{1}{2} \int_S \sigma \varphi dS$

可推出， $W_e = \int_V \frac{1}{2} \mathbf{D} \cdot \mathbf{E} dV$

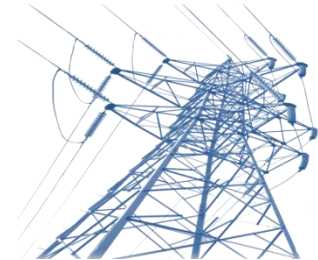
由此可定义静电场能量密度 $w_e = \frac{1}{2} \mathbf{D} \cdot \mathbf{E}$

当介质具有线性且各项同性的特性时，

$$\mathbf{D} = \epsilon \mathbf{E} \quad \Rightarrow \quad w_e = \frac{1}{2} \epsilon E^2 = \frac{D^2}{2\epsilon}$$



2. 静态电磁场 静电场



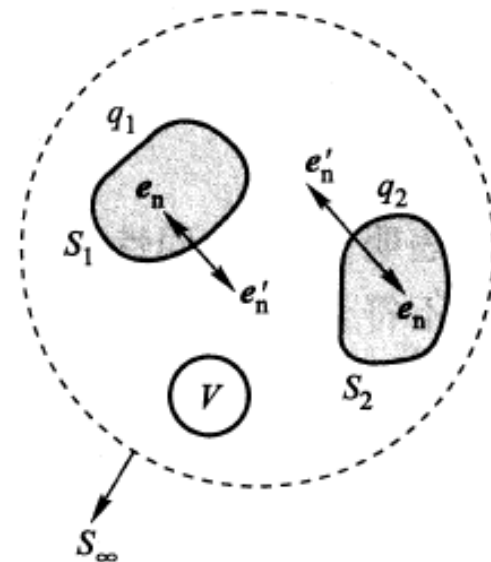
2.9.2 带电能量分布及其密度

总结：含导体的静电场能量，

$$W_e = \frac{1}{2} \int_{V'} \rho \phi dV + \frac{1}{2} \int_{S'} \sigma \phi dS = \frac{1}{2} \int_{V'} \rho \phi dV + \frac{1}{2} \phi q$$

或：

$$W_e = \int_V \frac{1}{2} \mathbf{D} \cdot \mathbf{E} dV$$

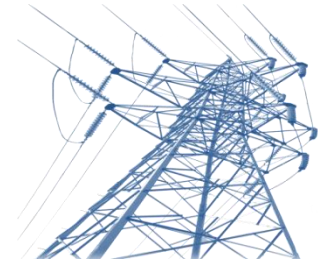


V' S' 电荷分布区域-源区
 V 场分布区域-场区



V' V 注意二者的关系

2. 静态电磁场 静电场

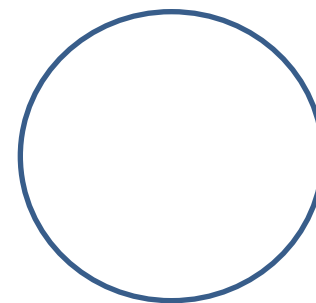


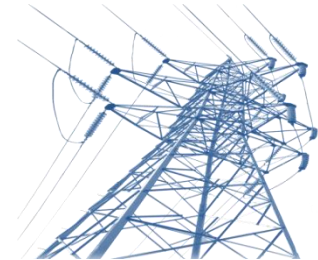
例2-21：.半径为 a ，带电量为 q 的孤立导体球系统的静电能量。（周围介质的介电常数为 ε ）

$$\text{解1: } W_e = \frac{1}{2} \int_{S'} \sigma \varphi dS = \frac{1}{2} \varphi q = \frac{1}{2} q \frac{q}{4\pi\varepsilon a} = \frac{q^2}{8\pi\varepsilon a}$$

$$\begin{aligned} \text{解2: } W_e &= \int_V \frac{1}{2} \mathbf{D} \cdot \mathbf{E} dV = \frac{1}{2\varepsilon} \int_V D^2 dV \\ &= \frac{1}{2\varepsilon} \int_a^\infty \left(\frac{q}{4\pi r^2} \right)^2 4\pi r^2 dr = \frac{q^2}{8\pi\varepsilon a} \end{aligned}$$

$$\begin{aligned} \text{解3: } W_e &= \frac{1}{2} \varphi q = \frac{1}{2} q (\varphi_a - \varphi_\infty) = \frac{1}{2} q U \\ &= \frac{1}{2} C U^2 = \frac{q^2}{2C} = \frac{q^2}{2(4\pi\varepsilon a)} = \frac{q^2}{8\pi\varepsilon a} \end{aligned}$$





2. 静态电磁场 静电场

2.10 电场力

电场力（库仑力）： $\mathbf{F} = \mathbf{E}q$ 点电荷受力

非点电荷的复杂带电体受力？ 虚位移法

广义坐标： 确定系统中带电体形状、尺寸、位置的独立几何量

广义力： 企图改变某一广义坐标的力，称对应于该广义坐标的
广义力。

广义坐标： 广义力： 乘积：

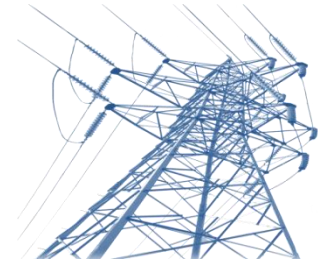
长度 L (m) F (N) $\mathbf{F} \cdot d\mathbf{l} = dW$ (N·m)

面积 S (m²) 表面张力 (N/m) $\mathbf{T} \cdot d\mathbf{S} = dW$ (N·m)

体积 V (m³) 压强 (N/m²) $P \cdot dV = dW$ (N·m)



2. 静态电磁场 静电场



2.10 电场力

功能转换关系：

($n+1$)多导体系统，其中一个导体发生位移 dg ，其余不动，此过程中

系统能量变化 dW_e

导体移动



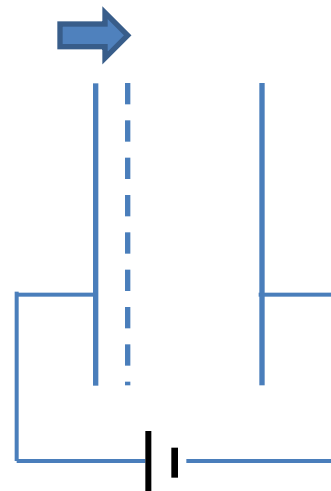
电场力做功 Fdg

需要分两种情况进行讨论：

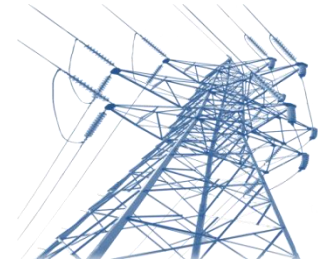
(1) 常电位系统

设导体与电源相连接，若导体（极板）移动，则有极板上电荷变化，源于电源提供能量

$$dW = \sum \varphi_k dq_k \quad (\delta W = \varphi'(\mathbf{r}) \delta q)$$



2. 静态电磁场 静电场



2.10 电场力

由能量守恒，电源提供的能量，供给电场力作功及电场能量的改变：

$$dW = dW_e + Fdg$$



$$\sum \varphi_k dq_k = dW_e + Fdg$$



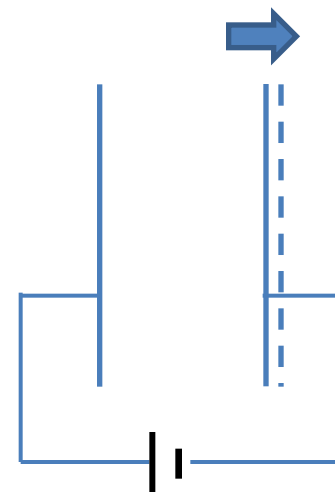
$$\sum \varphi_k dq_k = \frac{1}{2} \sum \varphi_k dq_k + Fdg$$



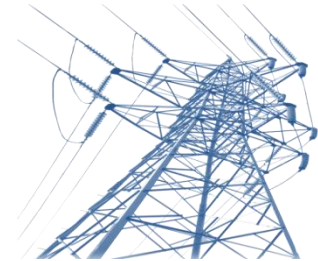
$$2dW_e - dW_e = Fdg$$



$$F = \left. \frac{dW_e}{dg} \right|_{\varphi_k=c_k} = \left. \frac{\partial W_e}{\partial g} \right|_{\varphi_k=c_k}$$



2. 静态电磁场 静电场



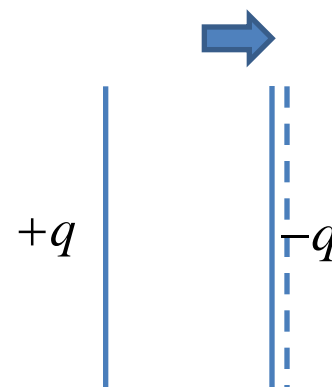
2.10 电场力

(2) 常电荷系统

此时电源不再向系统提供能量，即有

$$dW = 0 = dW_e + Fdg$$

➔
$$F = - \left. \frac{dW_e}{dg} \right|_{q_k=c'_k} = - \left. \frac{\partial W_e}{\partial g} \right|_{q_k=c'_k}$$

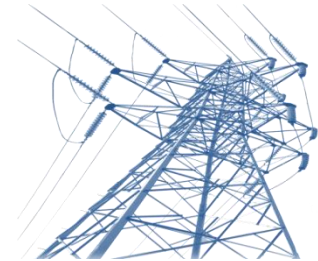


虚位移法： a. 找到电场能量与广义坐标之间关系，求导可得到电场力的大小；

b. 广义坐标g增加的方向，即为电场力的正方向；

注意：基于常电位系统和基于常电荷系统的结果应该一致。

2. 静态电磁场 静电场



例2-22 平板电容器，极板面积 S ，间距 h ，介质的介电常数 ε ，利用虚位移法，求两极板间作用力 \mathbf{F} （可求任意板受力，比如B板受力，另一个即A板受力与之相反）

分析：利用虚位移法，原则上既可以假设常电位，也可以假设常电荷

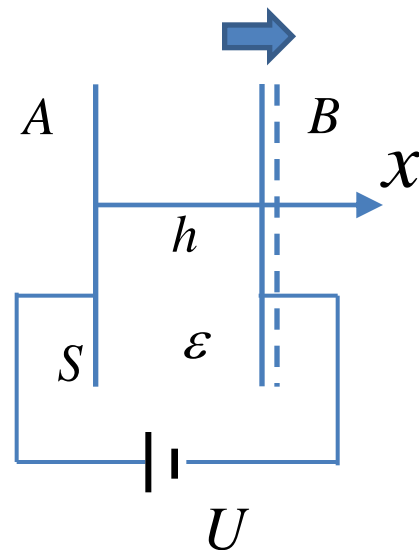
解1：常电位系统（极板电位是定的）

广义坐标： h dh

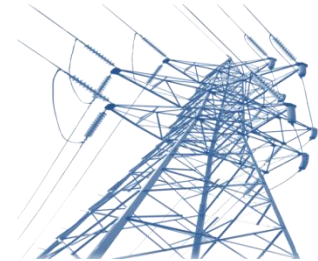
广义力的方向： \mathbf{e}_x (h 增加的方向)

两导体系统的能量： $W_e = \frac{1}{2} Uq = \frac{1}{2} CU^2$

$$C = \frac{q}{U} = \frac{\sigma S}{Eh} = \frac{\varepsilon ES}{Eh} = \frac{\varepsilon S}{h} \quad \Rightarrow \quad W_e = \frac{1}{2} \frac{\varepsilon S}{h} U^2$$



2. 静态电磁场 静电场



$$F = \left. \frac{\partial W_e}{\partial g} \right|_{\varphi=c} = \frac{U^2}{2} \frac{\partial C}{\partial h} = \frac{U^2}{2} \frac{\partial (\epsilon S / h)}{\partial h} = -\frac{\epsilon S U^2}{2h^2}$$

$$\mathbf{F}_B = -\frac{\epsilon S U^2}{2h^2} \mathbf{e}_x$$

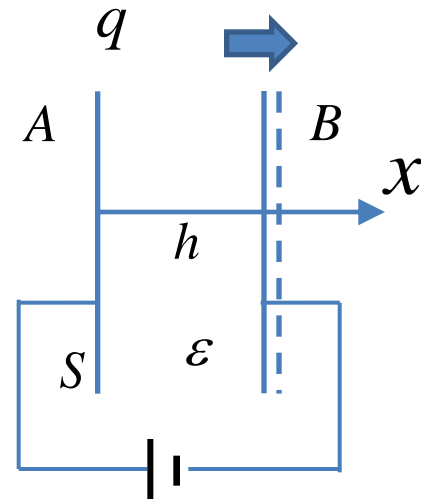
解2：常电荷系统（极板上的电荷不变）

广义坐标： h dh

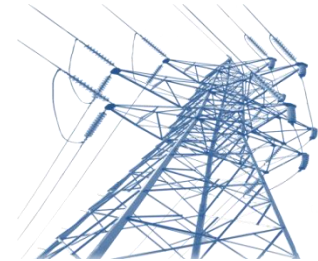
广义力的方向： \mathbf{e}_x （ h 增加的方向）

两导体系统的能量： $W_e = \frac{1}{2} Uq = \frac{q^2}{2C}$

$$C = \frac{q}{U} = \frac{\sigma S}{Eh} = \frac{\epsilon ES}{Eh} = \frac{\epsilon S}{h} \quad \Rightarrow \quad W_e = \frac{1}{2} \frac{q^2 h}{\epsilon S}$$



2. 静态电磁场 静电场

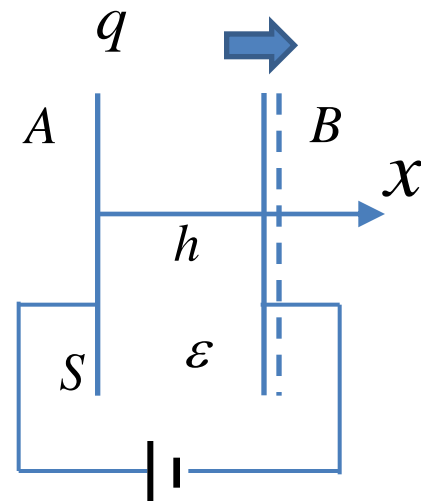


$$F = - \left. \frac{\partial W_e}{\partial g} \right|_{q=c} = - \frac{q^2}{2} \frac{\partial C}{\partial h} = - \frac{q^2}{2} \frac{\partial (h / \varepsilon S)}{\partial h} = - \frac{q^2}{2 \varepsilon S}$$

$$\mathbf{F}_B = - \frac{q^2}{2 \varepsilon S} \mathbf{e}_x$$

讨论：事实上，二者的结果是一致的，一个用 U 表示，一个用 q 表示。

$$- \frac{q^2}{2 \varepsilon S} = - \frac{(CU)^2}{2 \varepsilon S} = - \frac{(U \varepsilon S / h)^2}{2 \varepsilon S} = - \frac{\varepsilon S U^2}{2 h^2}$$



注意：实际问题中，看给定哪个条件，就用哪种方法。